

Facultad de Ingeniería en Mecánica y Ciencias de la Producción

"Reingeniería del Proceso de Elaboración y Conservación de una Bebida Láctea de Arroz y Trigo Tradicional."

EXAMEN COMPLEXIVO

Previo a la obtención del Título de:

INGENIERO EN ALIMENTOS

Presentado por:

Miguel Ángel Moreno Paredes

Giovanny Richard Narea Chiriboga

GUAYAQUIL -ECUADOR

AÑO: 2015

DECLARACIÓN EXPRESA

"La responsabilidad del contenido desarrollado en el presente examen complexivo, nos corresponde exclusivamente; y el patrimonio intelectual del mismo a la "ESCUELA SUPERIOR POLITÉCNICA DEL LITORAL"

(Reglamento de Graduación de la ESPOL).

Miguel Angel Moreno Paredes

Giovanny Richard Narea Chiriboga



TRIBUNAL DE GRADUACIÓN

Msc. Jorge Duque Rivera. DECANO DE LA FIMCP. PRESIDENTE

M.Sc. Fabiola Cornejo Z. DIRECTORA

M.Sc. Priscilla Castillo S. VOCAL

AGRADECIMIENTO

Ante todo agradezco a Dios por haberme brindado la fortaleza y valentía para culminar esta etapa pendiente en mi vida, a mis madres Irene y Gladys por todo su sacrificio, paciencia e infinito amor, a mi novia quien gracias a su invaluable apoyo y cariño hicieron este largo proceso más llevadero, a mi familia quienes fueron mi permanente inspiración, a mis verdaderos amigos quienes con sus palabras de aliento permitieron rendirme, no me а los catedráticos que me brindaron su soporte para el trabajo y en general a todos quienes hicieron posible culminar este trabajo.

DEDICATORIA

A mis madres: Irene y Gladys

A mi novia:

Elisa

A mi familia entera.

AGRADECIMIENTO

•

Agradezco a Dios, a mis padres por su amor y apoyo incondicional, a mi esposa y a mi hija ustedes son los que me impulsan cada día a seguir adelante, a mis hermanos y amigos, de manera especial a la Ingeniera Fabiola Cornejo nuestra directora. A la Ingeniera Priscila Castillo por su apoyo en la revisión de este examen complexivo.

DEDICATORIA

A mis padres Lcdo. Ricardo Narea y Lcda. Sonnia Chiriboga de Narea por todo su amor y apoyo, a mi hermano Ronald por ser mí mejor amigo, a mi hija Vivianita y a mi esposa Viviana por su comprensión y amor.

RESUMEN

En el Ecuador, muchas industrias realizan sus procesos de producción de manera artesanal o semiartesanal; dando como resultado un producto con buenas características organolépticas pero con una corta vida útil. Este es el caso de la "Bebida Láctea de Arroz y Trigo Tradicional". El objetivo general de este proyecto consiste en aumentar la vida útil de la bebida, afectando al mínimo las características organolépticas y sensoriales del producto, la reducción de costos por disminución de etapas, aumento de la eficiencia en los métodos de manipulación y transporte y el ahorro de energía y recursos. Entre los objetivos específicos se planteó el desarrollo de una nueva fórmula que permita reproducir la viscosidad del producto original y así conseguir que fluya a través de un equipo intercambiador de calor de tubo en tubo, la validación organoléptica de la nueva fórmula, la reducción de los tiempos de proceso, el diseño del proceso de pasteurización, el análisis de vida útil del producto pasteurizado y la validación de la capacidad de enfriamiento del equipo intercambiador.

estandarizaron análisis Primero, se las materias primas mediante fisicoquímicos, microbiológicos y sensoriales considerando la normativa técnica formal local y externa. Luego, se realizó un diseño de experimentos de tres factores а dos niveles. Este diseño permitió reformular el producto, a través del análisis del impacto en la viscosidad de tres de los más importantes ingredientes de la formula; con el fin de reproducir las características de flujo y sensoriales del producto después de la implementación del proceso continuo de producción.

Seguido a esto, se evaluó la aceptabilidad de la nueva fórmula; a través de los estudios de evaluación sensorial triangular y de preferencia y sus resultados analizados estadísticamente mediante un análisis de varianza, para determinar si existe diferencia significativa y preferencia significativa entre el desarrollo propuesto y la bebida artesanal.

Por otro lado, se determinaron los parámetros del proceso térmico acorde al *Bacillus cereus*; establecido bibliográficamente como el microorganismo más probable y se aplicaron los modelos Matemático de Ball y Método General Mejorado, los que permitieron diseñar el proceso de pasteurización más idóneo y específico para la bebida desarrollada.

Por otro lado, se llevó a cabo un análisis de vida útil mediante un monitoreo continuo de la estabilidad del producto desarrollado, se analizó microbiológicamente y físico-químicamente el producto específicamente a través del recuento de aerobios totales y coliformes y del potencial hidrogeno respectivamente, por un periodo de 15 días calendario bajo refrigeración a 5°C y muestreos cada tres días. Junto con esto, se verificó matemáticamente la capacidad de enfriamiento del equipo intercambiador de calor de tubo en tubo; mediante los modelos de transferencia de calor de Fourier, existente en la planta.

Finalmente, se describió el rediseño propuesto de la línea de producción de batch a continuo; con sus respectivos límites de control, y mediante la proyección de la demanda estimada se propuso la implementación de nuevos equipos y de mayor capacidad para satisfacer la demanda de manera extendida.

ÍNDICE GENERAL

		Pág
RES	UMEN	i
ÍNDI	CE GENERAL	i
ABRI	EVIATURAS	vi
SIME	BOLOGÍA	vii
ÍNDI	CE DE FIGURAS	i)
ÍNDI	CE DE TABLAS	х
INTR	RODUCCION	
CAP	ÍTULO 1	
1.	GENERALIDADES	2
	1.1 Descripción del producto	4
	1.1.1 Presencia del producto en el mercado	4
	1.2 Materias Primas	5
	1.2.1 Descripción de materias primas	5
	1.2.2 Normas técnicas y caracterización	
	de materias primas	10
	1.2.3 Características nutricionales	10
	1.3 Proceso de Conservación y Pasteurización	11
	1.3.1 Pasteurización del producto	11
	1.3.2 Microorganismo más probable	12
	1.3.3 Estudio de penetración de calor	17

	1.4 vida Útil del Producto19	
CAPÍ	TULO 2	
2.	ANALISIS DEL CASO	
	2.1 Descripción del Proceso21	
	2.2 Formulación del Producto	
	2.3 Situación Actual y Planteamiento del Problema31	
	2.4 Solución Propuesta34	
CAPÍ	TULO 3.	
3.	IMPLEMENTACION DE LA SOLUCION PROPUESTA36	
	3.1 Cambio en la Formulación36	
	3.1.1 Diseño experimental36	
	3.1.2 Formulación óptima42	
	3.1.3 Evaluación sensorial43	
	3.2 Estudio del Proceso Térmico51	
	3.2.1 Factores críticos del proceso51	
	3.2.2 Obtención de parámetros del proceso térmico53	
	3.2.3 Diseño del proceso57	
	3.2.4 Estudio de estabilidad59	
	3.3. Utilización del intercambiador tubular para enfriamiento del	
	producto71	
CAPÍ	TULO 4	
4. I	REINGENIERIA DEL PROCESO86	
	4.1 Descripción del Nuevo Proceso86	
	4.2 Diagrama de Flujo92	
	4.3 Capacidad de Producción94	

4.4 Estimación de Costos de Inversión99	
4.5 Resultados de la Aplicación de Reingeniería102	
CAPÍTULO 5	
5. CONCLUSIONES Y RECOMENDACIONES106	
APÉNDICES	
BIBLIOGRAFÍA	

ABREVIATURAS

INEN Instituto Ecuatoriano de Normalización.

COVENIN Comisión Venezolana de Normas Industriales.

FAO Food and Agriculture Organization (Organización de

las Naciones Unidas para la Alimentación y la

Agricultura).

WHO World Health Organization (Organización Mundial

De la Salud).

Spp. Todas las especies....

ETA Enfermedades Transmitidas por Alimentos.

pH Potencial Hidrogeno. m.o Microorganismo. oT Temperatura

oF Grados Fahrenheit.
oC Grados Centígrados.
RPM Revoluciones por minuto.

Min. Minutos. Hora. h. Θ Tiempo. Kg. Kilogramos. Gramos. g. Lb. Libra. N/A No Aplica. Max. Valor máximo.

U.F.C Unidades Formadoras de Colonia.

SIMBOLOGIA

Valor D Tiempo de reducción decimal.

Valor Z Incremento de temperatura (oC/oF) necesario para

reducir diez veces el tiempo de destrucción térmica.

Valor FT Tiempo de proceso necesario para disminuir la carga

del microorganismo objetivo a una temperatura de

referencia.

PSI Pounds per Square Inch o libras por pulgada cuadrada.

cPs Centipoise.

tpi Tiempo pseudo inicial.

Jh Factor de inercia de la curva de calentamiento.

Fh Velocidad de penetración de calor entre un ciclo log y otro.

Cp Calor específico.

K Conductividad térmica.

ρ Densidad.

ÍNDICE DE FIGURAS

		Pág
Figura 1.1	Planta de Arroz	6
Figura 1.2.	Resistencia Térmica de C. Perfringens y B. Cereus en alimentos de baja acidez	14
Figura 1.3	Estabilidad al calor y frío de bacterias patógenas	
Figure 0.4	en leche	
Figura 2.1	Producción Pasta de Harinas	
Figura 2.2	Producción Pasta Aditivada	23
Figura 2.3	Producción Chicha Tradicional (Pasta disuelta)	24
Figura 3.1	Efectos principales (MINITAB 14)	40
Figura 3.2	Curva semilogarítmica de pasteurización	56
Figura 3.3	Curva de crecimiento aerobios totales	63
Figura 3.4	Curva de comportamiento del potencial	
	hidrógeno (pH)	64
Figura 4.1	Mezcladores Industriales de Paletas	
Figura 4.2	Envasado de contenedores	91
Figura 4.3	Diagrama de Flujo Chicha de	
	Arroz y Trigo Pasteurizada	93
Figura 4.4	Curva Ventas vs. Tiempo	
Figura 4.5	LAY-OUT propuesto reingeniería	

ÍNDICE DE TABLAS

		Pag.
Tabla 1	Información Nutricional	11
Tabla 2	Formulación Pasta de Harinas	28
Tabla 3	Formulación Pasta Aditivada	29
Tabla 4	Formulación Bebida Láctea de arroz y	
	Trigo tradicional	29
Tabla 5	Características Bebida Láctea tradicional	30
Tabla 6	Tabla de datos para el diseño factorial	37
Tabla 7	Combinación de niveles seleccionados	41
Tabla 8	Fórmula óptima desarrollada	42
Tabla 9	Tabla de codificación y ordenamiento	44
Tabla 10	Resultados pruebas sensoriales	45
Tabla 11	Resultados prueba preferencia	46
Tabla 12	Tabla de datos JI CUADRADA	
Tabla 13	Tabla de datos z críticos	
Tabla 14	Datos juicios correctos preferencia	
Tabla 15	Parámetros físico químicos del producto	52
Tabla 16	Valores referenciales de resistencia térmica	
	de Bacillus cereus psicrotrófico	54
Tabla 17	Parámetros del proceso térmico	
Tabla 18	datos para el diseño del proceso	
Tabla 19	Planeamiento del estudio de estabilidad	62
Tabla 20	Estadígrafo de los resultados del	
	estudio de estabilidad	65
Tabla 21	composición nutricional proximal de la	
	bebida pasteurizada	67
Tabla 22	Propiedades y parámetros termofísicos y de	
	,	69
Tabla 23	Propiedades y parámetros termofísicos y de flujo	
	del agua de enfriamiento	70
Tabla 24	Caudales ensayados y su capacidad	
	de enfriamiento	
Tabla 25	Demanda estimada 2014-2030	95
Tabla 26	Condiciones de trabajo y productividad	
	actuales	96
Tabla 27	Condiciones de trabajo y productividad	
T 11 66	capacidad aumentada	
Tabla 28	Equipos propuestos reingeniería	99
Tabla 29	Tabla comparativa de los resultados	40-
	de la reingeniería aplicada	105

INTRODUCCIÓN

El presente trabajo se desarrolló en una industria semiartesanal local, enfocada en la producción de alimentos listos para consumir específicamente, en el mercado de las bebidas refrescantes. La compañía, al inicio de sus operaciones ha enfocado sus actividades de comercio a la ciudad de Guayaquil. Con el fin de incrementar la producción y expandirse a otros mercados, se estableció una reingeniería del proceso de su producto estrella conocido como Chicha Tradicional.

Esta compañía es una mediana empresa, tiene alrededor de 15 puntos de ventas entre propios y franquiciados los que se encargan de expender al público además de la Chicha Tradicional, otros subproductos a partir de las mismas materias primas como Chicha Shake de sabores y leche condensada.

Para lograr el objetivo de este proyecto se estableció lo siguiente:

- 1. Desarrollo de una nueva fórmula a través de un diseño de experimentos 2³.
- 2. Validación organoléptica de la nueva fórmula a través de una evaluación sensorial de diferencia y preferencia.
- 3. Determinar el diseño del proceso de pasteurización.
- Evaluar los resultados del proceso térmico aplicado a través de un estudio de estabilidad.
- 5. Validar matemáticamente la capacidad de enfriamiento de un equipo intercambiador de calor existente en la planta.
- 6. Proponer el rediseño de la línea de producción de batch a continuo con sus respectivos límites de control para cada etapa.

CAPÍTULO 1

1. GENERALIDADES

La bebida láctea de arroz y trigo tradicional es un producto generado de la cocción de harinas de trigo y arroz con la adición de leche líquida. La misma que es reconocida como originaria y tradicional de Venezuela. Esta bebida es llamada ampliamente como "Chicha o Carato de Arroz" la cual es preparada a base de arroz macerado y leche de vaca para luego aditivarla o sazonarla con leche condensada y canela; y que por lo tanto, a diferencia de la "Chicha Andina" no es sujeta de ningún proceso de fermentación con su correspondiente desarrollo de alcohol. 2

Este producto goza de gran aceptación por parte del consumidor, sobre todo en el sector infanto-juvenil, ya que por sus características sensoriales e ingredientes que conforman su elaboración, es asociada por los consumidores como un producto refrescante y de alta composición nutricional. En Venezuela, se han identificado tres sensoriales e ingredientes que conforman su elaboración, es asociada por los consumidores como un producto refrescante y de alta composición

nutricional. En Venezuela, se han identificado tres modalidades de expendio de la Chicha de Arroz, siendo estas: a) Ambulante, donde se prepara y se vende en la vía pública; b) Semi-ambulante, en el cual se elabora la bebida en un local cerrado para luego desplazarse a un punto fijo y vender a cielo abierto; c) No Ambulante (fijo), donde se prepara y se vende en el mismo local cubierto y que generalmente están organizados como franquicias y d) Mixto, en el que se elabora la bebida en locales cubiertos, se expende durante el recorrido a un punto fijo de venta donde se realiza la jornada hasta el fin de lo producido.³

Dadas las características propias de los ingredientes que conforman la bebida, su forma de preparación y hasta la manera en que es expendida, influyen significativamente en la estabilidad del producto. La vida útil de la bebida es fundamentalmente influenciada por el tipo, cantidad y termoresistencia de la población microbiana presente en el alimento.

Por razones de seguridad pública, para alimentos pasteurizadosrefrigerados de baja acidez, estos deben ser almacenados, transportados
y vendidos bajos condiciones de refrigeración y con una vida útil limitada
con el fin de reducir el riesgo de crecimiento de microorganismos
patógenos durante la cadena de distribución. Los microorganismos de
interés para alimentos pasteurizados-refrigerados de baja acidez,
causantes de infecciones alimentarias y con una alta termoresistencia
están fundamentalmente representados por *Bacillus cereus, Lysteria*

monocytogenes, Escherichia coli serotipo O157:H7, Salmonella enteriditis, Vibrio parahaemolytycus y Vibrio cholerae.¹³

La empresa auspiciante del presente proyecto, produce la bebida láctea de arroz y trigo tradicional en una planta con capacidad industrial y la bebida es despachada en envases herméticos y transportados a los puntos de venta fijos en vehículos refrigerados sometidos a monitoreo.

1.1. Descripción del producto

La Bebida Láctea de Arroz y Trigo Tradicional o Chicha de Arroz es una bebida liquida, nutritiva y refrescante, elaborada a base de harina de arroz y harina de trigo con la adición de suero, leche en polvo y leche líquida. La bebida posee un suave sabor a vainilla característico de la adición de la esencia de vainilla, la cual puede ser acompañada de canela molida y leche condensada. Es recomendable tomarla fría.

1.1.1 Presencia del producto en el mercado.

Este producto se encuentra bien posicionado en la mente de los consumidores en el área de las bebidas nutritivas. El producto es comercializado mediante dos maneras: a nivel de negocios privados llamados franquicias, administradas por un propietario

particular respetando las normas de producción y calidad establecidas por la empresa; y la distribución y comercialización directa por la organización, de los productos en un mercado como el institucional (supermercados y autoservicios) y comercios formales menores (tiendas barriales, bares, bazares, etc.).

Durante los primeros años de la organización, el área geográfica de operaciones comerciales ha sido la ciudad de Guayaquil con una presencia importante en centros comerciales y supermercados a través de puntos de venta.

La bebida láctea de arroz y trigo tradicional o chicha de arroz también se produce en otros estados del continente llegando a tener presencia en países como: Estados Unidos, Colombia y Puerto Rico.

1.2 Materias Primas

1.2.1 Descripción de materia primas

Harina de Arroz

La harina de arroz es obtenida a partir de la molienda del grano completo, haciéndola pasar por un molino de pines hasta llegar a un nivel de finura mínimo de 180 micras, la cual debe pasar en un

80% a través de un tamiz N° 80 según lo requerido por la NORMA COVENIN 2300-93 HARINA DE ARROZ.



FIGURA 1.1 PLANTA DE ARROZ

El arroz contiene una pequeña cantidad relativa de proteínas (comparada con otros cereales), el contenido de proteína ronda en el 7%, comparado con el 12% de los trigos de bajo contenido de proteína. No obstante, el arroz posee más lisina que el trigo, el maíz y el sorgo.⁴ El arroz contiene grandes cantidades de almidón en forma de amilosa (que le proporciona cohesión a los granos).⁵

En el Ecuador, el cultivo del arroz se realiza tanto en el invierno o período lluvioso, como en el verano o período seco dependiendo exclusivamente de agua de riego. De acuerdo a los datos del Ministerio de Agricultura, Ganadería, Acuicultura y Pesca del

Ecuador y el Sistema de Información Geográfica y Agropecuaria, para el año 2009 de superficie disponibles existen aproximadamente 371 mil hectáreas sembradas de arroz en el territorio nacional.

Harina de Trigo

La harina de trigo es obtenida a partir de la molienda del grano de trigo del género "Triticum aestivum"; esta es un polvo de color ligeramente crema, fino y de aroma característico.

El trigo se clasifica de acuerdo a la textura del endospermo, porque esta característica del grano está relacionada con su forma de fraccionarse en la molienda, la cual puede ser vítrea o harinosa de acuerdo a la riqueza proteica.

Los trigos más utilizados comercialmente son el *Triticum durum* (utilizado principalmente para pastas y macarrones), el *Triticum aestivum* (utilizado para elaborar pan) y el *Triticum compactum* (se utiliza para hacer galletas).⁵

La producción total del país se encuentra aproximadamente en 7605 TM. Este nivel de producción es insuficiente para cubrir con

la demanda interna que se acerca a las 500 mil toneladas anuales.⁶ Es decir, que la producción solo alcanza para cubrir entre el 1% y el 2% de los requerimientos de los molinos.

Esto se debe a que el cereal importado presenta varias ventajas sobre el nacional, puesto que posee 14% de proteínas y el nacional apenas 11%, esta diferencia en proteínas ocasiona que posea características inferiores al que importamos, lo que repercute directamente en la elaboración del pan.⁷

Leche

La leche es la base de numerosos productos lácteos, como la mantequilla, el queso, el yogur, entre otros. Es muy frecuente el empleo de los derivados de la leche en las industrias agroalimentarias, químicas y farmacéuticas en productos como la leche condensada, leche en polvo, caseína o lactosa.

Tradicionalmente la producción lechera en Ecuador se ha concentrado en la región interandina, donde se ubican los mayores establos lecheros. Esto se confirma según los últimos datos del Censo Agropecuario del año 2011 aproximadamente 6'373.323 litros de leche al año. Se observa que la región Sierra

cuenta con mayor cantidad de ganado con un 51,0% del total nacional, seguida por la Costa con 36,7% y el Oriente con 12,3%.8

La disponibilidad de leche cruda para consumo humano e industrial representa alrededor del 75% de la producción bruta. ⁹

Leche en Polvo

La leche en Polvo es el producto obtenido de la eliminación de agua libre en la leche. Se la realiza mediante dos etapas, la primera es la concentración de la leche en evaporadores y la segunda se realiza en una torre de atomización donde se obtiene leche en polvo.¹⁰

Suero de Leche

El suero de leche es un subproducto obtenido del proceso de fabricación del queso y caseína, y representa entre el 80 y 90% del volumen total de leche procesada. Este es un líquido fluido, de color verdoso amarillento, turbio, de sabor fresco, débilmente dulce, de carácter ácido y que contiene alrededor del 50% de los nutrientes de la leche original (proteínas solubles, lactosa, vitaminas y sales minerales).¹¹

1.2.2 Normas técnicas y Caracterización de las Materias Primas.

En la actualidad, no existe normativa específica y particular para la bebida láctea de arroz y trigo a nivel local (INEN). Por tal motivo se decidió adoptar normas afines locales INEN e internacionales como las COVENIN y CODEX ALIMENTARIUS, como guías regulatorias para asegurar la calidad de las materias primas y el producto final respectivamente. Las normas a las que se hará referencia para el presente proyecto se encuentran enlistadas en el Apéndice A.

1.2.3 Características nutricionales.

La bebida láctea de arroz y trigo tradicional es un producto altamente calórico, nutritivo y refrescante que compensa parte de los requerimientos nutricionales diarios para un infante y adulto joven de acuerdo a la guía Necesidades Nutricionales del Ser Humano de la FAO. 12 La descripción de la composición calórica y nutricional de la bebida es descrita en la tabla 1 de acuerdo a los lineamientos expresados por la NTE INEN 1334-2:2011.

TABLA 1.
INFORMACIÓN NUTRICIONAL

INFORMACION NUTRICIONAL				
Tamaño por porcio	ón.		250ml	
Porción por envas	e.		1	
Cantidad por porci	Cantidad por porción.			
Calorías: 2	240	Calorías de Grasa: 4	5	
			% Valor Diario	
Grasa Total		5g	8%	
Grasa Saturada		1g	5%	
Colesterol		15mg	5%	
Sodio		75mg	3%	
Carbohidratos		43mg	14%	
Azúcar		34g		
Fibra		0g	0%	
Proteínas		5g	10%	
Vitamina C: 0%		Vitamina	a A: 2%	
Calcio: 15% Hierro: 8%				
Porcentajes de Valor Diario basados en una dieta de 2000 Calorías.				

Fuente: Departamento de Control de Calidad (Campania Auspiciante)

El aporte calórico-nutricional de la bebida láctea de arroz y trigo tradicional supera en gran medida a las características encontradas en la bebida chicha de arroz de origen local, las mismas que se pueden comparar a través de la tabla de componentes nutricionales expuestos en el Apéndice B.

1.3 Proceso de Conservación y Pasteurización.

1.3.1 Pasteurización del Producto.

La pasteurización es el más antiguo y clásico método de preservación de alimentos por aplicación de calor, el cual permite

extender la vida útil de estos a través de la inactivación de células vegetativas y esporas de microorganismos patógenos indeseables, esto mediante la aplicación de temperaturas que oscilan entre los 65°C a 95°C.

Un paso más en la meta de obtener productos de mejor calidad se consigue si la pasteurización es usada en combinación con métodos de preservación de alimentos no térmicos tales como el uso de almacenamiento y distribución refrigerado (1-8°C), vacío, empaques con atmosferas modificas, adición de aditivos, entre otros¹³. Con la pasteurización no solo se consigue disminuir las poblaciones patógenas de microorganismos, sino también la desactivación de enzimas que modifican organolépticamente ciertos alimentos²³; ya que en la mayoría de los casos, las temperaturas superiores a este valor afectan irreversiblemente características físico-químicos de los productos alimenticios.

1.3.2 Microorganismo más probable

La Bebida Láctea de Arroz y Trigo Tradicional es un alimento de baja acidez y rico en azucares, proteínas y grasas, lo que favorece el crecimiento de diferentes microorganismos. Los alimentos de baja acidez han sido la principal causa de enfermedades humanas tales como gastroenteritis y listeriosis. La

más alta incidencia de esporulaciones en alimentos procesados es causada por bacterias, seguidos de levaduras y mohos.¹³

Esporas microbianas psicrotróficas tales como Bacterias acido lácticas (LAB)(*Lactobacillus spp.*, Leuconostoc spp., *Carnobacterium* spp.), mohos (*Thannidium spp.*, Penicillium *spp.*) y levaduras (*Zygosacharomyces spp*) pueden presentarse en alimentos refrigerados de baja acidez durante el almacenamiento, pero ventajosamente estas son altamente sensibles a la aplicación de procesos térmicos.¹³

Estudios de resistencia de temperatura a escala comercial han confirmado que 11 de las 18 especies patógenas vegetativas más comunes son destruidas por procesos térmicos de pasteurización en batch (63°C/30 min) y/o HTST (72°C/15 seg), tales como: Brucella abortus, Campylobacter coli, Eschericihia coli (O157:H7), Mycobacterium Tuberculosis, Salmonella entérica serotipos, Yersinia enterocolitica, Campylobacter jejuni, Coxiella burnetii, Lysteria monocytogenes, Mycobacterium bovis y Streptococcus pyrogenes.¹⁴

El género anaeróbico formador de esporas *Clostridium* es generalmente un problema en "alimentos procesados refrigerados

de durabilidad extendida" (REPFED, por sus siglas en inglés) estas incluidas, las cepas psicrotróficas no-proteolíticas de *C. botulinum* (Toxinas B, E y F) y el patógeno *Clostridium perfringens*, pero esta última siendo no psicrotrófica. ¹³ Estudios con esporas de 6 cepas de *C. perfringens* demostraron que no crece a temperaturas menores y/o iguales a 10°C. La figura 1.2 muestra de manera comparativa la resistencia térmica de los patógenos formadores de esporas *C. perfringens* y *Bacillus cereus*, los cuales han sido responsables de brotes de ETA's en alimentos refrigerados de baja acidez subpasteurizados.

Bacteria	Inoculo Espora	Alimento	T.(°C)	Valor D (min)	Valor Z (°C)
Clostridium perfringens	Tres Cepas: NCTC823819 ATCC10288	Pavo Molido	99.0	23	nr
	Tres Cepas: DSM11784 NCTC10614 (Incidentes) NCTC08237	Cerdo Enlatado Enrollado	90.0 95.0 100.0	31 9.7 1.9	8.3
	Tres Cepas: NCTC823819 ATCC10288	Pechuga de Pollo Marinado.	90.0	14	nr
Bacillus cereus	Tres Cepas: DSM4313 (incidente) DSM626 NCTC07464	Cerdo Enlatado Enrollado	85.0 90.0 95.0	30 10 2.0	8.6
	Cepa Psicrotrofica INRA AVTZ415	Agua Destilada	85.0 90.0 95.0	16 3.9 1.0	8.2
T: Temperatur nr: no reportac					

Figura 1.2. Resistencia Térmica de *C. perfringens* y *B. Cereus* en Alimentos de baja acidez *Bacillus Cereus*.

El *B. cereus* es un microorganismo gram positivo, aerobio y capaz de esporular, este organismo puede crecer a temperaturas entre

10-50°C, siendo su temperatura optima en los rangos de 30-40°C y con un pH que oscila entre los 4,9 a 9,3.

El *Bacillus cereus* ha sido identificado como un frecuente contaminante de leche (cruda y pasteurizada) y de productos lácteos en las recientes décadas (International commission on Microbiological Specifications for Food, 1996). Las cepas psicrotolerantes de *B. cereus* pueden ser distinguidas de otras cepas de la misma especie por su capacidad de crecer a 4°C pero no a 43°C.¹⁴

Las esporas de *B. Cereus* pueden sobrevivir la pasteurización, algunas cepas pueden llegar a ser entre 15 a 20 veces más termoresistentes que las cepas termosensibles de su mismo género con un valor D a 95°C entre los 1,5 a 36 min.²¹

Organism	Survives Pasteurization	Growth at 6°C
S. aureus	No	No
C. jejuni	No	No
Salmonella spp.	No	No
E. coli	No	7
L. monocytogenes	No	Yes
Yersinia enterocolitica	No	Yes
B. cereus	Yes (spores)	Yes*
Clostridium spp.	Yes (spores)	Not
*Certain strains only *Some nonproteolytic spr	o. can grow.	
Source: Adapted from M	uir, D.D., J. Soc. Dairy Techno	L. 49, 24-32, 1996.

Fuente: Thermal Food Processing. Chapter 9.- Thermal Processing of dairy

Figura 1.3. Estabilidad al calor y frio de bacterias Patógenas en leche.

Las células vegetativas que resultan de la germinación de las esporas son capaces de producir en productos lácteos, enzimas como la proteinasa; que hidroliza la caseína para producir un intenso sabor amargo, y fosfolipasas que hidrolizan los glóbulos de grasa de la leche, causando inestabilidad de la emulsión.

Los valores D para las esporas de *B. cereus* pueden variar ampliamente¹⁴ y al final, todos estos valores deben estar orientados a mantener la población de *B. cereus* por debajo de los 10⁶ ufc/g ya que este es el nivel de contaminación mínimo para que se presenten ETA's y variaciones en las características sensoriales en los alimentos.¹⁵

Considerando que la bebida láctea de arroz y trigo tradicional posee un pH que oscila entre 6,1-6,3; además de proteínas y grasa producto de la leche entera; así como, que el proceso térmico planteado para este proyecto es la pasteurización en marmita abierta con agitación, enfriamiento instantáneo y almacenamiento bajo refrigeración a 5°C en tanques herméticos con inyección de aire sanitizado a presión, se determina que el microorganismo más probable y termoresistente es la cepa de *Bacillus cereus* psicrotróficas con un valor D=1min. y Z=8.2°C.

1.3.3 Estudio de penetración de Calor.

El estudio de penetración de calor se realiza con el fin de determinar el tiempo y temperatura óptimos para el proceso de pasteurización de la Bebida Láctea de Arroz y Trigo Tradicional; consiguiendo con esto la muerte de la mayor parte de los microorganismos presentes y el mejor mantenimiento de las cualidades organolépticas del producto. Para esto, antes del diseño del proceso de pasteurización, se deben conocer o especificar: 1) Si el producto va a ser almacenado al ambiente o es necesaria una cadena de frio, 2) La vida útil deseada para el mismo y 3) Si el consumidor objetivo pertenece a un grupo susceptible (bebes, ancianos, pacientes hospitalarios, etc). Una vez definidos estos criterios, los siguientes pasos a seguir se definen como: a) Identificar los microorganismos (patógenos y esporas) causantes de la degradación del tipo de alimento a desarrollar condiciones almacenamiento bajo las de anteriormente definidas, b) Obtener de la literatura datos de la resistencia térmica (Valores D y Z) respecto del microorganismo identificado previamente, c) Seleccionar el microorganismo más termoresistente como objetivo de la pasteurización y d) Establecer un valor mínimo de pasteurización (F_T) de al menos 6D para el microorganismo más termoresistente definido. 13 La cinética de penetración de calor en alimentos se ve afectada por factores tales como: las características de calentamiento del equipo, el coeficiente de transferencia de calor del medio de calentamiento, la naturaleza del producto, la forma del envase y en ciertos casos la agitación aplicada durante el proceso. 16

Existen varios métodos para evaluar un proceso térmico, estos se clasifican como métodos numéricos y gráficos que integran el efecto letal; ejemplos de estos tenemos: el método de la regla trapezoidal, de la regla de Simpson, método de Patashnik, método de Bigelow, entre otros. Respecto de los métodos de formula tenemos al método de Ball, método General Mejorado, de Stumbo y de Hayakawa, que hacen uso de parámetros obtenidos a partir de estudios de penetración de calor y cálculos matemáticos para integrar los efectos letales de estos.

Método General: Desarrollado por Bigelow y colaboradores en 1920; y posteriormente mejorado por Simpson en 2003, es un método grafico de integración de los efectos letales de varias combinaciones tiempo-temperatura presentes en el producto durante su procesamiento térmico, y con este se es capaz de

evaluar estos procesos en condiciones diferentes a las utilizadas en las pruebas de penetración de calor. 16

Método de la formula (Ball): Desarrollado por C.O Ball en 1923, este método es de amplio uso en la industria y es considerado como el punto de partida para los cálculos de procesos térmicos. El método de Ball hace uso de una línea recta en la sección de calentamiento de una curva semilogarítmica de penetración de calor. Ball hizo una contribución al tiempo total de letalidad conocido como CUT (Cut Up Time) determinando un valor de 0,42 (como significativo para la letalidad durante el calentamiento inicial de la retorta) del tiempo de calentamiento (0,42tc), por lo que este es un factor que se suma al tiempo de proceso (tp) para obtener el tiempo efectivo del proceso. 16

1.4 Vida útil del Producto.

La bebida láctea de arroz y trigo tradicional es un producto elaborado de manera semiartesanal, en la que su proceso de elaboración no implica ningún proceso térmico que ayude a la reducción de la carga bacteriana propia de las materias primas y el producto final; así como, su elevada actividad de agua (0,95) y un pH que fluctúa entre 6,1-6,3

hacen de este, un producto con una estabilidad frágil y por consiguiente una vida útil de no más allá de 24 horas desde su elaboración.

El producto que se elabora a diario por las mañanas al inicio de las operaciones de la planta no vuelve a ingresar a las bodegas refrigeradas y se desecha, ya que la ganancia de temperatura durante la jornada de venta hace que el producto no sea seguro para su comercialización en una nueva jornada. Esto implica un alto costo de desperdicio; al momento de que la venta del producto que ha sido despachado no se consigue completamente, ya que el mismo ha sufrido cambios en las características físicas y sensoriales indeseables, dada la actividad microbiológica y enzimática de sus materias primas.

CAPÍTULO 2

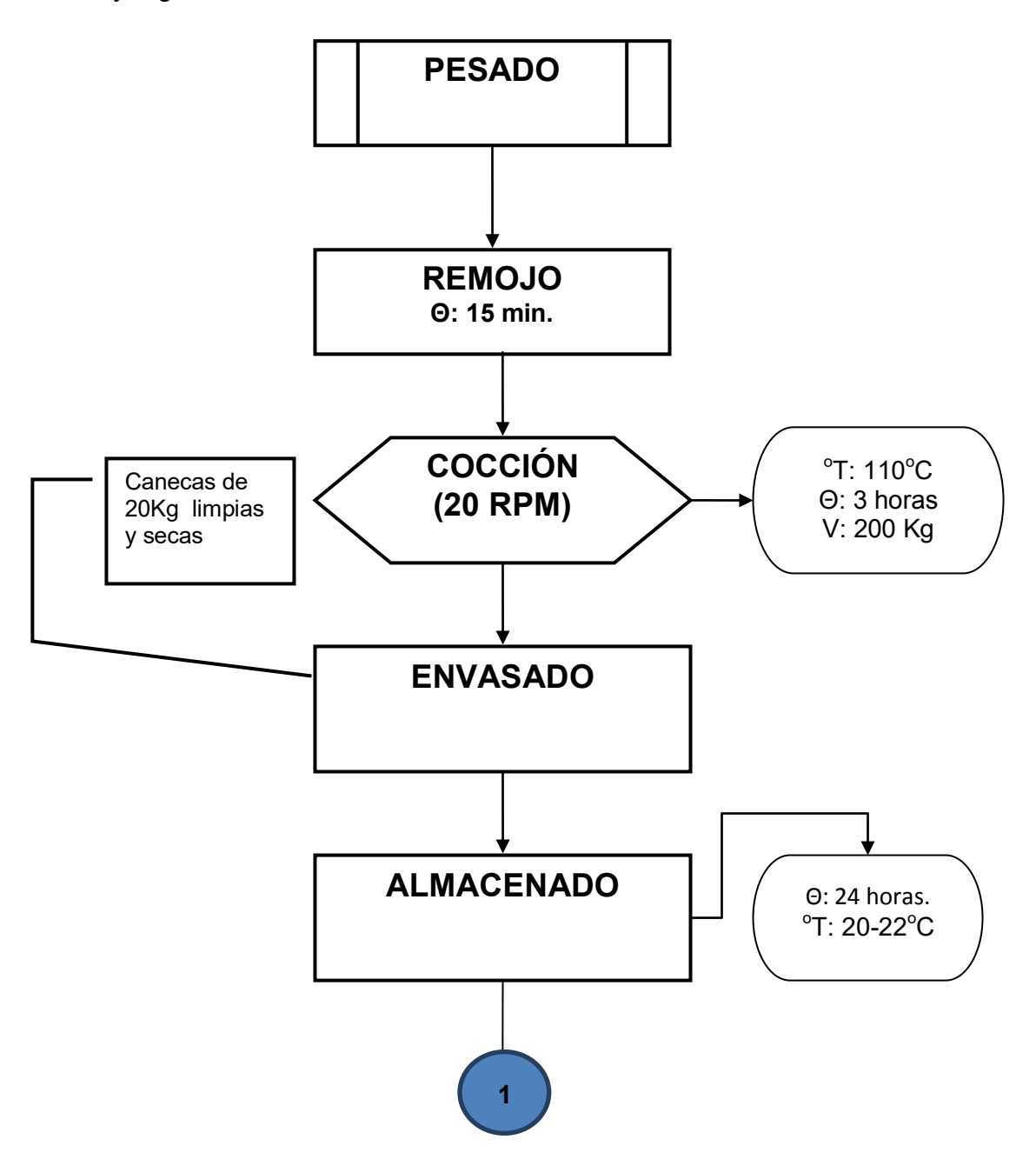
2. ANÁLISIS DEL CASO

2.1 DESCRIPCIÓN DEL PROCESO

El proceso de obtención de la bebida láctea de arroz y trigo tradicional es semi-artesanal ya que se combinan procedimientos tecnificados a través del uso de equipos especializados, en conjunto con procesos netamente manuales. Los criterios de calidad para el producto consideran los más altos parámetros que exigen las normas locales.

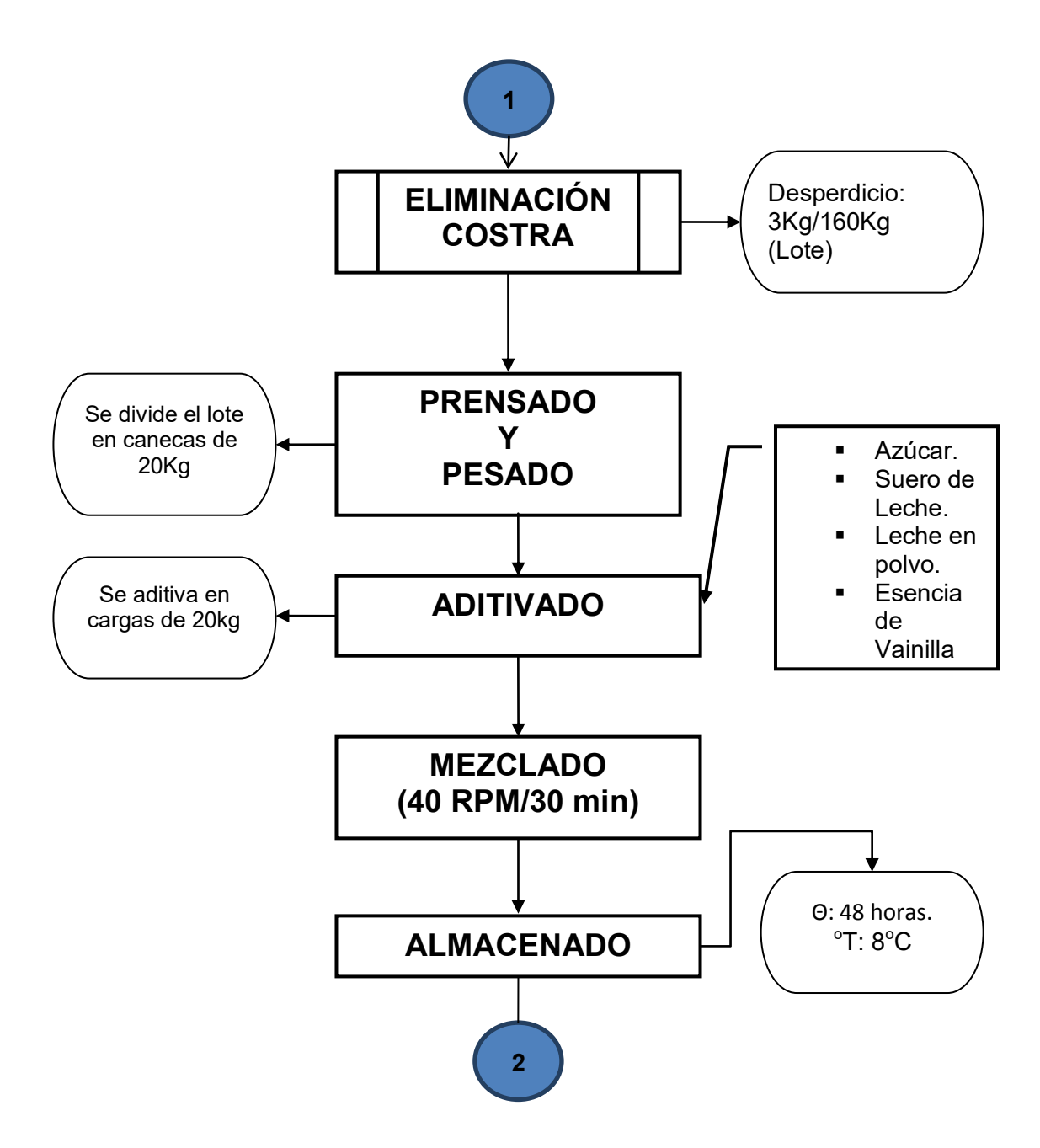
El proceso de producción de la bebida láctea de arroz y trigo tradicional era efectuado en aproximadamente 72 horas desde la obtención de la "pasta de harinas", pasando por la aditivación-maduración de la pasta de harinas; conocida como "pasta aditivada", hasta el lacteado de esta última para su transformación final en la bebida conocida comercialmente como "chicha tradicional". Las figuras 2.1, 2.2 y 2.3 resumen los diferentes

procesos productivos para la obtención de la bebida láctea de arroz y trigo tradicional.



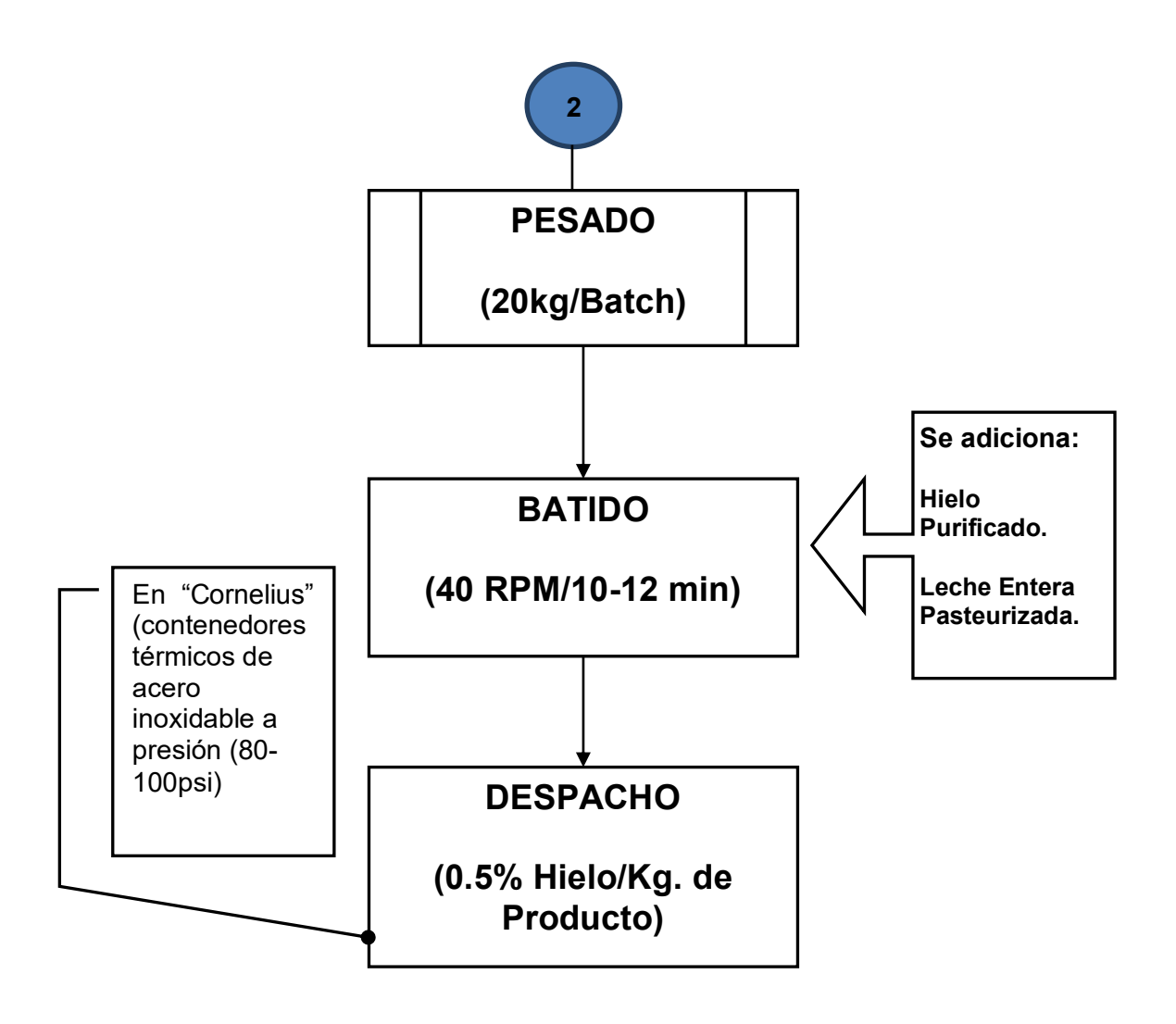
Elaborado por: M.Moreno-G.Narea, 2014

FIGURA 2.1 PRODUCCIÓN PASTA DE HARINAS.



Elaborado por: M.Moreno-G.Narea, 2014

FIGURA 2.2 PRODUCCION PASTA ADITIVADA.



Elaborado por: M.Moreno-G.Narea, 2014

FIGURA 2.3 PRODUCCIÓN CHICHA TRADICIONAL (PASTA DISUELTA)

PRODUCCIÓN PASTA DE HARINAS.

PESADO.

Se comienza el proceso productivo con la obtención de la pasta de harinas mediante el pesado; debidamente justificado por fórmula, de la harina de arroz y harina de trigo.

REMOJO.

Estos productos son mezclados y segmentados; en canecas con capacidad de 20kg, en partes iguales y remojados con agua potable a temperatura ambiente (20°C) por alrededor de 15min.

COCCIÓN.

La mezcla es depositada para su cocción en una marmita de doble camisa; con calefacción por aceite térmico, llevada a 200Kg de producto (carga máxima) y cocida a 110°C por 3 horas aproximadamente.

ENVASADO.

Después de verificar sensorialmente la cocción de esta pasta, se la retira por el desfogue inferior de la marmita depositándolos en las canecas previamente higienizadas y completamente secas en una cantidad exacta de 20Kg/caneca.

ALMACENADO.

El producto envasado es almacenado al ambiente en un área aislada para su enfriamiento por 24 horas.

ELABORACION DE PASTA ADITIVADA.

ELIMINACIÓN DE COSTRA.

A las 24 horas de la obtención de la pasta de harinas, estas son llevadas al área de mezclado y se procede a eliminar una costra de la parte superior de la masa de producto, formada por la deshidratación y enfriamiento de esta capa superficial. Este desperdicio es de alrededor de 3kg por cada lote de 160Kg equivalente al 1,88% del total.

PRENSADO Y PESADO.

Una vez realizada la eliminación de costra, la pasta se procede a prensar en una prensa neumática de 4 PSI de presión y esta es segmentada en canecas de 20Kg.

ADITIVADO Y MEZCLADO.

Cada caneca de 20Kg es depositada en una olla de mezclado y aditivada con las materias primas de su formulación según el siguiente orden: 1) Azúcar, 2) Suero de Leche, 3) Leche en polvo y

4) Esencia de Vainilla. Esta mezcla es batida a 40rpm por alrededor de 30min. o hasta obtener una masa uniforme con sabor y textura característica.

ENVASADO Y PESADO.

Una vez obtenida la pasta aditivada y muestreada para sus análisis de control en línea (sensoriales) y estadísticos (físico-químicos y microbiológicos); ésta es envasada en canecas de 20Kg, higienizadas y completamente secas.

ALMACENADO.

Las canecas de 20 kg son rotuladas por el departamento de control de calidad describiendo el lote, fecha de elaboración y operador responsable para posteriormente ser almacenadas en la cámara de frío a 5°C por 48 horas para su maduración previo su transformación en chicha tradicional.

ELABORACIÓN DE BEBIDA LÁCTEA DE ARROZ Y TRIGO TRADICIONAL (CHICHA TRADICIONAL)

Una vez cumplidas las 48 horas de maduración, la pasta aditivada es retirada de la cámara de frío y depositada en la olla de batido para ser mezclada con leche y hielo en cantidades establecidas

mediante fórmula, con los materiales y en el orden a continuación:

1) Pasta Aditivada, 2) Hielo y 3) Leche Entera Pasteurizada.

2.2. FORMULACIÓN DEL PRODUCTO.

Una vez descrito el proceso de producción de la bebida láctea de arroz y trigo tradicional, se adjunta la formulación del producto en sus distintas etapas. La tabla 2 describe la formulación en porcentaje para la elaboración de pasta de harinas.

TABLA 2
FORMULACIÓN PASTA DE HARINAS

MATERIA PRIMA	% DISIFICACION
Harina de arroz	19%
Harina de trigo	8,5%
Mezcla Harinas-Agua	15%
remojo	
Agua Cocción	57,5%

Elaborado por: M. Moreno-G. Narea, 2014.

La tabla 3 describe la formulación en porcentaje para la obtención de pasta aditivada.

TABLA 3
FORMULACIÓN PASTA ADITIVADA.

MATERIA PRIMA	% DOSIFICACION
Pasta de Harinas	64,35%
Azúcar	24,13%
Leche en polvo	6,76%
Suero de leche	4,50%
E. Vainilla	0,26%

Elaborado por: M. Moreno-G. Narea, 2014.

La tabla 4 describe la formulación para la obtención de la bebida láctea de arroz y trigo tradicional o chicha tradicional.

TABLA 4

FORMULACIÓN BEBIDA LÁCTEA DE ARROZ Y TRIGO

TRADICIONAL.

MATERIA PRIMA	% DOSIFICACION
Pasta aditivada	54,05%
Hielo	16,21%
Leche entera pasteurizada	29,74%

Elaborado por: M. Moreno-G. Narea, 2014.

La tabla 5 describe de igual manera, las características físicoquímicas, microbiológicas y organolépticas del producto; en sus distintas etapas, con el fin de identificar el perfil del alimento a reproducir y optimizar.

TABLA 5 CARACTERÍSTICAS BEBIDA LÁCTEA TRADICIONAL

BEBIDA LACTEA DE ARROZ Y TRIGO TRADICIONAL (Chicha Tradicional)			
	CARACTERISTICAS FISICO-QUIMICOS		
PARAMETRO	P. HARINAS	P. ADITIVADA	BEBIDA LACTEA DE ARROZ Y TRIGO
ACIDEZ (%)	N/A	N/A	0.13-0.16
BRIX (°Brix)	N/A	30-31	19-23
CONSISTENCIA (cm/30seg)	16-18	15-16	N/A
рН (рН)	N/A	N/A	6.1-6.3
VISCOSIDAD (cPs)	N/A	N/A	130-140
CARACTERISTICAS MICROBIOLOGICAS			
Aeróbios Totales (UFC/gr)	N/A	Max 1.0*10 ⁴	Max 3.0*10 ⁴
Coliformes Totales (UFC/gr)	N/A	Max 2.0*10 ⁰	Max 3.6*10 ⁰
E.Coli (UFC/gr)	N/A	Ausência	Ausência
Salmonella (UFC/50gr)	N/A	Ausência	Ausência
CARACTERISTICAS ORGANOLEPTICAS			
Sabor y Aroma	Neutro	Dulce y con nota a vainilla	Dulce, con suaves notas lácteas y vainilla natural
Color	Blanco Brillante	Amarillo	Amarillo claro
Aspecto	Homogêneo	Homogêneo	Liquido arenoso

Elaborado por: M. Moreno-G. Narea, 2014.

2.3 SITUACIÓN ACTUAL Y PLANTEAMIENTO DEL PROBLEMA.

Como se logró describir en la sección anterior, el producto es elaborado de una forma semiartesanal, contando con buenas características sensoriales; aunque variables. pero sus características microbiológicas no son las más adecuadas en materia de seguridad alimentaria y vida útil del producto. Desde el punto de vista productivo, el proceso es poco eficiente por el excesivo tiempo que hay que invertir para la obtención del producto. Al realizar un análisis interno de las causas que generan los problemas existentes en el producto y la planta, se encontró que los mismos son desencadenados fundamentalmente por tres factores que se describen a continuación:

- Excesivo tiempo de producción.
 - Elaboración y enfriamiento de Pasta de harinas (24 horas).
 - Elaboración y maduración de Pasta Aditivada (48 horas).
- Corta Vida Útil.
 - Producto artesanal con alta carga microbiológica inicial.

- Valor Organoléptico Variable.
 - Características sensoriales evaluadas subjetivamente por el operador de turno.

Excesivo tiempo de producción

Como se había indicado, el proceso productivo para la obtención de la bebida láctea de arroz y trigo tradicional era de aproximadamente 72 horas; desde la obtención de la pasta de harinas hasta la elaboración de la bebida láctea, generando un alto costo por mano de obra y grandes cantidades de desperdicio en cada batch de producción. Por lo general, el personal debía estar en las primeras horas de la mañana para elaborar la bebida tradicional de manera artesanal, lo que provoca demoras en el despacho; principalmente por sus etapas manuales, generando a su vez una cadena de retrasos al momento del transporte del producto hacia los puntos de venta; y de estos a su vez, para arrancar sus labores diarias.

Así también, las condiciones de calidad y seguridad alimentaria no se podían controlar de manera integral; debido a que la prioridad era el cumplir con los pedidos de producto, y los desperdicios que se generaban en las distintas etapas productivas hacían este proceso poco eficiente.

Corta Vida Útil.

La bebida láctea de arroz y trigo una vez obtenida y despachada tiene una vida útil de 24 horas; es decir, que el producto que sale hacia los distintos puntos de venta, al retornar era desechado por la alta carga microbiana presente, debido a la elevación de la temperatura en el punto de venta. La aplicación de un proceso térmico permitirá reducir considerablemente la carga microbiana e incrementar su tiempo de almacenamiento por un periodo de 15 días en contenedores asépticos a temperaturas de refrigeración.

Valor Organoléptico Variable.

La bebida de arroz y trigo tradicional por ser elaborada mediante un proceso semiartesanal, sufría variaciones en sus características organolépticas; sobre todo, en aquellas etapas del proceso netamente artesanales, donde dependía fundamentalmente del criterio del operador; como por ejemplo la adición de leche entera pasteurizada directa y a discreción sobre la pasta aditivada, obteniendo valores sensoriales distintos entre cada batch de un mismo lote. Para esto, el desarrollo e industrialización de una mejor fórmula permitirá tener parámetros de calidad más estrictos, reduciendo la influencia de criterios subjetivos por parte de los operadores.

2.4 SOLUCIÓN PROPUESTA.

Considerando los problemas planteados, se hacía necesaria la consolidación de las diferentes etapas productivas en un proceso continuo donde la cocción de harinas, aditivación y pasteurización brinde un producto seguro microbiológicamente y de características organolépticas idénticas a la original con un mínimo de tiempo, recursos y desperdicios. Para esto específicamente se planteó el desarrollo de una nueva fórmula para el producto; ya que mediante ensayos previos de laboratorio se encontró que la fórmula original generaba una bebida de elevada viscosidad cuando se la producía en proceso continuo, sometiendo a tres de los más importantes ingredientes de la fórmula a un diseño de experimentos 2³ que permitió obtener una bebida de viscosidad similar a la bebida original y que pueda fluir en un equipo enfriador de tubo en tubo.

Junto con esto, se evaluó las características organolépticas de la bebida elaborada con la nueva fórmula, mediante los métodos de evaluación sensorial triangular y de preferencia y sus resultados sustentados mediante un análisis de varianza.

Para extender la vida útil del producto se plantea diseñar el proceso de pasteurización; en marmita abierta y enfriamiento instantáneo,

validando el proceso mediante la aplicación del "Método Matemático de Ball" y "Método General Mejorado" para alcanzar el F_{T} Objetivo tomando como referencia al microorganismo más probable.

Seguido a esto, se llevó a cabo un análisis de vida útil que se ejecutó mediante un muestreo y monitoreo continuo de la estabilidad del producto desarrollado, considerando parámetros microbiológicos y físico-químicos por un periodo de 15 días; con muestreos periódicos cada tres días.

Con el fin de validar la utilidad de un equipo intercambiador de calor de doble tubo existente en la planta, se determinó matemáticamente la capacidad de enfriamiento del equipo para la bebida; en un proceso donde el agua de enfriamiento corre por el tubo interior y la bebida caliente pasteurizada por el anulo a contracorriente, mediante los modelos de transferencia de calor de Fourier.

CAPÍTULO 3

3. IMPLEMENTACIÓN DE LA SOLUCIÓN PROPUESTA.

3.1 CAMBIO EN LA FORMULACIÓN.

3.1.1 DISEÑO EXPERIMENTAL

Para el diseño experimental, se consideraron los porcentajes de A) Harina de Arroz (H.A), B) Harina de Trigo (H.T) y C) Leche en polvo (LP) como los factores para la construcción del modelo 2³, de tres factores a dos niveles (Alto (1) y Bajo (-1)).

La tabla 6 muestra la codificación de los factores y niveles en el modelo planteado y los valores numéricos de los mismos:

TABLA 6. TABLA DE DATOS

PARA EL DISEÑO FACTORIAL.

<u>Parámetros:</u>	NIVEL	ES (%)
Harina de Arroz (H.A)	3,80	3,42
Harina de Trigo (H.T)	2,11	1,70
Leche en Polvo (L.P)	3,24	2,47
VARIABLE RESPUESTA	VISCOSIDAD (cPs)	

Elaborado por: M. Moreno-G. Narea, 2014.

Como se había indicado, con el diseño de experimentos 2³ de tres factores (H.A; H.T; L.P) y dos niveles (1,-1) se busca determinar la mejor aplicación y combinación de estos con el fin de obtener como variable respuesta aquellos valores menores o iguales a la viscosidad presentada en el producto bebida láctea de arroz y trigo tradicional (tabla 5) que influencia directamente en el proceso técnico de pasteurización y validación organoléptica. Para esto, se hace necesario la validación del modelo experimental planteado, mediante el análisis de varianza del mismo, usando el programa MINITAB 14.

38

ANALISIS DE VARIANZA.

Para el análisis de varianza, se validó la Normalidad de los

datos mediante el grafico de la "Probability Plot", planteando las

siguientes hipótesis.

Ho: El experimento sigue la normalidad

H1: El experimento no sigue la normalidad.

Si se cumple con la siguiente condición de que el p-value es

menor que el alpha entonces se rechaza Ho. Mediante el uso

del programa se muestra un p-value de 0,08 con un alpha de

0,05; por lo tanto es mayor el p-value que el alpha y se acepta

Ho lo cual indica que el experimento sigue una distribución

normal.

Otro requisito en el diseño de experimento es que cumpla con la

Igualdad de Varianza, para lo cual se utilizó el "Test for Equal

Variances", estableciendo las siguientes hipótesis:

Ho: El experimento tiene igualdad de varianza.

H1: El experimento no tiene igualdad de varianza.

Si se cumple la siguiente condición que el p-value es menor que

alpha entonces se rechaza Ho. Al aplicar el programa se

obtiene un p-value de 0,146 con un alpha de 0,05; como se

39

demuestra que es mayor el p-value, por lo tanto se acepta Ho,

con lo cual se puede inferir que el experimento cumple con el

requisito para el diseño de experimento.

Una vez validado el modelo experimental, se procedió a realizar

el Análisis de Varianza (ANOVA) de los factores y niveles. En

primera instancia se interesa determinar qué factores e

interacciones son las que presentan un efecto importante sobre

la variable respuesta (VR). El modelo planteado para el

experimento es el siguiente:

$$Yijkl = \mu + Ai + Bj + Ck + ABij + ACik + BCjk + ABCijk + Eijkl$$

Se realizó la corrida del modelo en el programa MINITAB 14,

obteniendo que la interacción Harina de Arroz y Leche en Polvo

(AC)= 0,096>0,05 por lo que no se rechaza la hipótesis Ho, y se

concluye que no presenta efecto alguno sobre la variable

respuesta, descartando esta interacción y se planteó realizar un

nuevo ANOVA (ANOVA MEJORADO).

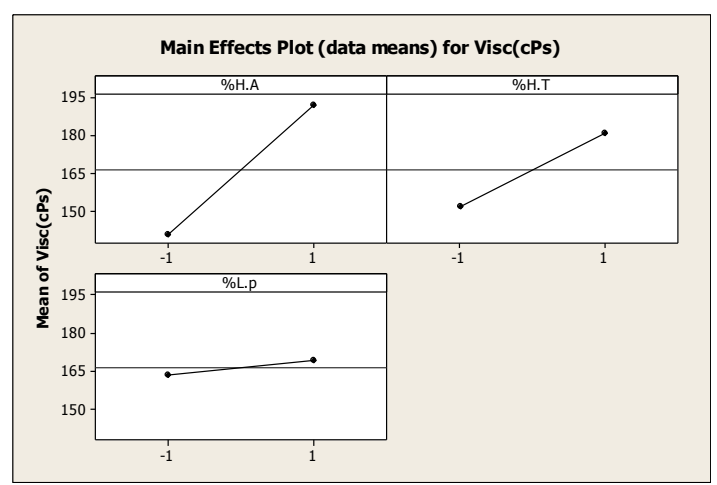
Ho: El factor no tiene efecto sobre la variable respuesta X=0

Hi: El factor tiene efecto sobre la variable respuesta X ≠0

Rechazo Ho si p-value< $\acute{\alpha}$; $\acute{\alpha}$ =0,05. Caso contrario acepto Ho.

Al realizar la corrida del ANOVA MEJORADO se pudo observar que todos los valores P de los factores son menores a α =0,05, por lo que todos ellos son significativos en el análisis del experimento. Además el valor de R² (Robustez)= 99.76% es sumamente alto, lo que garantiza que se ha realizado bien el bloqueo de otros factores durante el experimento.

De la figura 3.1 Efectos Principales se puede determinar gráficamente los niveles más óptimos a usar para los factores analizados.



Elaborado por: M.Moreno-G. Narea, 2014

FIGURA 3.1
EFECTOS PRINCIPALES (MINITAB 14).

De esta manera, con el grafico mostrado se determinó que los factores y sus respectivos niveles deben ser usados en la combinación que se expone en la tabla 7, con el fin de obtener valores de viscosidad menores y/o iguales a la viscosidad del producto original.

TABLA 7

COMBINACIÓN DE NIVELES SELECCIONADOS

	FACTORES		
	%H.A.	%Н.Т.	%L.p
NIVELES	3.42	1.70	2.47
	3.42	1.70	3.24

Elaborado por: M. Moreno-G. Narea, 2014.

Entonces, en base a los resultados obtenidos durante el proceso de análisis experimental del modelo planteado, podemos concluir que: Para los factores H.A (A) y H.T (B) es recomendable trabajar a los niveles bajos (3.42% y 1.70%) respectivamente.

Para el factor L.P. (C) es indiferente el nivel al cual se debe trabajar, permitiendo el uso de ambos niveles (2.47%; 3.24%) dentro del desarrollo del producto sin generar cambios significativos en la viscosidad del mismo; por lo que,

considerando los costos de producción se planteó usar el menor porcentaje en la formulación.

3.1.2 Formulación Óptima.

Usando los niveles sugeridos por el diseño experimental y manteniendo constantes las dosificaciones del resto de los componentes, se obtuvo un producto con características sensoriales parecidas al producto artesanal.

La tabla 8 muestra de manera parcial^a la fórmula desarrollada en esta parte del proyecto.

TABLA 8
FÓRMULA ÓPTIMA DESARROLLADA.

	INGREDIENTES	DOSIFICACIÓN (%)
Cocción de Harinas	Harina de Arroz	3,42
Coc (Har	Harina de Trigo	1,70
	Leche en polvo	2,47
ope	Suero de Leche	
Aditivado	Azúcar	
Adi	E. Vainilla	
•	Sal	
Lacteado	Leche liquida	
Lac	Agua	58,78
	TOTAL	100,00

^a Acuerdo de confidencialidad entre la empresa y autor del proyecto que restringe la publicación y divulgación total de la formula desarrollada

3.1.3 Evaluación Sensorial.

Una vez conseguido el desarrollo de la nueva fórmula del producto, se validó sensorialmente el mismo. Para esto se usaron los métodos prueba "Triangular" y el método "Prueba de Preferencia Apareada Simple" con los cuales se analizó el producto desarrollado frente al producto tradicional.

La prueba Triangular permite establecer diferencias para todos sus atributos entre dos productos, específicamente evaluando el efecto de cambio de fórmulas en un alimento definido. Así mismo, la prueba de preferencia apareada es la más simple dentro de su categoría y permite determinar la preferencia entre dos muestras para un mismo grupo de panelistas.²²

Para llevar a cabo este estudio, se presentaron tres pares de muestras; a 10 panelistas entrenados, las cuales debieron ser confrontadas frente a la muestra patrón (P) y sus respuestas registradas en una "Ficha de Respuesta" (Apéndice D). Es importante mencionar que el orden de la presentación de los pares de muestras estuvo balanceado, de tal manera que los pares de muestras idénticas se presentan en igual número de veces en la posición izquierda que en la derecha dentro del par.²²

La tabla 9 muestra la codificación y abreviaturas usadas para las muestras y el ordenamiento usado en estas para evitar el error por respuestas al azar.

TABLA 9

TABLA DE CODIFICACIÓN Y ORDENAMIENTO

CÓDIGO	DESCRIPCIÓN	ABREVIATURA
	Bebida Láctea Arroz	
657-783-579	y Trigo Pasteurizada	BD
248-965-786	Bebida Láctea Tradicional Regular	ВТ
248-303-780	Bebida Láctea	ы
Patrón	Tradicional Regular	Р
	ADDEN DE DECUCE	o ó v
	ORDEN DE DEGUSTA	CION
JUECES	NUMERACIÓN	CÓDIGO
1-5	248-P-657	BT-P-BD
	06F 7 92 D	BT-BD-P
	965-783-P	R1-RD-5
	579-786-P	BD-BT-P
6-10	657-P-248	BD-P-BT
	D 702 065	D DD DT
	P-783-965	P-BD-BT
	P-786-579	P-BT-BD

Elaborado por: M. Moreno-G. Narea, 2014.

Las respuestas de las evaluaciones sensoriales por cada panelista fueron recogidas en dos cuadros de resultados para la prueba Triangular y de Preferencia respectivamente y los

mismos ordenados por aciertos y errores para cada ensayo (ver Apéndice E) para ser analizados y determinar mediante un análisis de varianza si existe diferencia significativa. La tabla 10 resume los resultados para estos ensayos.

TABLA 10.

RESULTADOS PRUEBAS SENSORIALES.

TIPO DE ENSAYO	ACIERTOS	ERRORES
TRIANGULAR	16	14
PREFERENCIA	19	11

Elaborado por: M. Moreno-G. Narea, 2014.

Con estos resultados y mediante el uso de la tabla "Número mínimo de juicios correctos para pruebas triangulares" (Apéndice F), se puede determinar si existe diferencia significativa entre las muestras; entrando en la tabla con el número de ensayos en el eje de las abscisas (Y) y los juicios mínimos correctos en el eje de las ordenadas (X), con el que se obtiene un valor de juicios correctos igual a 16 y se puede determinar que el nivel de diferencia significativa estaría entre los niveles de probabilidad del 5% y 1% (Tabla 11).

TABLA 11.

RESULTADOS PRUEBA PREFERENCIA.

Núm. Juicios	Nivel de Probabilidad		
	5%	1%	0,10%
30	15	17	19

Elaborado por: M. Moreno-G. Narea, 2014.

Sin embargo, este valor subjetivo es bastante impreciso por lo que se hace imperativo el uso del método de la Ji-Cuadrada que es específica para determinar; de acuerdo a una cierta hipótesis, en qué grado una distribución de frecuencia observada se compara con una distribución esperada o teórica.

MÉTODO DE LA JI-CUADRADA.

El método de la Ji-Cuadrada (x^2) se utiliza para determinar si las comparaciones entre muestras que generan las pruebas de comparación por pares, dúo-trío y triangular son significativamente diferentes o no. Si el valor de la x^2 es mayor que el valor teórico de las tablas; para la misma x^2 , en un cierto nivel de significancia (p) y para el grado de libertad apropiado, se concluye que la distribución observada no es semejante a la esperada o comúnmente "hay diferencia significativa".

La fórmula de Ji-Cuadrada adecuada a estas pruebas sensoriales que involucran un grado de libertad (g.l=1), es la llamada "Ji-Cuadrada Ajustada" (X²) que se presenta a continuación:

$$X^{2} = \frac{(|X_{1} - np| - 0.5)^{2}}{np(1-p)}$$
 Ec. 1

Dónde:

X= Numero de opiniones acertadas.

n= Número total de ensayos practicados o número de jueces.

p= Probabilidad del éxito en un ensayo único.

(1-p)= Probabilidad de la falla en un ensayo único.

0.5= Factor de corrección por continuidad para Ji-Cuadrada ajustada.

Reemplazando los valores hallados para este ensayo en la ecuación 1, se obtiene el valor de la Ji-Cuadrada.

$$X^{2} = \frac{(|16 - 10| - 0.5)^{2}}{(10 * 0.67)}$$
$$X^{2} = 4.538$$

Con el valor de X², se confronta frente a los valores teóricos en la tabla "Valores Críticos para Ji-Cuadrado" (Apéndice G),

observando que este se encuentra entre los niveles de significancia; para una cola, de 0,05 y 0,01 con lo que se puede determinar que "existe diferencia significativa" a un nivel de probabilidad de error por debajo del 5% (p=0.05).

TABLA 12.

TABLA DE DATOS JI-CUADRADA.

	UNA COLA		
g.l.	0,05	0,01	
1	2,706	5,412	

Elaborado por: M. Moreno-G. Narea, 2014.

Si bien es cierto, el resultado obtenido mediante el uso del método de la Ji-Cuadrada da la certeza de que la hipótesis "existe diferencia significativa" es confiable en un 95%, también es cierto que se puede determinar con mayor exactitud este valor de probabilidad mediante el uso del método estadístico "Calculo de Probabilidad Exacta" basada en el estadístico z de la curva normal.

CÁLCULO DE LA PROBABILIDAD EXACTA.

El estadístico z es un valor que se expresa como la distancia desde la media de la población normal, en términos de la desviación típica; por eso su fórmula está diseñada de la siguiente manera:

$$z = \frac{(x1 - 0.5) - m}{s}$$
 Ec. 2

Dónde:

x1= Punto que limita el área de la curva normal.

0.5= Factor de corrección por continuidad.

m= Numero esperado de éxitos y equivale a np.

s= Desviación estándar y equivale a √n*p (1-p)

n= Numero de ensayos.

p= Probabilidad de éxito o acierto en cada ensayo.

Reemplazando los valores expresados en la ecuación 2 se obtiene el valor estadístico z.

$$Z = \frac{([16 - 0.5] - [30 * 0.33])}{\sqrt{30} * 0.33 * 0.67}$$
$$Z = 2.130$$

Obtenido el valor de z, se confronta frente a los valores teóricos en la tabla "Distribución Normal Estándar (z)" (Apéndice H), y con este se consigue el valor de la Probabilidad Exacta Real para nuestro análisis (*pE*) igual a 1,66%.

TABLA 13.

TABLA DE DATOS z CRÍTICOS.

	Distribución Normal Estándar	
Desviación Normal (z)	0,02	0,03
2,1		0,0166

Con este resultado se concluye que la hipótesis "Existe Diferencia Significativa"; entre el desarrollo propuesto (BD) y el producto tradicional (BT), es confiable en un 98.36%.

ANÁLISIS DE PREFERENCIA.

Con la tabla 10 de resultados de pruebas sensoriales se puede observar un valor de preferencia para la muestra BD o desarrollo propuesto igual a 19. Comparando este valor frente a la "Tabla de Significancia Triangular" (Apéndice I) se obtienen los siguientes valores:

TABLA 14.

DATOS JUICIOS CORRECTOS PREFERENCIA.

TABLA DE SIGNIFICANCIA TRIANGULAR							
Prueba 1 Cola							
Num. Juicios	5%	1%	0.10%				
30	15	17	19				

Elaborado por: M. Moreno-G. Narea, 2014.

Con los datos de la tabla 14 se puede concluir que "Existe Preferencia Significativa" de los panelistas hacia el desarrollo propuesto (BD) en un 99.99% de confianza. Es decir, que los panelistas en un 99,99% de confianza prefirieron la Bebida Láctea de Arroz y Trigo Pasteurizada propuesta en este proyecto.

3.2 ESTUDIO DE PROCESO TÉRMICO.

3.2.1 Factores críticos del proceso térmico.

Los factores críticos se entienden como parámetros relacionados con el producto; y que al variar, modifican significativamente los resultados del tratamiento térmico.

En busca de definir las características originales del producto a reproducir y de esta manera establecer aquellos parámetros y sus valores que deben ser estandarizados para obtener un

producto de excelentes características sensoriales e inocuidad.

La tabla 15 muestra las características físico-químicas más importantes para el producto, establecidas y normalizadas por el departamento de calidad de forma interna.

TABLA 15.

PARAMETROS FISICO-QUIMICOS DEL PRODUCTO.

ESPECIFICACIONES BEBIDA LÁCTEA DE ARROZ Y TRIGO						
TRADICIONAL						
PARÁMETROS						
ACIDEZ	BRIX	рН	VISCOSIDAD			
(%)	(°Brix)	(Potencial Hidrogeno)	(cPs)			
0,145±0,02	21±2	6,2±0,3	135±5			

Elaborado por: M. Moreno-G. Narea, 2014

Con las valoraciones físico-químicas realizadas, los datos establecidos en el proceso de formulación optima y la información bibliográfica de los procesos térmicos; podemos definir los factores críticos a considerar en nuestro proceso térmico, siendo estos: la viscosidad que se encuentra con un valor de 135cPs, la proporción de los ingredientes harina de arroz y harina de trigo definidas en la sección anterior en 3,42% y 1,70% respectivamente y la temperatura inicial del producto al inicio de la pasteurización definida a 60°C (140°F) ya que es la temperatura mínima a la cual se alcanza niveles de letalidad capaces de reducir al menos un ciclo de reducción decimal en la mayoría de cepas vegetativas

presentes comúnmente en alimentos con pH≥4.6 y almacenados a temperaturas por debajo de 6°C.¹³

3.2.2 Obtención de parámetros del proceso térmico.

Para el tratamiento térmico de pasteurización abierta se usó una marmita de doble camisa con sistema de calentamiento por aceite térmico y sistema de enfriamiento por intercambiador de calor tubular instantáneo.

Para el estudio de penetración de calor se realizó una prueba industrial real en una marmita de 250 Litros de capacidad máxima, y que operaba con aceite térmico a 140°C (284°F) como medio de calentamiento y aplicación de enfriamiento instantáneo mediante un intercambiador de calor tubular. Se registraron las lecturas de temperatura del producto en pasteurización cada tres minutos en la superficie; como el punto más frío del sistema.

Durante 27 minutos de proceso continuo se recolecto los datos para el proceso total, los que se pueden observar en el apéndice J.

Con la determinación de los parámetros del proceso térmico de pasteurización se aplicará el "Método Matemático de Ball" y "Método General Mejorado". Anteriormente se determinó como

microorganismo de referencia al *Bacillus cereus psicrotrófico* y se estableció alcanzar un nivel de reducción decimal de 6 escalas logarítmicas (6D) a una temperatura de referencia de 95°C (203°F). Los valores reportados para la resistencia térmica de las esporas de Bacillus cereus psicrotróficos; en agua destilada como medio netamente experimental, se detallan en la tabla 16.

TABLA 16.

VALORES REFERENCIALES DE RESISTENCIA

TÉRMICA DE *BACILLUS CEREUS* PSICROTROFICO.

Microorganismo	Medio	T	D	Z
	Cultivo	(°C)	(min).	(min).
Bacillus cereus	Agua	85	16	
Psycrotrophic cepa	destilada	90	3.9	8.2
INRA AVTZ415		95	1.0	

Fuente: Fernández et. al (2001)

Entonces con los datos de referencia del microorganismo, se procede a determinar el F_T Objetivo, el mismo que es calculado mediante la ecuación 3.

$$F_T = VS * D_T$$
 Ec. 3

Dónde:

VS= Numero de ciclos logarítmicos de reducción microbiana deseada.

Valor D_T = Tiempo necesario para lograr una reducción del 90% de la población microbiana presente en el producto.

Reemplazando los valores en la ecuación tenemos, $F_{T95^{\circ}C}=6*1=6min$.

F_{T95°C}=6min.

Con las temperaturas letales de la tabla "Datos del Proceso Térmico" del apéndice J se procede a graficarlos en una hoja semilogarítmica de tres ciclos con el fin de construir una curva que muestre la transferencia de temperatura entre el medio de calentamiento; a través de la pared interna de la marmita, y el producto. Para este efecto, se hizo uso del programa D-PLOT V.2.3.; con el cual se puede linealizar la curva, con el fin de obtener una ecuación que vincule la mayor cantidad de puntos y obtener los factores de penetración de calor.

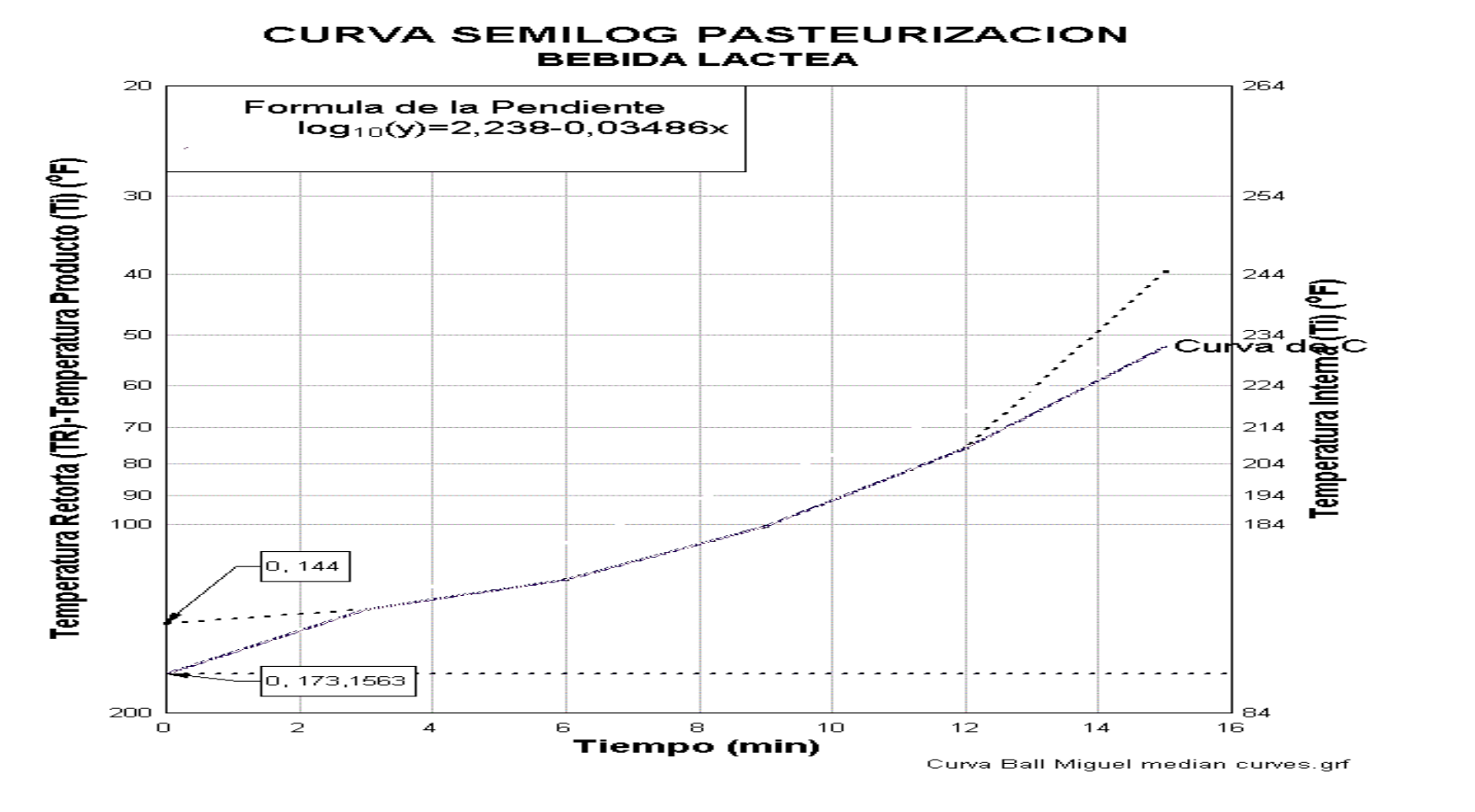


Figura 3.2: CURVA SEMILOGARITMICA DE PASTEURIZACION BEBIDA LACTEA.

Elaborado por: M.Moreno-G.Narea (2014)

Con la curva de la figura 3.2 se puede determinar gráficamente los parámetros del proceso térmico de pasteurización, enlistándolos de esta manera en la tabla a continuación.

TABLA 17.

PARÁMETROS DEL PROCESO TÉRMICO.

PARAMETRO	VALOR
°T Referencia	203 °F
(Tref)	
D ₍₉₅ °C)	1 min
Z _(95 °C)	15 °F
°T Retorta (TR).	284 °F
F _{TO(95°C)}	6 min
°T inicial (Ti)	140 °F
Cut.	0 min
tpi	0 min
Jh	1,20
	(Adimensional)
Fh	28,68 min
I	144 °F

Elaborado por: M. Moreno-G. Narea, 2014.

3.2.3 Diseño del Proceso.

Con los parámetros obtenidos en la tabla 17, se procede a calcular el F_T del Proceso con 15min. de pasteurización; para validar frente al

 F_T Objetivo, si el proceso es eficiente o no para alcanzar los niveles de destrucción microbiológica a los estándares establecidos por la bibliografía. Esto se lo consigue aplicando el "Método Matemático de Ball" (Ec. 4) que permite obtener la temperatura interna del producto T a un tiempo t en el proceso térmico; y con esta temperatura, calcular su letalidad mediante el método general (Ec.5).

$$T = TR - Jh * I \left(10^{-\frac{t-tpi}{fh}}\right)$$
 Ec. 4

$$L = 10^{rac{T-Tref}{Z}}$$
 Ec. 5

Dónde:

T= Temperatura interna del producto.

TR= Temperatura de la retorta.

Jh= Factor de inercia de la curva de calentamiento(jh).

I= Temperatura inicial.

t= Tiempo t en el proceso térmico.

tpi= Tiempo seudo inicial.

fh= Velocidad de penetración de calor entre un ciclo log y otro.

Tref= Temperatura de inactivación del m.o de referencia

Z= Valor de temperatura de reducción decimal para el m.o de referencia.

Usando la ecuación de BALL y el Método General se realizó el diseño de proceso que se muestra en la tabla 18.

En esta tabla se muestra que con un calentamiento constante por 11 minutos, temperatura inicial de 140°F y temperatura de la retorta de 284°F se alcanza una letalidad promedio acumulada (F_T Proceso) de 12,06min, lo que nos brinda una pasteurización efectiva con un mínimo de sobreproceso.

TABLA 18.

DATOS PARA EL DISEÑO DEL PROCESO.

°T Inicial	°T	Tiempo	Letalidad	F _T
(Ti) (°F)	Retorta	Proceso	Acumulada	Objetivo
	(TR)	(min)	(F _T Proceso)	(°C)
	(°F)		(min)	
140	284	10	4,85	
140	284	11	12,06	,

Elaborado por M.Moreno-Giovany Narea, 2014.

3.2.4 Estudio de Estabilidad.

La vida útil en los productos de conservación limitada; como por ejemplo en los alimentos pasteurizados, se ven directamente afectados por la calidad de la materia prima, el control de las condiciones durante el procesamiento y distribución y fundamentalmente por las temperaturas de almacenamiento. Diversos autores han determinado que la temperatura a la cual se almacena la leche y sus derivados después de su pasteurización tiene gran influencia en el crecimiento de los microorganismos y en la seguridad microbiológica de los productos lácteos refrigerados.²¹

Dado esto, es fundamental seleccionar y mantener una temperatura de refrigeración adecuada y permanente que asegure la calidad microbiológica del alimento, estudios aplicados han encontrado que temperaturas ≤5°C son aquellas que brindan una mayor estabilidad en los productos lácteos y sus derivados, durante periodos de almacenamiento de hasta 16 días.¹⁸

De manera general los principales microorganismos presentes en el ambiente son los aerobios mesófilos totales y que son considerados en microbiología como un factor de medición de la calidad de los procesos de sanitización; mientras que, el análisis de coliformes totales y su patógeno E. Coli, como factor de medición de la calidad

de higiene del personal que interviene en los procesos productivos.

La NTE INEN 2564:2011 BEBIDAS LACTEAS. REQUISITOS,
específica para el "Recuento de Microorganismos Aerobios
Mesófilos (REP)" valores entre 30000 (mínimo) y 50000 (máximo)
UFC/cm³; para el "Recuento de Coliformes" valores de ≤1 (mínimo)
y 10 (máximo) UFC/cm³ y para el "Recuento de E. Coli" valores de
≤1 UFC/cm³.

Por lo tanto, para el presente estudio se consideró plantear el análisis de la vida útil de la bebida láctea de arroz y trigo pasterizada por un periodo global de 15 días de almacenamiento calendario; bajo condiciones de refrigeración a 5°C en cámara refrigerada, con muestreos cada 3 días a 4 contenedores de acero inoxidable para Aerobios Mesófilos Totales (REP) en placa PETRIFILMTM para el Recuento de Aerobios y placa PETRIFILMTM para el Recuento de E. Coli/Coliformes. Junto con el monitoreo microbiológico, se analizara el comportamiento del potencial hidrogeno (pH) mediante el método del potenciómetro (pHmetro) debidamente calibrado. ΕI planeamiento del estudio de estabilidad se resume en la tabla a continuación:

TABLA 19.

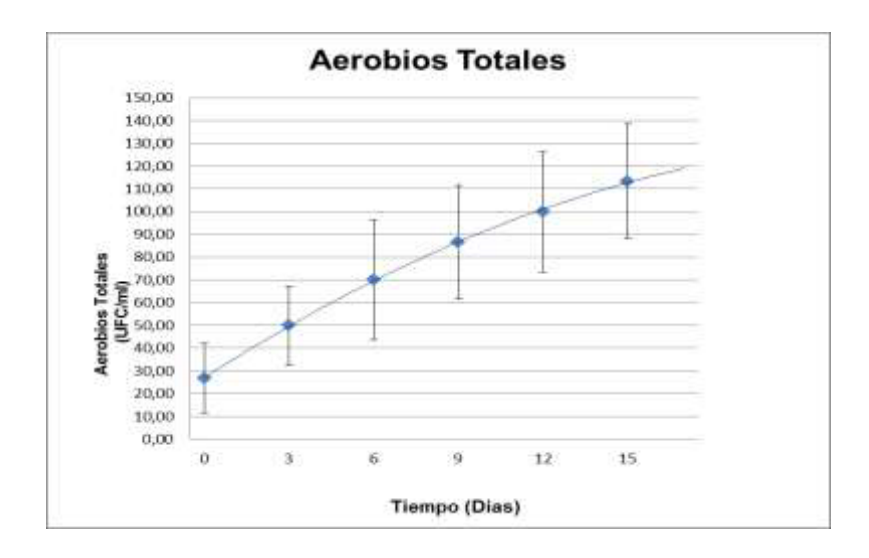
PLANEAMIENTO DEL ESTUDIO DE ESTABILIDAD.

CATEGORIA	PARAMETRO	CONDICION	FRECUENCIA	LECTURA	METODO
		DE ANALISIS	DE ANALISIS	POSITIVA	DE
					ENSAYO
	Aerobios	Incubar a	Cada 3 días	Colonias Rojo	AOAC
	Mesófilos	32°C±1 por		Violetas	986.33
	Totales	48hrs±3.			
	E.Coli/	Incubar a	Cada 3 días	Colonias Rojo	AOAC
	Coliformes	35°C±1 por		Violetas con	991.14
Microbiológico		24hrs±2.		gas	
		(Coliformes) (Coliformes)		(Coliformes)	
		35°C±1 por		Colonias	
		48hrs±4.		Azul-Violetas	
		(E.Coli)		con gas	
				(E.Coli)	
Fisico-	Potencial	Tomar 50cm ³	Cada 3 días	Lecturas	Norma
Químico	Hidrogeno	de muestra a		estables en	COVENIN
	(pH)	23°C±2.		Ready	1315-79

Elaborado por: M. Moreno-G. Narea, 2014

Los procedimientos debidamente tabulados para la aplicación de los ensayos planteados se encuentran descritos en los apéndices M, N y O.

Una vez aplicados los procedimientos en el presente estudio de estabilidad, se encontraron los siguientes resultados que se exponen en las figuras a continuación.



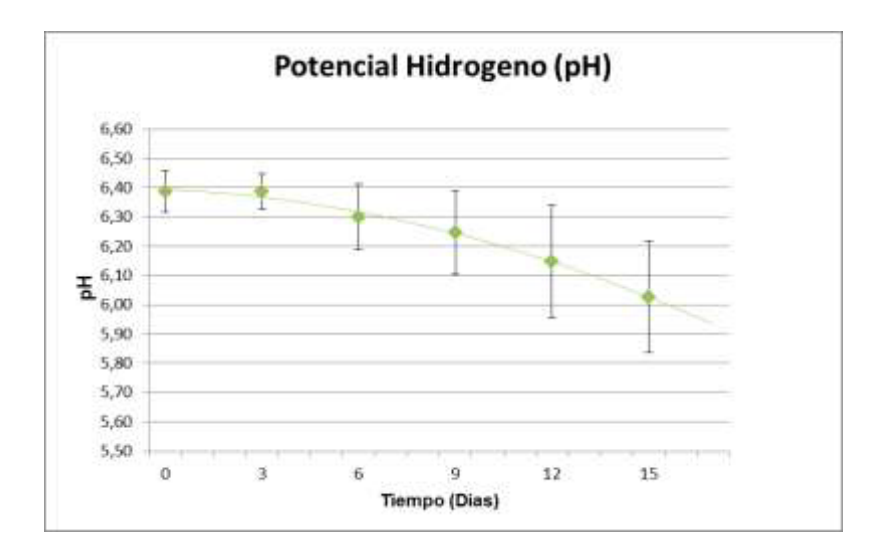
Elaborado por: M.Moreno-G.Narea (2014)

Figura 3.3.

CURVA DE CRECIMIENTO AEROBIOS TOTALES

La figura 3.3 muestra el comportamiento de los Aerobios Mesófilos Totales durante el presente estudio, los mismos que fueron contabilizados en un promedio de 74,4 UFC/ml, con un contaje mínimo de 10 UFC/ml y uno máximo de 140 UFC/ml. El análisis del parámetro microbiológico Coliformes Totales/E.Coli se encuentra descrito mediante su curva de crecimiento descrita en el apéndice N, donde de manera resumida se encontró; como era de esperarse, un

bajo conteo de Coliformes Totales con una media de 0,89 UFC/ml, lectura mínima de 0 UFC/ml y máxima de 5 UFC/ml en las muestras analizadas, mientras que no se encontró colonias de E.Coli durante todas las lecturas realizadas en que se llevó a cabo el estudio.



Elaborado por: M.Moreno-G.Narea (2014)

Figura 3.4.

CURVA DE COMPORTAMIENTO DEL POTENCIAL HIDROGENO (pH).

La figura 3.4 muestra el comportamiento de las lecturas del potencial hidrogeno en las muestras analizadas.

Estos datos presentados se recogen de manera resumida mediante un estadígrafo en la tabla 20.

TABLA 20.

ESTADÍGRAFO DE LOS RESULTADOS

DEL ESTUDIO DE ESTABILIDAD.

ESTADÍGRAFO	AEROBIOS TOTALES	COLIFORMES TOTALES	E.COLI	POTENCIAL HIDROGENO (pH)
LECTURA MEDIA	74,44±36,01	0,89±1,49	0±0	6,25±0,18

Elaborado por: M.Moreno-G.Narea (2014)

Con los datos estadísticos obtenidos se puede determinar que el térmico de pasteurización aplicado proceso efectivo, proporcionando un producto de baja carga microbiológica para aerobios, mínima para coliformes y nula para E.Coli; y en combinación con un almacenamiento refrigerado a temperaturas ≤5°C se puede garantizar una vida útil por encima de los 15 días planteados con cargas microbiológicos en completo cumplimiento a la norma INEN 2564 de referencia. Así también, el comportamiento del parámetro potencial hidrógeno nos garantiza una calidad organoléptica estable durante el periodo de almacenamiento, al obtener una lectura media de 6,25 en completo cumplimiento al valor planteado como crítico para el producto.

3.3 UTILIZACIÓN DEL INTERCAMBIADOR TUBULAR DE ENFRIAMIENTO

Como se planteó en capítulos anteriores, con el fin de garantizar los resultados del proceso térmico de pasteurización aplicado, se hizo uso del equipo intercambiador de doble tubo que posee la compañía y cuyas características técnicas fundamentales se encuentran descritos en el apéndice Q del presente trabajo.

Para el cálculo de la capacidad del equipo intercambiador, se hizo necesario previamente la determinación bibliográfica de las propiedades termofísicas de la bebida pasteurizada tales como el calor específico (*Cp*), la conductividad térmica (*K*) y la densidad (ρ). Para esto, se usó las tablas propuestas por Choi y Okos (1986),²⁴ en las cuales desarrollaron modelos matemáticos para determinar las propiedades térmicas de los alimentos en función de su temperatura; en un rango entre 0°C y 150°C, y la composición nutricional proximal de esta.

Para la determinación de la composición nutricional proximal de la bebida, se usó la Tabla de Composición de los Alimentos Ecuatorianos del Instituto Nacional de Nutrición del Ministerio de Previsión Social y Sanidad (1965), y mediante la fórmula optima establecida previamente para la bebida, se pudo definir la

composición nutricional de la misma con los valores descritos en la tabla 21.

TABLA 21.

COMPOSICION NUTRICIONAL PROXIMAL DE

LA BEBIDA PASTEURIZADA

NUTRIENTE	FRACCION PROXIMAL		
	(g/100g Bebida)		
Proteína	1,8±0,05		
Grasa	1,5±0,08		
Carbohidratos	15,3±0,02		
Cenizas	0,1±0,01		
Humedad	79±0,06		

Elaborado por: M. Moreno-G. Narea, 2014

Una vez definida la composición nutricional de la bebida y con la temperatura de pasteurización establecida en el estudio térmico $(203^{\circ}F)$, se consiguió la determinación de las propiedades termofísicas a través de los datos arrojados por la tabla de Choi y Okos y las ecuaciones 6, 7 y 8 para el calor especifico (Cp), Conductividad térmica (K) y Densidad (ρ) respectivamente.

$$Cp_B = \Sigma(Cp_i * X_i)$$
 Ec. 6

$$K_B = \Sigma(K_i * X_i)$$
 Ec. 7

$$\frac{1}{\rho_B} = \Sigma \left[\frac{X_i}{\rho_i} \right]$$
 Ec. 8

Dónde:

 Cp_B = Calor especifico de la bebida.

Cp_i= Calor especifico del componente nutricional.

X= Fracción en masa de cada componente.

 K_B = Conductividad térmica de la bebida.

Ki= Conductividad térmica del componente nutricional.

 ρ_B = Densidad de la bebida.

 ρ_i = Densidad del componente nutricional.

Aplicando las formulas planteadas, se obtuvo las propiedades termofísicas de la bebida, las mismas que son enlistadas en la tabla a continuación junto con otros factores importantes para el cálculo de la capacidad del intercambiador.

TABLA 22.

PROPIEDADES Y PARÁMETROS TERMOFÍSICOS Y

DE FLUJO DE LA BEBIDA.

PARAMETRO	VALOR
Caudal Másico	1647,36 Lb/h
de la Bebida (Q _{mB})	1047,00 Lb/11
Temperatura de Entrada	203°F
Bebida (T₁)	203 1
Temperatura de Salida	39,2°F
Bebida (T ₂)	JJ,Z 1
Calor Especifico	0,088 BTU/Lb.°F
de la Bebida (<i>Cp_B</i>)	0,000 1 0/25. 1
Conductividad Térmica	33,83 BTU/h.pie.°F
de la Bebida (K_B)	33,03 B1 0/11.pie. 1
Densidad	1438,69 Lb/pie ³
de la Bebida ($ ho_{\scriptscriptstyle B}$)	1430,09 Lb/ple
Viscosidad	0,091Lb/pie.seg
de la Bebida (μ_{B})	o,oa iEb/pie.seg

Las propiedades termofísicas y de flujo del agua de enfriamiento (35,60°F); tales como el Calor Especifico, Conductividad Térmica, Densidad y Viscosidad fueron obtenidas; después de las respectivas interpolaciones y conversiones para cada caso, de las tablas

expuestas en los apéndices P y Q respectivamente. Estos datos son enlistados en la tabla a continuación.

TABLA 23.

PROPIEDADES Y PARÁMETROS TERMOFÍSICOS Y

DE FLUJO DEL AGUA DE ENFRIAMIENTO.

PARAMETRO	VALOR	
Caudal Másico	9240 Lb/h	
Del Agua (Q _{mA})	9240 LD/II	
Temperatura de Entrada	35,60 °F	
Agua (t₁)	33,00 1	
Calor Especifico	1,0087 BTU/Lb.°F	
Del Agua (<i>Cp</i> _A)	1,0007 B10/Lb. 1	
Conductividad Térmica	0,322 BTU/h.pie.°F	
Del Agua (K _A)	0,322 B1 0/11.pie. 1	
Densidad	62,39 Lb/pie ³	
Del Agua ($ ho_{A}$)	02,00 Lb/ple	
Viscosidad	1,0083x10 ⁻³ Lb/pie.seg	
Del Agua (μ_{A})	1,0000X10 Lb/ple.seg.	

Con los datos obtenidos para la bebida y el agua de enfriamiento, se procedió a calcular la capacidad de enfriamiento del intercambiador de calor de tubo en tubo, en un sistema a contracorriente donde el agua fluye por el tubo interno y la bebida por el anulo, considerando

las especificaciones técnicas de la estructura del intercambiador expuestas en el apéndice O.

Basándose en el planteamiento básico de balance de materia y energía; se puede indicar que para el sistema, el calor que pierde la bebida es igual al calor que gana el agua de enfriamiento, despreciando las perdidas por radiación del equipo para un mejor entendimiento del sistema. La relación de este cambio de energía se consigue a través de la Ecuación de Fourier o Ecuación de Diseño (Ec. 9), y que para el sistema planteado en este estudio, puede evaluarse por la ecuación 10.

$$Q = U * A * \Delta T$$
 Ec. 9

$$Q = m * Cp * \Delta T$$
 Ec. 10

Calor que pierde la bebida = Calor que gana el agua Q_B Q_A

$$Q_{mB}*Cp_{B}*\Delta T$$
 $Q_{mA}*Cp_{A}*\Delta t$

Con el modelo de intercambio de energía planteado, se procedió a calcular el calor sensible que cederá la bebida para enfriarse a la temperatura planteada (39,2°F).

$$Q_B = 1647,36 \frac{Lb}{h} * 0,0875 \frac{BTU}{Lb}$$
°F * $(203 - 39,2)$ °F

$$Q_B = 23610,78 \, BTU/h$$

Aplicando el modelo de intercambio de energía, calculamos la temperatura de salida del aqua de enfriamiento.

$$23610,78\frac{BTU}{h} = 9240\frac{Lb}{h} * 1,0087\frac{BTU}{Lb} °F * (t2 - 35,60) °F$$

$$t2 = 38.13 \, ^{\circ}\text{F}$$

Dado que en el sistema las pérdidas de calor por radiación son despreciables, se asumió entonces que el coeficiente total de transferencia de calor (U), el caudal másico (Q_m) y el calor específico (Cp) son constantes en toda la trayectoria y no hay cambios parciales de fase de los fluidos. Por esto, la relación de la diferencia de temperatura (ΔT) entre los fluidos en el sistema a contracorriente debe ser expresada a través de la MEDIA LOGARÍTMICA DE LA DIFERENCIA DE TEMPERATURAS (MLDT), que se obtiene a partir de la siguiente ecuación.

$$MLDT = \frac{\Delta t 2 - \Delta t 1}{\ln \left(\frac{\Delta t 2}{\Delta t 1}\right)}$$
 Ec. 11

Dónde:

MLDT= Media Logarítmica de la Diferencia de Temperatura.

 Δt_2 = La mayor diferencia de temperatura entre los fluidos.

 Δt_1 = La menor diferencia de temperatura entre los fluidos.

Para la determinación de la MLDT, se procedió a calcular las diferencias de temperatura entre los fluidos en el sistema.

Fluidos Calientes		Fluidos Fríos	
T ₁	203 °F	T ₂	39,2 °F
t ₂	38,1 °F	t ₁	35,6 °F
Δt_2	164,8 °F	Δt_1	3,6 °F

Con las diferencias de temperatura, se reemplazan en la ecuación 11 y se obtiene el valor de MLDT.

$$MLDT = \frac{(164,87 - 3,6)^{\circ}F}{Ln\left(\frac{164,87}{3,6}\right)^{\circ}F}$$

$$MLDT = 42,17^{\circ}F$$

Para el cálculo de la capacidad de enfriamiento del equipo, se hace necesario obtener los "Coeficientes Individuales de Película" o simplemente "Coeficientes de Película (\boldsymbol{h})"; que son una medida del flujo de calor por unidad de superficie y por unidad de diferencia de temperatura. Como estos coeficientes dependen de las características físicas (Cp, K, ρ , μ), temperatura y características de

flujo de cada fluido, se tiene un coeficiente de película para el fluido que corre por el tubo interior (h_i) y un coeficiente para el fluido que corre por el tubo exterior o anulo (h_o).

Para obtener el coeficiente de película interior (h_i), se hizo uso de la gráfica "Curva de Transferencia de Calor, Agua en lo Tubos" (Eagle y Ferguson, 1930) expuesta en el apéndice R; para la cual, se hizo necesario el cálculo previo del "Área de Flujo (A_f)", "Velocidad de Flujo del Fluido en el Tubo Interior (V)" y su "Temperatura Media ($\overline{\tau}$)" mediante las ecuaciones 12, 13 y 14.

$$A_f = \frac{\pi(\emptyset i)^2}{4}$$
 Ec.12

$$V = \frac{Q_{mA}}{\left(\rho_A * A_f\right)}$$
 Ec.13

$$\overline{\tau} = \frac{(t1+t2)}{2}$$
 Ec.14

Dónde:

 A_f = Área de flujo del tubo interior.

Ø_i= Diámetro interior del tubo interior.

V= Velocidad de flujo en el tubo interior.

Q_{mA}= Caudal másico del agua de enfriamiento.

 ρ_A = Densidad del agua de enfriamiento.

T= Temperatura media del agua de enfriamiento.

t₁= Temperatura de entrada del agua de enfriamiento.

t₂= Temperatura de salida del agua de enfriamiento.

Reemplazando los valores de los datos ya obtenidos previamente, se obtuvo los resultados para cada ecuación.

$$A_f = \frac{\pi (1,380 \ pulg)^2}{4}$$
 $A_f = 1,50 \ pulg2$

$$V = \frac{\left(9240 \frac{Lb}{h} * \frac{1h}{3600 seg}\right)}{\left(62,39 \frac{Lb}{pie3} * (1,50 \ pulg2 * \frac{1Pie2}{144Pulg2})\right)}$$

$$V = 3,95 \frac{pie}{seg}$$

$$\mathbf{7} = \frac{(35,60 \text{ °F} + 38,13 \text{ °F})}{2}$$

$$\mathbf{7} = 36,87 \text{ °F}$$

Con los datos de la velocidad (V) y temperatura media ($\bar{\tau}$) se ingresa a la gráfica del apéndice R y se obtuvo el valor de hi, el cual debe ser multiplicado por un factor de corrección (f_c) que depende del diámetro interior del tubo en uso.

$$h_i = 695 * f_c$$

$$h_i = 695 * 0.82$$

$$h_i = 569.90 \frac{BTU}{hvie2} ^{\circ}F$$

Puesto que h_i ha sido determinado para el área de transferencia de calor interna (A_i) y no para el área externa (A_o) ; esta debe ser corregida obteniendo el "Coeficiente pelicular del fluido interior corregido para el área exterior (h_{io}) ", el mismo que se obtiene mediante la ecuación 15.

$$h_{io} = h_i \left(\frac{\emptyset i}{\emptyset o} \right)$$
 Ec. 15

Dónde:

 h_{io} = Coeficiente de película interior corregido.

h_i= Coeficiente de película interior.

 \emptyset_i = Diámetro interior del tubo interior.

 \emptyset_o = Diámetro exterior del tubo interior.

Reemplazando los valores en la ecuación planteada, se obtuvo el valor de $m{h}_{io}$.

$$h_{io} = 569,90 \frac{BTU}{hpie2} \text{°F} \left(\frac{1,380 \ pulg}{1,66 \ pulg} \right)$$

$$h_{io} = 473,77 \frac{BTU}{hpie2} \text{°F}$$

Para el cálculo del h_o , se hace uso de la gráfica "Curva de Transferencia de calor de Tubos" (Sieder y Tate, 1936) del apéndice S, con la que se obtiene el "Factor de Transferencia de Calor" (J_h) y que representa la correlación de los coeficientes de transferencia de calor tanto para el calentamiento como para el enfriamiento en tubos horizontales y verticales, construyendo la mencionada curva a través de la ecuación 16, la cual con su respectivo despeje; y considerando que la relación entre la viscosidad del fluido interno y la viscosidad del fluido interno a la temperatura de la pared del tubo $(u/u_w)^{1/4}$ es igual a 1, se consigue la ecuación 17.

$$Jh = \left(\frac{h_o * D_e}{k}\right) \left(\frac{Cp * \mu}{k}\right)^{1/3} \left(\frac{\mu}{\mu_w}\right)^{0.14}$$
 Ec. 16

$$h_o = j_h * \left(\frac{k}{D_e}\right) \left(\frac{Cp * \mu}{k}\right)^{1/3}$$
 Ec. 17

Dónde:

 J_h = Factor de transferencia de calor.

k= Conductividad térmica del fluido interior.

D_e= Diámetro equivalente.

 C_p = Calor especifico del fluido interior.

 μ = Viscosidad del fluido interior.

Para el uso de la "Curva de Transferencia de Calor de Tubos", se debió hallar previamente el numero adimensional de Reynolds (*Re*); que se calcula para definir las características de flujo laminar, transición o turbulento de un fluido en una tubería, a través de la ecuación 18 y del "Diámetro Equivalente"(*De*); que se entiende como cuatro veces el valor del "Radio Hidráulico" que es a su vez, el radio de un tubo equivalente a la sección del anulo,²³ y que se calcula a través de la ecuación 19.

$$Re = \frac{(De * V * \rho)}{\mu}$$
 Ec.18
$$De = \frac{D_2^2 - D_1^2}{D_1}$$
 Ec.19

Dónde:

Re= Numero de Reynolds (adimensional).

*D*_e= Diámetro equivalente.

V= Velocidad de flujo en el tubo interior.

 ρ = Densidad del fluido interior.

 μ = Viscosidad del fluido interior.

D₂= Diámetro interior del tubo exterior.

 D_1 = Diámetro exterior del tubo interior.

Reemplazando los valores en las ecuaciones planteadas, se obtiene:

$$Re = \frac{(0,253 \ pie) \left(3,95 \frac{pie}{seg}\right) \left(62,39 \frac{Lb}{pie3}\right)}{1,0083 \times 10 - 3 \frac{Lb}{pie} \text{seg}}$$

$$Re = 61836,20$$

$$De = \frac{(2,469 \ pulg)^2 - (1,380 \ pulg)^2}{1,380 \ pulg}$$

$$De = 3,037 \ pulg * \left(\frac{1 \ pie}{12 \ pulg}\right)$$

$$De = 0,253 \ pie$$

Con el valor de Reynolds se ingresa en la gráfica "Curva de Transferencia de Calor de Tubos" del apéndice S y hallamos el valor de J_h .

$$Jh = 170 \frac{BTU}{hpie} ^{\circ} F$$

Reemplazando los valores en la ecuación 17, se encontró el coeficiente pelicular del anulo (h_o).

$$ho = 170 \frac{BTU}{hpie} \, ^{\circ}\text{F} * \left(\frac{0.322 \frac{BTU}{hpie} \, ^{\circ}\text{F}}{0.253 \, pie} \right) \left(\frac{1.0087 \frac{BTU}{Lb} \, ^{\circ}\text{F} * 1.0083 \times 10 - 3 \frac{Lb}{pie} \, seg}{0.322 \frac{BTU}{hpie} \, ^{\circ}\text{F}} \right)^{\frac{1}{3}}$$

$$ho = 31.745 \frac{BTU}{hpie} \, ^{\circ}\text{F}$$

Generalmente en sistemas compuestos; como intercambiadores de dos tubos concéntricos, donde el interior es muy delgado, se presentan resistencias de flujo tales como: resistencia de la película del fluido en el tubo, resistencia de la pared del tubo y resistencia de la película del fluido en el anulo. Estas resistencias en sistemas tubulares son convenientemente expresadas como un "Coeficiente Total de Transferencia de Calor" (U) y que despreciando la resistencia de la pared del tubo y considerando los coeficientes peliculares corregido (h_{io}) y del anulo (h_o), esta se conoce como "Coeficiente Total de Transferencia de Calor Limpio" $(\boldsymbol{U_c})^{23}$ y se calcula mediante la ecuación 20.

$$Uc = \frac{h_{io} * h_o}{h_{io} + h_o}$$
 Ec. 20

Reemplazando los valores calculados previamente, se obtuvo el U_c .

$$Uc = \frac{473,77 \frac{BTU}{hpie2} \text{°F} * 31,745 \frac{BTU}{hpie2} \text{°F}}{473,77 \frac{BTU}{hpie2} \text{°F} - 31,745 \frac{BTU}{hpie2} \text{°F}}$$

$$Uc = 29,75 \frac{BTU}{hpie2}$$
°F

Cuando los equipos de transferencia de calor han estado en servicio por tiempo extendido, se suelen depositar incrustaciones y basura en la parte interior y exterior de las tuberías, 23 las mismas que deben ser consideradas como factores de obstrucción para la transferencia de calor, reduciendo el valor original del "Coeficiente Total de Limpio"(U_c). Para Transferencia de Calor compensar eventualidad dentro del cálculo, se suele introducir una resistencia conocida como "Factor de Obstrucción" (R_d); la misma que brinda un nuevo valor de coeficiente total de transferencia de calor, conocido como "Coeficiente Total de Lodos" o "Coeficiente Total de Transferencia de Calor Sucio (U_D) y se calcula mediante la siguiente ecuación:

$$\frac{1}{U_D} = \frac{1}{U_c} + R_d$$
 Ec. 21

Para el cálculo del U_D , se consideró un factor de obstrucción R_d igual a 0,003 para "Agua de Compensación sin Tratar" según lo expuesto en la tabla "Factores de Obstrucción" del Apéndice T. Reemplazando los valores en la ecuación 21 se obtiene:

$$\frac{1}{U_D} = \frac{1}{29,75 \frac{BTU}{hpie2} \, {}^{\circ}F} + 0,003$$

$$U_D = 27,31 \frac{BTU}{hpie2}$$
°F

Como se definió al inicio de este cálculo, la diferencia de temperaturas (ΔT) entre los fluidos del sistema a contracorriente se expresaron a través de su Media Logarítmica de la Diferencia de Temperaturas (MLDT); e incluyendo esta junto con el coeficiente total sucio (U_D) en la ecuación 9, se obtiene la Ecuación de Diseño para nuestro sistema (Ecuación 22).

$$Q_s = U_D * Ao * MLDT$$
 Ec.22

Dónde:

Q_s= Calor de Intercambio entre los Fluidos del Sistema.

 U_D = Coeficiente Total de Transferencia de Calor Sucio.

A_o= Área de Transferencia de Calor.

MLDT= Media Logarítmica de la Diferencia de Temperatura.

Para el cálculo del Qs, se debió hallar previamente el "Área de Transferencia de Calor" (Ao) mediante la ecuación expuesta a continuación:

$$A_0 = \pi * D_0 * L \qquad \text{Ec.23}$$

Dónde:

 A_o = Área de Transferencia de Calor

 D_o = Diámetro externo del tubo interior (D₁).

L= Longitud Efectiva del Equipo Intercambiador de Calor.

Reemplazando los valores; con sus respectivas conversiones de unidades y longitud efectiva expresada en el apéndice O, se consigue el A_o .

$$A_o = \pi * (0,1383 \ pie) * (144 \ pie)$$

$$A_o = 62,56 \ pie2$$

Con los valores obtenidos de U_D , Ao y MLDT; se reemplaza en la ecuación 22 y se consigue determinar la capacidad de enfriamiento del equipo mediante el cálculo del Q_s .

$$Q_{S} = \left(27,31 \frac{BTU}{hpie2} \text{°F}\right) (62,56 \ pie2) (42,17 \ \text{°F})$$

$$Q_{S} = 72054,29 \frac{BTU}{h}$$

Con el resultado obtenido se pudo confirmar que el equipo intercambiador de calor usado tiene una capacidad de intercambio o captación de calor igual a 72,054.29 BTU/h frente a los 23,610.78 BTU/h que la bebida necesita perder. Dada la gran capacidad que tiene el equipo intercambiador presente en la planta, hace que las diferencias calor entre los productos que intercambian temperatura sean grandes; por lo que, con el fin de reducir el índice de subutilización del equipo enfriador, se procedió a calcular el flujo o caudal másico del agua de enfriamiento más idóneo para conseguir una reducción de esta diferencia. Así se construyó la tabla 24 que muestra que con un caudal de 2772 Lb/h se obtiene una capacidad de enfriamiento de 26175,35 BTU/h, lo que nos brinda un intercambio optimo con un mínimo de subutilización del equipo correspondiente al 9,80% respecto del calor que la bebida debe ceder al enfriarse.

TABLA 24.

CAUDALES ENSAYADOS Y SU CAPACIDAD

DE ENFRIAMIENTO.

CAUDAL MASICO	CAPACIDAD DE
AGUA ENFRIAMIENTO (Q _{mA})	ENFRIAMIENTO (Qs)
(Lb/h)	(BTU/h)
8316	67957,35
6468	59065,89
4620	42554,41
2772	26175,35

CAPÍTULO 4

4. REINGENIERÍA DEL PROCESO

4.1 DESCRIPCIÓN DEL NUEVO PROCESO

El eje central de la propuesta respecto a la reingeniería del proceso consistió fundamentalmente en llevar los procedimientos de cocción de harinas, aditivado de pasta de harinas y lacteado de la pasta aditivada (Chicha Tradicional) de batch a continuo, aumentando la vida útil del producto a un máximo de 15 días a través de la aplicación de un proceso térmico de pasteurización en marmita abierta, enfriamiento instantáneo, envasado aséptico y almacenamiento refrigerado.

A continuación se describen las diferentes etapas del nuevo proceso planteado:

COCCIÓN DE HARINAS.

PESADO.

Iniciamos el proceso productivo con el pesado y mezclado en seco de las harinas de arroz y trigo; debidamente justificado mediante la fórmula óptima hallada, que plantea una dosificación del 3,42% y 1,70% respectivamente para estos ingredientes.

PREHIDRATACIÓN DE HARINAS.

Esta mezcla de cereales es prehidratada con 20% del valor total de agua potable establecida en la formula optima y batida ligeramente en mezcladores de paletas industriales a 20 RPM por 15 minutos para su completa disolución y homogenización.

COCCIÓN DE HARINAS.

La mezcla de harinas es depositada para su cocción en una marmita de doble camisa; con calefacción por aceite térmico, y llevada a la carga total del lote deseado con un 20% adicional del agua de la fórmula. La cocción se realiza a una temperatura máxima de 75°C (167°F) por 43±1 minutos de proceso total o hasta obtener una lectura de consistencia igual a 17±1cm/30seg en una muestra en un equipo "Consistometro de Bostwick".

ADITIVADO.

PREMEZCLA DE ADITIVOS.

Mientras se cumple el proceso de cocción de harinas, se realiza la premezcla de los aditivos; acorde a lo que la fórmula óptima indica, adicionándolos a la mezcla en el mismo orden que en el proceso original y batidos en los mezcladores de paletas industriales a 40 RPM por 15±1 minutos.



FIGURA 4.1 MEZCLADORES INDUSTRIALES DE PALETAS

ADITIVADO Y MEZCLADO.

Una vez cumplido el tiempo de calentamiento de las harinas y su respectiva validación de la correcta cocción de la misma; a través de la lectura de su consistencia, se procede a adicionar la

premezcla de aditivos a la marmita para su cocción y homogenización.

SOLUBILIZACIÓN DE ADITIVADA.

Esta mezcla se procede a solubilizar con el saldo del agua total de la formula (60%) manteniendo su agitación constante a 12 RPM.

COCCIÓN DE ADITIVADA.

Esta mezcla aditivada es cocida en agitación constante a 12 RPM por 34±1 minutos a una temperatura máxima de 70°C (158°F) o hasta hasta obtener una lectura de consistencia igual a 15±1cm/30seg en una muestra en un equipo "Consistometro de Bostwick".

LACTEADO Y PASTEURIZACIÓN.

LACTEADO.

Cumplido el parámetro de consistencia por la aditivada cocida, procedemos a lactear la mezcla; en la dosis planteada por la formula optima, con leche cruda de vaca previamente homogenizada y aprobada por el departamento de control de

calidad como "apta para procesar" según la NTE INEN 0009:2012 LECHE CRUDA. REQUISITOS (Apéndice A).

PASTEURIZACIÓN.

Con el lacteado de la aditivada, se ha adicionado todos los ingredientes de la nueva formula por lo que se procede con el control del proceso de pasteurización de la mezcla, el cual según el estudio térmico realizado debe ser llevado a cabo en 11 minutos con una temperatura inicial de 60°C (140°F) y temperatura máxima de la retorta de 140°C (284°F).

ENFRIAMIENTO Y ENVASADO.

Verificado que los tiempos y temperaturas de pasteurización se hayan cumplido, se procede a enfriar el producto instantáneamente mediante el uso de un intercambiador de calor de tubo en tubo con un flujo de entrada de la bebida de 12,5Kg/min (1647Lb/h) a una temperatura de 98±3°C y flujo de entrada del agua de enfriamiento de 20,9Kg/min (2772Lb/h) a una temperatura de 2±1°C (35,6°F).

El producto es envasado en contenedores de acero inoxidable herméticamente sellados con capacidad de inyección de aire a presión máxima de 80PSI en presentaciones de 10, 12 y 15 Kg.



FIGURA 4.2 ENVASADO DE CONTENEDORES

ALMACENADO.

Los contenedores son registrados con su respectivo lote, fecha (de elaboración y vencimiento), peso (bruto y neto), operador responsable y muestreados al azar para la verificación de sus parámetros físico-químicos y microbiológicos. Finalmente son almacenados (cuarentena) en una cámara refrigerada por 24 horas a 5°C hasta su liberación por el departamento de control de calidad.

Los contenedores son despachados según la programación del departamento de ventas mediante una tabla dinámica que convierte las presentaciones de vasos de 8, 10 y 12 Oz proyectados a vender en los puntos a Kilogramos de bebida.

4.2 DIAGRAMA DE FLUJO.

Una vez descrito el nuevo proceso de producción de la Bebida Láctea de Arroz y Trigo Tradicional Pasteurizada, se adjunta el correspondiente Diagrama de Flujo para una mejor visualización del nuevo proceso planteado en el presente trabajo.

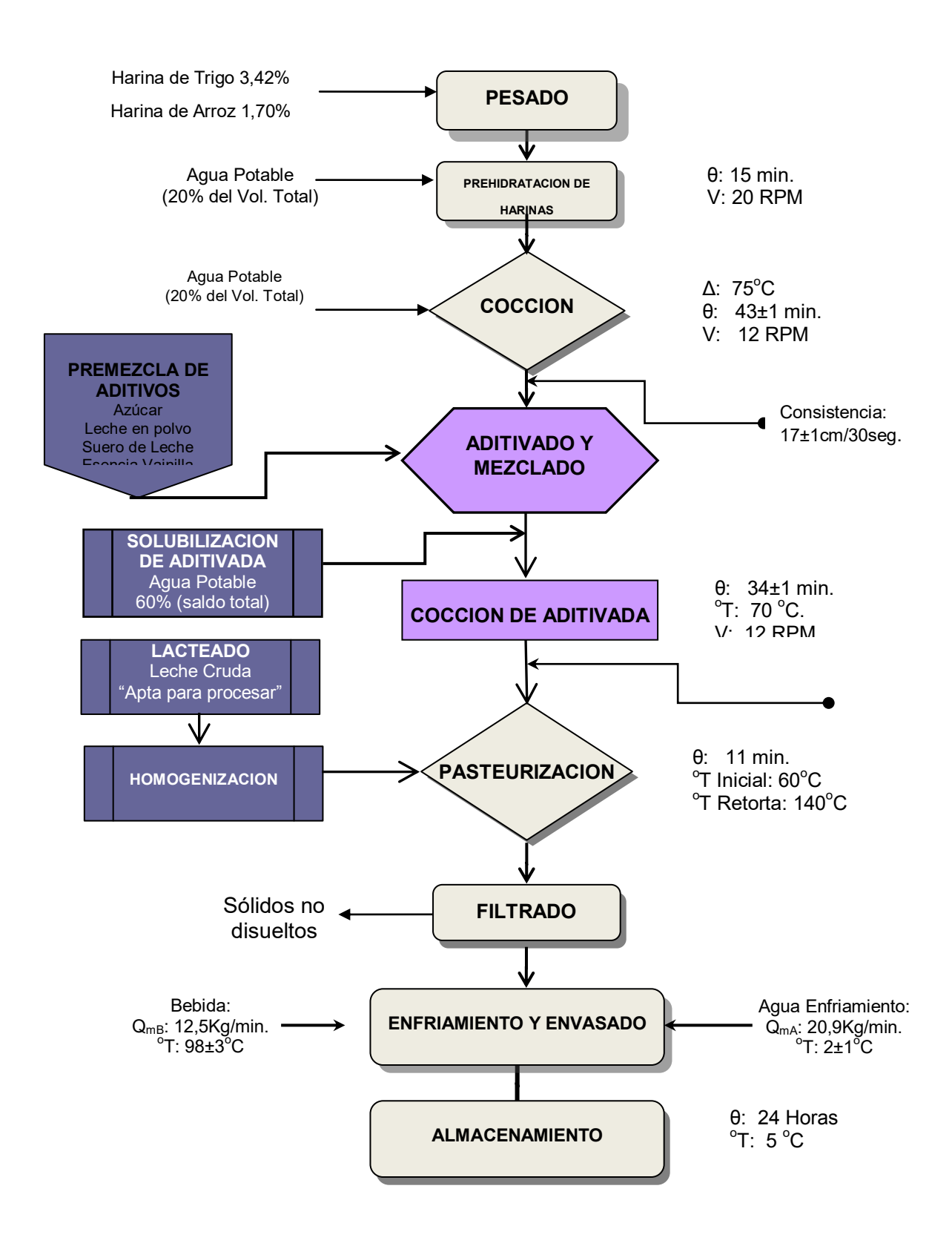
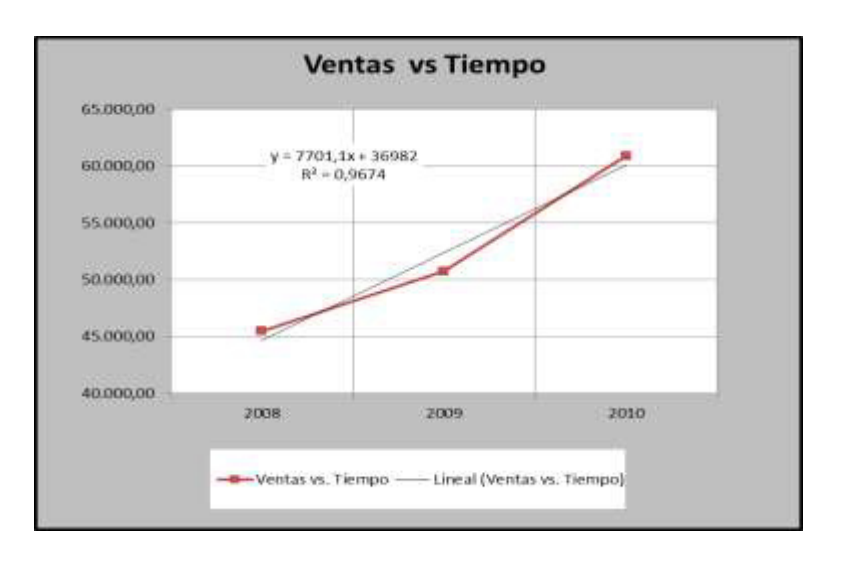


FIGURA 4.3 DIAGRAMA DE FLUJO CHICHA DE ARROZ Y TRIGO PASTEURIZADA.

4.3 CAPACIDAD DE PRODUCCIÓN.

Al ser el presente proyecto; un trabajo de reingeniería industrial real, es necesario para la determinación de la suficiencia en capacidad de producción de la planta y sus equipos, el estimar su demanda proyectada partiendo de datos reales del comportamiento de ventas para los años 2008, 2009 y 2010 del producto Bebida Láctea de Arroz y Trigo Tradicional.



Elaborado por: M. Moreno-G. Narea, 2014.

Figura 4.4

CURVA VENTAS vs TIEMPO

Con estos datos se construye una curva "Ventas (Kg) vs Tiempo" (años), cuya fórmula de la pendiente nos permite proyectar de manera ideal el comportamiento que tendrá nuestra demanda para

los años posteriores. De esta manera, con esta fórmula podemos construir una tabla de la demanda estimada y lotes requeridos por mes; basados en la capacidad instalada actual de 200Kg/Lote, hasta el 2030, la misma que se muestra a continuación.

TABLA 25.

DEMANDA ESTIMADA 2014-2030

	Años	Producción Requenda (Real)(Proyectada)Kg.	Tasa Crecimiento Consumo	Demanda Promedio Mensual (Kg)	# Lotes Requeridos mes
2008	1	45.500,00	0,00%	3,791,67	19
2009	2	50.751,83	11,54%	4.229,32	21
2010	3	60.902,20	20,00%	5.075,18	25
2014	7	90.889,70	49,24%	7.574,14	38
2015	8	98.590,80	8,47%	8.215,90	41
2016	9	106.291,90	7,81%	8,857,68	44
2017	10	113.993,00	7,25%	9.499,42	47
2018	11	121.694,10	6,76%	10.141,18	51
2019	12	129.395,20	6,33%	10.782.93	54
2020	13	137.096,30	5,95%	11,424,68	57
2021	14	144.797,40	5,62%	12.066,45	60
2022	15	152.498,50	5,32%	12.708.21	64
2023	16	160.199,60	5,05%	13.349,97	67
2024	17	167.900,70	4,81%	13.991.73	70
2025	18	175.601,80	4,59%	14.633,48	73
2026	19	183.302,90	4,39%	15.275.24	76
2027	20	191.004,00	4,20%	15.917,00	80
2028	21	198.705,10	4,03%	16.558,76	83
2029	22	206.406,20	3,88%	17 200.52	86
2030	. 23	214.107,30	3,73%	17.842.28	89

Elaborado por: M. Moreno-G. Narea, 2014.

Con las demandas proyectadas establecidas, se procede a comparar la capacidad instalada bajo las condiciones actuales de trabajo y productividad de la planta, para lo cual se construye la siguiente tabla.

TABLA 26.

CONDICIONES DE TRABAJO Y PRODUCTIVIDAD

ACTUALES

Escenario Actual (200Kg/Lote)				
# Horas/Turno	8			
# Turnos/día	2			
# Turnos Producción/día	1			
# Días Producción Promedio/Mes	21			
# Semanas Promedio/año	4			
# Horas Producción /Lote Bebida Pasteurizada	3.34			
# Lotes bebida Pasteurizada	0.0 .			
/Turno Producción	2.40			
Producción estimada(Kg) /Año	122,155.69			
Costo de Leche Líquida/Año	\$ 24,307.76			

Elaborado por: M. Moreno-G. Narea, 2014.

Analizando las tablas 25 y 26 del presente capitulo, podemos observar que técnicamente la capacidad instalada actual de la planta puede satisfacer la demanda hasta el 2018. Sin embargo, con el fin de brindar una solución integral al proceso de reingeniería, planteando ahorrar costos al utilizar leche cruda en lugar de leche pasteurizada comercialmente empacada, se propone en el presente trabajo aumentar la capacidad instalada de

la planta a 400Kg/Lote mediante la implementación de nuevos equipos tales como: marmita de doble camisa con agitación de superficie raspada, tanque enchaquetado de frio para leche cruda, homogenizador-mezclador de leche y válvula de envasado electrónico.

Con la implementación de estos equipos se puede estimar las nuevas condiciones de trabajo y productividad, las mismas que fueron calculadas a partir de las tablas de demandas proyectadas bajo la capacidad instalada actual y aumentada (Apéndice U) y esta última resumida en la tabla 27.

TABLA 27.

CONDICIONES DE TRABAJO Y PRODUCTIVIDAD

CAPACIDAD AUMENTADA.

Capacidad Aumentada (400Kg/Lote)				
# Horas/Turno	8			
# Turnos/día	2			
# Turnos Producción /día	1			
# Días Producción Promedio/Mes	21			
# Semanas Promedio /año	4			
# Horas Producción /Lote Bebida	2.24			
Pasteurizada # Lotes bebida Pasteurizada	3.34			
/Turno Producción	2.40			
Producción estimada(Kg) /Año	244800			
Costo de Leche Líquida/Año	\$ 18,943.85			

Elaborado por: M. Moreno-G. Narea, 2014.

Al analizar las tablas 25 y 27 se puede observar que los Kilos de productos satisfacen la demanda con la capacidad instalada aumentada; superando totalmente las proyecciones de demanda establecidas, lo que es técnicamente deseable ya que la planta se dedica a la producción de productos adicionales a la bebida láctea objeto de esta reingeniería.

4.4 ESTIMACIÓN DE COSTOS DE INVERSIÓN.

Las inversiones propuestas y los costos derivados de estas se centraran específicamente en los equipos que fueron propuestos en la sección anterior de este capítulo, los cuales permitirán aumentar la capacidad instalada de la planta y con esto satisfacer la demanda proyectada de manera extendida. Estos equipos para cada proceso y sus características se describen a continuación.

TABLA 28.
EQUIPOS PROPUESTOS REINGENIERIA.

EQUIPO	OS PARA CAPA	CIDAD INST	TALADA AUMENTA	ADA
PROCESO	EQUIPO	CAPACIDAD	CARACTERISTICAS	PRECIO COTIZADO (\$ U SD)
COCCION PASTEURIZACION	MARMITA DE DOBLE CAMISA CON AGITADOR DE SUPERFICIE RASPADA	400 Kg.	Marmita de doble camisa para aceite térmico con agitador de superficie raspada y motoreductor de 0,25HP a velocidad regulable.	\$8736,00
LACTEADO	TANQUE ENCHAQUETADO PARA FRIO EN ACERO INOXIDABLE	200 Kg.	Tanque enchaquetado para refrigerante de acero inoxidable con entrada y salida de 2 ⁻ y llave de paso de bola.	\$1366,40
	HOMOGENIZADOR DE LECHE DE ALTO CIZALIAMIENTO	0-1500Litros/h	Homogenizador- mezclador de liquidos de alto cizallamiento en acero inoxidable de capacidad 0-1,5m3/h	\$1535,99
ENVASADO	VALVULA ELECTRONICA DE ENVASADO	300 Litros/h	Sistema de envasado de valvula selenoide y control por plataforma con celdas de carga (Contador de peso)	\$924,00

Elaborado por: M. Moreno-G. Narea, 2014.

A través de la tabla 28 se determina que la inversión requerida para el proceso de reingeniería de este proyecto es de \$12,562.39 USD, los mismos que se pueden programar hasta el 2018 que es donde la capacidad instalada actual de la planta sería insuficiente. Las especificaciones técnicas de los equipos propuestos se encuentran enlistadas mediante las cotizaciones expuestas por una empresa ofertante en el apéndice V y la disposición de los mismos en el área de producción de la planta se lo propone a través del lay-out de la figura 4.5.

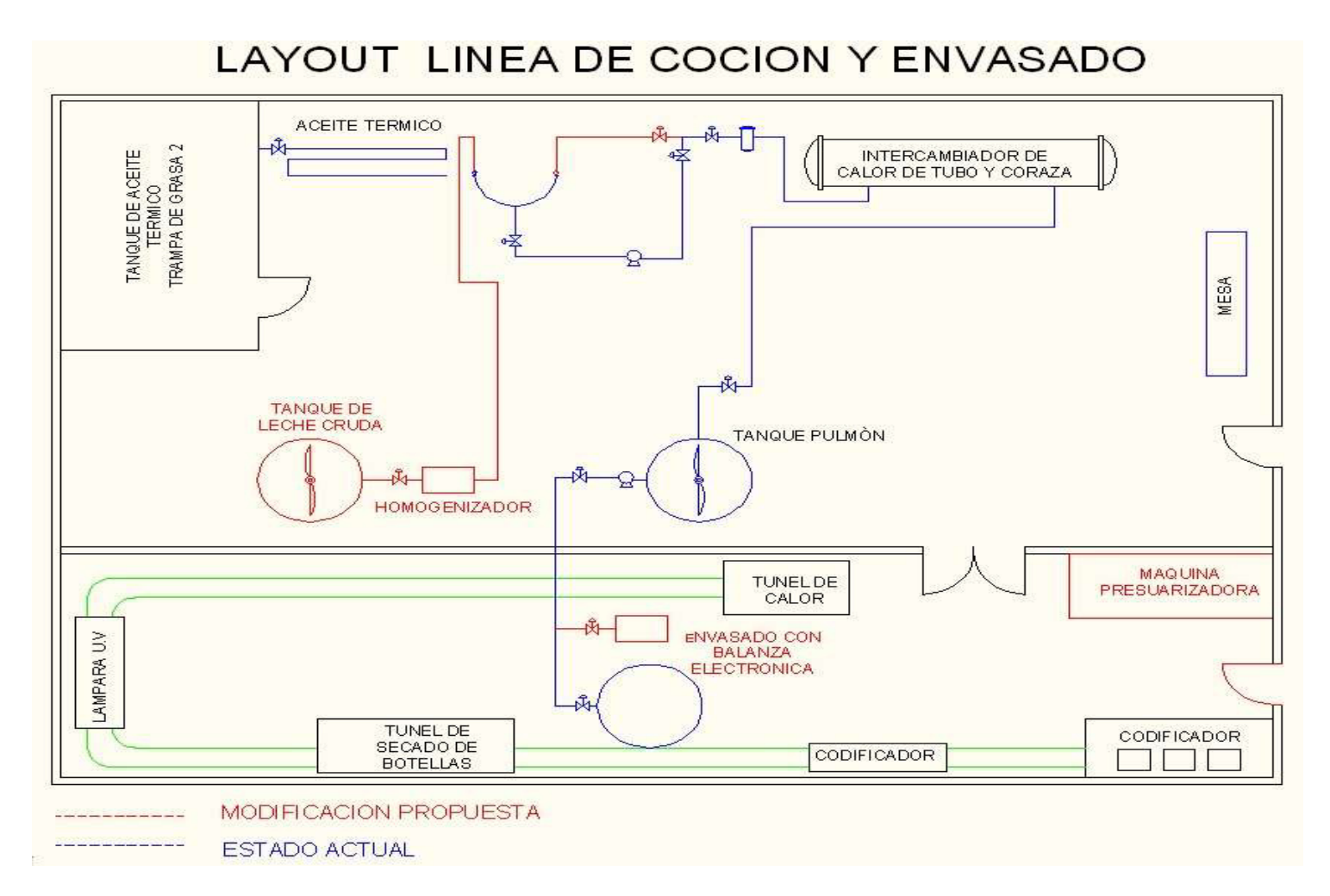


FIGURA 4.5

LAY-OUT PROPUESTO REINGENIERIA.

4.5 RESULTADOS DE LA APLICACIÓN DE LA REINGENIERÍA.

Como se planteó al inicio de este proyecto, el propósito general del mismo era el llevar un producto y su proceso de bacth a continuo mediante el desarrollo de una fórmula que mantenga las características sensoriales y físico-químicas similares al original, aumentando la vida útil del mismo mediante la aplicación de un proceso térmico de pasteurización y reduciendo los tiempos de procesamiento y disponibilidad de equipos y mano de obra para cada etapa. Los requerimientos de tiempo, equipos y mano de obra de las mencionadas etapas tanto para el proceso original (batch) como para el proceso planteado (continuo) se encuentran descritos de manera comparativa en la tabla 29.

A partir de esta tabla se puede resaltar los principales resultados obtenidos con la aplicación de la reingeniería propuesta tales como:

Reducción de los tiempos de proceso en la etapa de cocción de harinas de 310 minutos a 133 minutos.

Reducción de los tiempos de proceso por la implementación de la etapa de mezcla y cocción de aditivos de 416 minutos a 34 minutos.

Reducción de los tiempos de proceso por la implementación de la etapa de lacteado y pasteurización de 75 minutos a 32 minutos.

Reducción del tiempo de proceso total de 751 minutos a 214 minutos, lo que equivale a una optimización del 71,50% del tiempo del proceso con la reingeniería.

Optimización de la mano de obra con la reducción del número de operadores de 7 a 4 durante el proceso productivo total, con una equivalencia al valor actual de \$12,240.00 USD/año.

Reducción del costo de horas extras para el volumen de producción proyectado de 1,754.3 horas a 0 horas, con una equivalencia al valor actual de la hora laborada de \$ 9,940.81 USD/año, incluso con una ganancia de tiempo para realizar otras actividades.

Optimización del número de equipos usados de 11 a 4 durante el proceso productivo total.

Optimización de los costos por materias primas; al implementar en el proceso de lacteado el uso de leche cruda apta para procesar,

con un ahorro equivalente; al precio actual por litro de leche cruda, de \$ 11,052.64 USD/año.

Reducción de la merma en materia prima de 9,943 Kg a 758 Kg anualmente.

Incremento de la vida útil de la bebida pasteurizada a un máximo de 15 días calendario; bajo refrigeración a temperaturas ≤5°C, en completo cumplimiento de los parámetros físico-químicos y microbiológicos expuestos en las normas usadas como referencias (Apéndice A).

TABLA 29.

TABLA COMPARATIVA DE RESULTADOS

DE LA REINGENIERIA APLICADA

	TABLA COMPARATIVA RESULTADOS DE REINGENIERIA APLICADA			
Producción estimada año 2014 90,889.70 Kg.	ESCENARIO BATCH ARTESANAL	ESCENARIO CONTINUO (PASTEURIZADO)	ESCENARIO CAPACIDAD AUMENTADA	
Horas requeridas anuales para satisfacer producción	5,594.3	1,517.9	758.9	
Horas estimadas anuales para cubrir la demanda	3840	1920	960	
Costo por mano de Obra anual	\$ 28,560.00	\$ 16,320.00	\$ 16,320.00	
Costo por Horas Extras	\$ 9,940.81	\$ 0.00	\$ 0.00	
# Horas a favor anuales para realización de otras actividades	0	402.14	1,161.07	
# Equipos Requeridos/Lote	11	7	8	
Costo de Leche Liquida/Año	\$ 18,086.14	\$ 18,086.14	\$ 7,033.50	
Merma (Kg) Anuales (Desperdicios)	9943.3	758.9	758.9	

CAPÍTULO 5

5. CONCLUSIONES Y RECOMENDACIONES

Con la ejecución del proyecto de reingeniería se puede concluir que se alcanzó el desarrollo de una nueva fórmula que optimiza el consumo de materia prima; reproduciendo la viscosidad de la bebida artesanal, con una importante aceptación organoléptica, y con esta la implementación de un nuevo proceso productivo en línea que optimiza los recursos tanto energéticos como de mano de obra, extendiendo la vida útil de la bebida; por 15 días mínimo bajo refrigeración, a través de la aplicación de un proceso térmico de pasteurización en marmita abierta, diseñado específicamente para el producto y las condiciones actuales de la planta, validando desde el mismo la capacidad de enfriamiento del equipo intercambiador de

tubos de forma instantánea para permitir su inmediato envasado aséptico.

Finalmente, con el nuevo proceso establecido y a través de la proyección de la demanda estimada, se consiguió determinar que la capacidad de producción actual de la planta sería insuficiente a corto plazo, por lo que se propuso la implementación de nuevos equipos de mayor capacidad y su disposición en el área productiva; manteniendo un flujo de procesos continuo, con el fin de satisfacer la demanda de manera extendida y generando con esto una importante reducción de los costos de operación y producción.

Recomendaciones.

Se recomienda la implementación de un sistema de aire purificado, el mismo que garantice la inocuidad del producto al momento de ser inyectado en los contenedores.

Es importante que el proceso de aumento de capacidad instalada propuesto en el presente proyecto se lleve a cabo para no tener problemas de insatisfacción de demanda posteriores al 2018.

Una vez que se implementen los equipos en el proceso de aumento de capacidad instalada, se recomienda revalidar el estudio térmico efectuado en este proyecto con los nuevos equipos.

APÉNDICES

APÉNDICE A NORMAS TÉCNICAS ADOPTADAS

NORMA	PRODUCTO
NORMA TECNICA	HARINA DE ARROZ
COVENIN 2300-93	1era REVISION.
NORMA TECNICA ECUATORIANA INEN 0616:16	HARINA DE TRIGO. REQUISITOS.
NORMA TECNICA ECUATORIANA INEN 2585:2011	SUERO DE LECHE EN POLVO. REQUISITOS.
NORMA TECNICA ECUATORIANA INEN 0298:2011	LECHES EN POLVO Y CREMA EN POLVO. REQUISITOS.
NORMA TECNICA ECUATORIANA INEN 0009:2012	LECHE CRUDA. REQUISITOS.
NORMA TECNICA ECUATORIANA INEN 0010:2012	LECHE PASTEURIZADA. REQUISITOS.

NORMA	PRODUCTO			
NORMA TECNICA ECUATORIANA INEN 2564:2011	BEBIDAS LACTEAS. REQUISITOS.			
NORMA TECNICA	ROTULADO DE PRODUCTOS ALIMENTICIOS PARA CONSUMO HUMANO.			
ECUATORIANA	PARTE 2.			
INEN 1334-2:2011	ROTULADO NUTRICIONAL. REQUISITOS.			
NORMA CODEX	NORMA CODEX PARA ALIMENTOS			
STAN 074:1981	ELABORADOS A BASE DE CEREALES PARA			
REV.1 - 2006	LACTANTES Y NINOS PEQUENOS			

APÉNDICE B TABLA DE COMPOSICION NUTRICIONAL CHICHA DE ARROZ ECUADOR.

COMPOSICIÓN NUTRICIONAL

Base de Datos Internacional de Composición de Alimentos

CHICHA DE ARROZ

Ecuador

Por 100 gramos:

Nutrientes	Cantidad	
Energía	32	
Proteína	0.20	
Grasa Total (g)	0	
Colesterol (mg)	1	
Glúcidos	8.30	

Nutrientes	Cantidad
Fibra (g)	0.10
Calcio (mg)	17
Hierro (mg)	0.40
Yodo (µg)	122
Vitamina A (mg)	0

Nutrientes	Cantidad
Vitamina C (mg)	0
Vitamina D (µg)	-
Vitamina E (mg)	0
Vitam. B12 (µg)	-
Folato (µg)	0

Fuente: Base de datos internacional de composición de alimentos. Chicha de arroz, Ecuador. FUNIBER.

APENDICE C MATRIZ ORDENADA DE EXPERIMENTOS

EXPERIMENTOS	NIVELES			RESULTADOS VISCOSIDAD
	%H.A	%H.T	%L.p	cPs
V1	1	1	1	222.14
V2	1	1	1	219.25
V3	1	1	-1	203.15
V4	1	1	-1	208.67
V5	1	-1	1	171.56
V6	1	-1	1	168.87
V7	1	-1	-1	171.05
V8	1	-1	-1	169.80
V9	-1	1	1	149.70
V10	-1	1	1	149.38
V11	-1	1	-1	146.73
V12	-1	1	-1	147.15
V13	-1	-1	1	136.11
V14	-1	-1	1	136.43
V15	-1	-1	-1	130.68
V16	-1	-1	-1	131.01

Elaborado por: Miguel Moreno-Geovanni Narea, 2014.

APENDICE D

FICHAS DE RESPUESTA PRUEBA TRIANGULAR Y PREFERENCIA.

RESULTADOS EVALUACION SENSORIAL							
ASUNTO	Prueba de Comparacion por Pares						
Producto	Bebida Tradicional Pasteurizada Comel			lius			
Hoja de Respue	estas:						
Nombre:							
Area:							
Fecha:			Hora:				
Instrucciones							
Frente a usted	tiene una mu	estra patron	marcada com	o P y 2 muest	ras codificada	as	
aleatoriamente	e. Una muestr	a con codigo	aleatorio es i	dentica a P y	la otra difere	nte.	
Cual de las mue	estras codifica	adas aleatoria	amente es dif	ferente a P.?			
	Muestras		Registre la	Diferente			
	557						
	248						
	Patron (P)						
De las muestra	s coditicada a	leatoriament	te, seleccione	su preterida			
		Codigo					
Comentarios:							
Nota: Pruebe la	s muestras e	ntrentandola	is a la muestr	a patron cunt	as veces sea i	necesario	

APENDICE E CUADROS DE RESPUESTA PRUEBA TRIANGULAR Y PREFERENCIA.

TABLA DE RESPUESTAS PRUEBA TRIANGULAR						
	CORRIDA 1	CORRIDA 2	CORRIDA 3	RESUL [*]	TADOS	
PANELISTA	DIFERENTE	DIFERENTE	DIFERENTE	ACIERTOS		
1	657	783	579	3	0	
2	657	783	786	2	1	
3	657	783	579	3	0	
4	248	783	786	1	2	
5	248	965	786	0	3	
6	248	965	579	1	2	
7	657	965	579	2	1	
8	248	965	579	1	2	
9	657	965	786	1	2	
10	657	783	786	2	1	
	16	14				

TABLA DE ASIGNACION DE CODIGOS CON MUESTRAS				
	COMBINACION DE MUESTRAS CODIGOS ASIGNADOS			
# CORRIDAS	BD BT			
CORRIDA 1	657	248		
CORRIDA 2	783 965			
CORRIDA 3	579	786		

	TABLA DE RESPUESTAS PREFERENCIA						
	CORRIDA 1	CORRIDA 2	CORRIDA 3	RESUL	TADOS		
PANELISTA	PREFERIDA	PREFERIDA	PREFERIDA	Aciertos	Errores		
1	657	783	579	3	0		
2	657	783	579	3	0		
3	248	783	786	1	2		
4	248	965	786	0	3		
5	657	783	579	3	0		
6	248	783	579	2	1		
7	657	783	786	2	1		
8	248	965	579	1	2		
9	657	783	579	3	0		
10	248	965	579	1	2		
	TOTAL 19 11						

APENDICE F # JUICIOS CORRECTOS PARA PRUEBA TRIANGULAR

PRUEBA TRIANGULAR

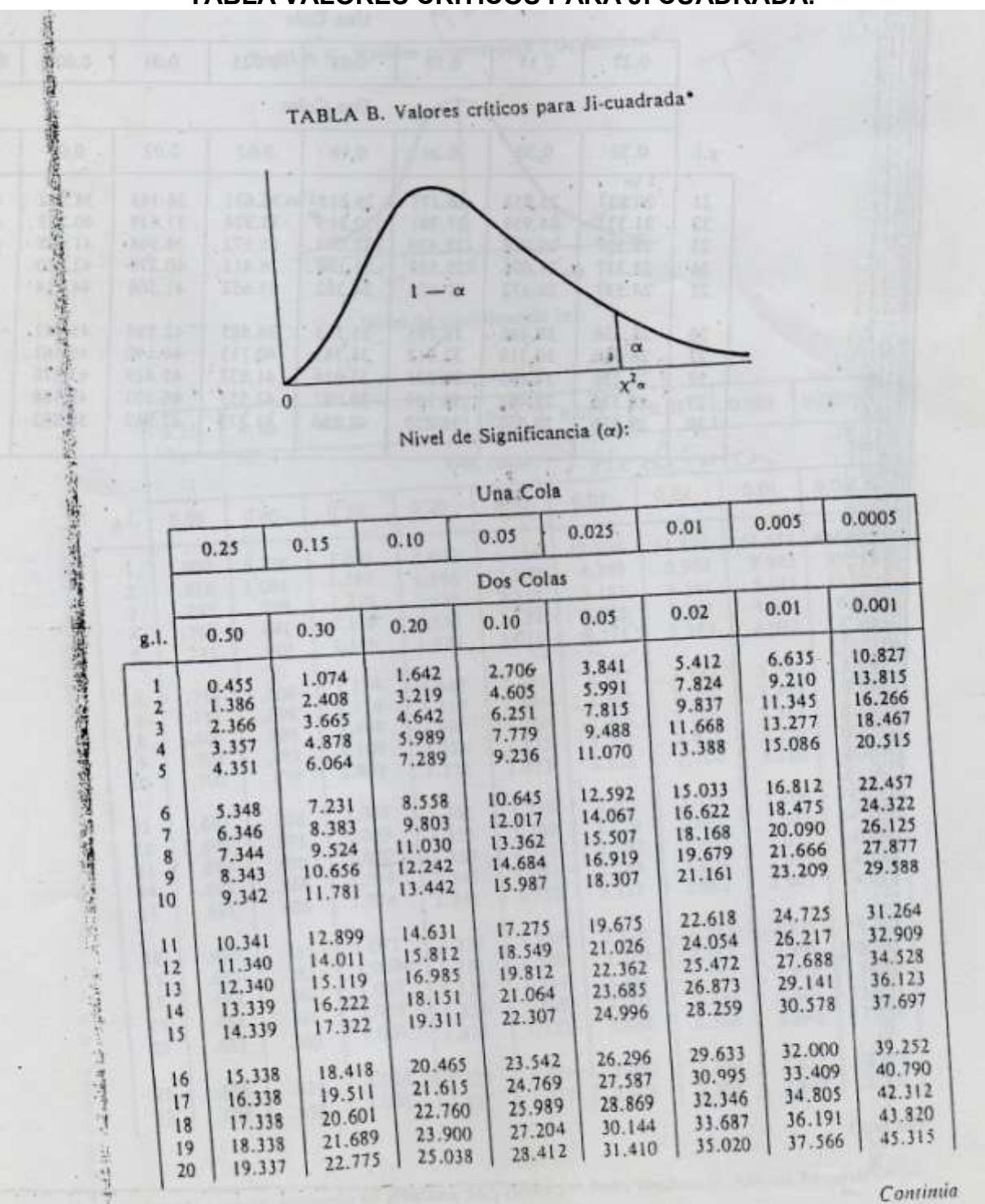
NUMERO DE RESPUESTAS CORRECTAS NECESARIAS PARA ESTABLECER SIGNIFICANCIAS

NUMERO DE PROBADORES MARGENES DE CONFIANZA (5, 1 è 0,1 POSIBILIDADES SOBRE 100 PARA EQUIVOCARSE EN LA INTERPRETACION

_	-	_
-	26	
	27	
	28	
	29	
	30	
	26 27 28 29 30 31	
	32	
	33	
	34	
	35 . 36 37	
1	. 36	
3	37	
	38	
	39	
	40	
	41	
-	42	
E E	43	
-	44	
	45	
	46	
-	47 48	
	49	
	50	

5%	1%	0.1%
14	15	17
14	16	18
15	16	18
15	17	19
15	17	19
16	18	20
16	18	20
17	18	21
17	19	21
17	19	22
18	20	22
18	20	22
19	21	23
19	21	23
19	21	24
20	22	24
20	23	25
21	23	25
21	23	25
22	24	26
22	24	26
23	24	27
23	25	27
23	25	28
24	26	28

APENDICE G TABLA VALORES CRITICOS PARA JI CUADRADA.

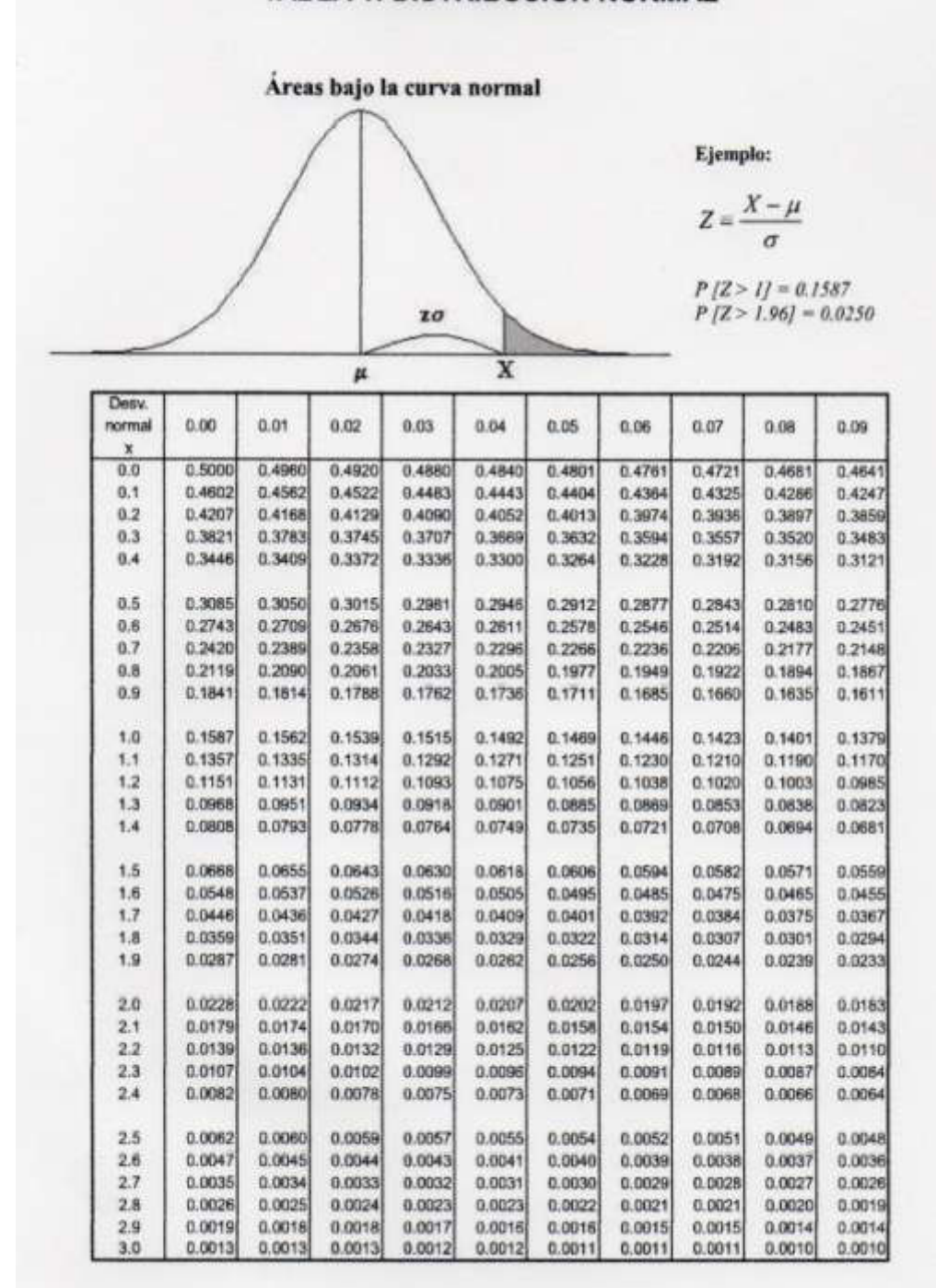


Continua

eine seerite nor R.W. Washam H. Atmour Research Center.

APENDICE H TABLA DISTRIBUCION NORMAL ESTANDAR (z)

TABLA 1: DISTRIBUCIÓN NORMAL



APENDICE I TABLA DE SIGNIFICANCIA TRIANGULAR

TABLA F.3. Número mínimo de juicios correctos para establecer significancia a varios niveles de probabilidad para pruebas triangulares (una cola, p=1/3).

itum, ue	***	5/2		Niveles (le probabi	lidad 🌾		0,1%	
7	Núm. de ensayos (n)		0.04	0.03	0.02	0.01	0.005		
7	5 -	4	5	5	5	5	5		
7	6	5	5		5	6	6		
9 6 7 7 7 7 8 8 8 9 10 11 7 7 8 8 8 9 9 10 12 8 8 8 8 8 9 9 9 10 13 8 8 8 9 9 9 10 14 9 9 9 9 10 10 10 10 11 15 9 9 10 10 10 10 11 11 15 9 9 10 10 10 10 11 11 16 9 10 10 10 11 11 12 16 9 10 10 10 11 11 12 17 10 10 10 10 11 11 12 18 10 11 11 11 12 12 13 18 10 11 11 11 12 12 13 19 11 11 11 12 12 13 19 11 11 11 12 12 13 19 20 11 11 11 12 12 13 21 12 12 12 13 13 13 14 22 12 12 13 13 13 14 15 23 12 13 13 13 14 15 24 13 13 13 13 14 15 15 25 13 14 14 14 15 15 16 17 26 14 14 14 14 15 15 16 17 26 14 14 14 15 15 16 17 27 14 14 15 15 16 17 28 15 15 15 16 16 17 29 15 15 16 16 17 18 29 15 15 16 16 17 18 31 16 16 16 17 17 18 31 16 16 16 17 17 18 31 16 16 16 17 17 18 31 16 16 16 17 17 18 31 16 16 16 17 17 18 31 17 17 17 18 18 19 20 32 16 16 16 17 17 18 18 31 17 17 17 18 18 19 20 32 33 17 17 17 18 18 19 20 33 17 17 18 18 19 19 20 21 34 17 17 17 18 18 19 20 22 22	7	5	6	6	6	6	7	7	
9 6 7 7 7 7 8 8 8 9 10 11 7 7 8 8 8 9 9 10 12 8 8 8 8 8 9 9 9 10 13 8 8 8 9 9 9 10 14 9 9 9 9 9 10 10 10 11 15 9 9 10 10 10 10 11 11 15 9 9 10 10 10 11 11 12 16 9 10 10 10 11 11 12 17 10 10 10 10 11 11 12 18 10 11 11 11 12 12 13 18 10 11 11 11 12 12 13 19 11 11 11 12 12 13 13 19 11 11 11 12 12 13 13 19 20 11 11 11 12 12 13 13 21 12 12 13 13 13 14 14 22 12 12 13 13 13 14 15 23 12 13 13 13 14 14 15 24 13 13 13 13 14 15 16 25 13 14 14 14 15 15 16 17 26 14 14 14 14 15 15 16 17 26 14 14 14 15 15 16 17 27 14 14 15 15 16 17 28 15 15 15 16 16 17 18 29 15 15 15 16 16 17 18 29 15 15 15 16 16 17 18 31 16 16 16 17 17 18 31 16 16 16 17 17 18 31 16 16 16 17 17 18 31 16 16 16 17 17 18 31 17 17 17 18 18 19 20 32 16 16 16 17 17 18 19 33 17 17 17 18 18 19 20 34 17 17 17 18 18 19 20 21 33 17 17 18 18 19 20 22 22	8		6	6	6	7	7	8	
10 7 7 7 7 7 8 8 8 9 9 11 7 7 8 8 8 9 9 12 8 8 8 8 8 9 9 9 10 13 8 8 8 9 9 9 10 14 9 9 9 9 9 10 10 10 15 9 9 10 10 10 10 11 11 15 9 10 10 10 11 11 12 16 9 10 10 10 11 11 12 17 10 10 10 10 11 11 12 13 18 10 11 11 11 12 12 12 13 19 11 11 11 12 12 12 13 19 11 11 11 12 12 12 13 19 11 11 11 12 12 13 13 14 20 11 11 11 12 12 13 13 14 21 12 12 12 13 13 14 22 12 12 13 13 14 14 21 22 12 13 13 13 14 15 16 23 12 13 13 13 14 15 16 24 13 13 13 13 14 15 15 16 25 13 14 14 14 15 15 16 17 26 14 14 14 15 15 16 17 27 14 14 14 15 15 16 17 28 15 15 16 16 17 18 29 15 15 16 16 17 17 18 28 15 15 15 16 16 17 17 18 29 15 15 16 16 17 17 19 30 15 16 16 16 17 17 18 31 16 16 16 17 17 18 31 16 16 16 17 17 18 31 16 16 16 17 17 18 31 16 16 16 17 17 18 31 16 16 16 17 17 18 31 17 17 17 18 18 19 20 33 17 17 17 18 18 19 20 31 34 17 17 17 18 18 19 20 21 33 17 17 17 18 18 19 20 22 22	9		7	7	.7	7	8	- 8	
12 8 8 8 8 9 9 10 11 13 8 8 9 9 9 9 10 11 14 9 9 9 9 9 10 10 11 11 15 9 9 10 10 10 11 11 12 16 9 10 10 10 11 11 12 13 18 10 11 11 11 11 12 12 13 19 11 11 11 12 12 13 14 20 11 11 12 12 13 13 14 21 12 12 13 13 14 15 15 22 12 12 13 13 14 14 15 16 23 12 13 13 14 15 16 17 24 13 13 14 14 14 14 15 15 16 17 25 13 14 14 14 15 15 16 17 18 <td>10</td> <td>7</td> <td>7</td> <td>7</td> <td>7</td> <td>8</td> <td>8</td> <td>9-</td> <td></td>	10	7	7	7	7	8	8	9-	
13 8 8 9 9 9 10 11 14 9 9 9 9 10 10 11 15 9 9 10 10 10 11 11 16 9 10 10 10 11 11 12 13 17 10 10 10 11 11 12 12 13 18 10 11 11 11 12 12 13 19 11 11 11 12 12 13 14 20 11 11 12 12 13 13 14 21 12 12 12 13 13 14 15 22 12 12 13 13 14 14 15 16 23 12 13 13 13 14 15 16 17 24 13 13 13 14 15 16 17 25 13 14 14 14 15 15 16 17 27 14 14 14 15 15 16 <td>11</td> <td>7</td> <td>- 7</td> <td>8</td> <td>8</td> <td></td> <td>9</td> <td></td> <td></td>	11	7	- 7	8	8		9		
14 9 9 9 9 10 10 10 11 12 16 9 10 10 10 11 11 12 12 17 10 10 10 11 11 12 13 18 10 11 11 11 12 12 13 14 19 11 11 11 11 12 12 13 14 14 20 11 11 12 12 13 13 14 15 21 12 12 12 13 13 14 14 15 15 16 22 12 12 13 13 13 14 14 15 16 16 23 12 13 13 13 14 15 16 16 24 13 13 13 14 15 16 17 25 13 14 14 14 15 15 16 17 27 14 14 14 15 15 16 17 18 28 15 15 16 16 <	12		8	8	8	9	9		
15 9 9 10 10 10 11 12 16 9 10 10 10 11 11 12 17 10 10 10 11 11 12 13 18 10 11 11 11 11 12 12 13 14 19 11 11 11 12 12 12 13 14 14 20 11 11 12 12 13 13 14 15 21 12 12 12 13 13 14 15 15 22 12 12 13 13 14 14 15 16 23 12 13 13 14 15 16 16 24 13 13 13 14 15 15 16 17 25 13 14 14 14 15 15 16 17 26 14 14 14 15 15 16 17 18 28 15 15 16 16 17 18 19 29 <		8	8	9	9		10	11	
16 9 10 10 10 11 11 12 17 10 10 10 11 11 12 13 18 10 11 11 11 11 12 12 13 19 11 11 11 11 12 12 13 14 20 11 11 12 12 12 13 13 14 15 21 12 12 12 13 13 14 15 15 22 12 12 13 13 14 14 15 15 23 12 13 13 13 14 15 16 16 24 13 13 13 14 15 15 16 17 25 13 14 14 14 15 15 16 17 27 14 14 14 15 15 16 17 18 28 15 15 15 16 16 17 18 18 29 15 15 16 16 17 17 18 19	14	9	9	9	9	10	10	- 11	
17 10 10 10 11 11 12 13 18 10 11 11 11 12 12 13 19 11 11 11 11 12 12 13 14 20 11 11 12 12 13 13 14 15 20 11 11 12 12 13 13 14 15 21 12 12 12 13 13 14 14 15 15 22 12 12 13 13 13 14 14 15 15 16 23 12 13 13 13 14 15 15 16 24 13 13 13 14 15 15 16 17 25 13 14 14 14 14 15 15 16 17 26 14 14 14 15 15 16 17 18 28 15 15 15 16 16 17 18 29 15 15 16 16 17 17	15	9	9	10	10	10	11	12	
17 10 10 10 11 11 12 13 18 10 11 11 11 12 12 13 19 11 11 11 11 12 12 13 14 20 11 11 12 12 13 13 14 15 21 12 12 12 13 13 14 14 15 22 12 12 13 13 14 14 15 16 23 12 13 13 13 14 15 16 16 24 13 13 13 14 15 15 16 17 25 13 14 14 14 14 15 15 16 17 26 14 14 14 15 15 16 17 18 28 15 15 15 16 16 17 18 29 15 15 16 16 17 17 19 30 15 16 16 17 17 18 19 31 16	16	9	10	10	10	- 11	11-	12	
18 10 11 11 11 12 12 13 19 11 11 11 12 12 13 14 20 11 11 12 12 12 13 14 21 12 12 12 13 13 14 15 22 12 12 13 13 14 14 15 23 12 13 13 13 14 15 16 24 13 13 13 14 15 16 17 25 13 14 14 14 15 16 17 25 13 14 14 15 15 16 17 26 14 14 14 15 15 16 17 27 14 14 15 15 16 17 18 28 15 15 15 16 17 18 19 29 15 15 16 16 17 17 18 19 30 15 16 16 17 17 18 19 20	17		10	10	11	11	12	13	
19 11 11 11 12 12 13 14 20 11 11 12 12 13 13 14 21 12 12 12 13 13 14 15 22 12 12 13 13 14 14 15 16 23 12 13 13 13 14 15 16 16 24 13 13 13 14 15 15 16 17 25 13 14 14 14 15 15 16 17 26 14 14 14 15 15 16 17 18 28 15 15 15 16 16 17 18 29 15 15 16 16 17 17 18 29 15 15 16 16 17 17 19 30 15 16 16 17 17 18 19 31 16 16 16 17 18 19 20 33 17 17 17 18 18	18	10	11	11 -		12	12		
20	19	11	11	11	12	12	13	14	
22 12 12 13 13 14 14 15 16 23 12 13 13 13 14 15 16 17 24 13 13 13 14 15 15 16 17 25 13 14 14 14 15 15 16 17 26 14 14 14 15 15 16 17 18 27 14 14 15 15 16 17 18 28 15 15 15 16 16 17 18 29 15 15 16 16 17 17 18 29 15 15 16 16 17 17 19 30 15 16 16 17 17 18 19 31 16 16 16 17 18 18 19 20 33 17 17 17 18 18 19 20 21 34 17 17 18 18 19 20 22 36 18 18 18		11	11	12	12		. 13	14	eti
22 12 12 13 13 14 14 15 16 23 12 13 13 13 14 15 16 16 24 13 13 13 14 15 15 16 17 25 13 14 14 14 15 15 16 17 26 14 14 14 15 15 16 17 18 27 14 14 15 15 16 17 18 28 15 15 15 16 16 17 18 29 15 15 16 16 17 17 18 29 15 15 16 16 17 17 19 30 15 16 16 17 17 19 30 15 16 16 17 17 18 19 31 16 16 17 17 18 19 20 32 16 16 17 17 18 18 19 20 21 34 17 17 18 18		12	12	12	13	13	14	15	112%
23		12		13	13	14	14	15	
25		12	13	13		14	15	16	
26	24	13	13	13	14		15	16	
27 14 14 15 15 16 17 18 28 15 15 15 16 16 17 18 29 15 15 16 16 17 17 19 30 15 16 16 16 17 18 19 19 31 16 16 16 17 18 18 20 32 16 16 17 17 18 19 20 33 17 17 17 18 18 19 20 34 17 17 18 18 19 20 21 35 17 18 18 19 19 20 22	25	13	14	14	14	15	. 16	17	
27 14 14 15 15 16 17 18 28 15 15 15 16 16 17 18 29 15 15 16 16 17 17 19 30 15 16 16 16 17 18 19 19 31 16 16 16 17 18 18 20 32 16 16 17 17 18 19 20 33 17 17 17 18 18 19 20 34 17 17 18 18 19 20 21 35 17 18 18 19 19 20 22	26	14	14	14	15	15	16	17	
29 15 15 16 16 17 17 19 30 15 16 16 16 17 18 19 31 16 16 16 17 18 18 20 32 16 16 17 17 18 19 20 33 17 17 17 18 18 19 21 34 17 17 18 18 19 20 21 35 17 18 18 19 19 20 22	27		14		15	16	17	19	
29 15 15 16 16 17 17 19 30 15 16 16 16 17 18 19 31 16 16 16 17 18 18 20 32 16 16 17 17 18 19 20 33 17 17 17 18 18 19 21 34 17 17 18 18 19 20 21 35 17 18 18 19 19 20 22	28				16	16	17	10	
30 15 16 16 16 17 18 19 30 31 16 16 16 17 18 18 20 32 16 16 16 17 17 18 19 20 33 17 17 17 18 18 18 19 21 34 17 17 18 18 19 20 21 35 17 18 18 19 19 20 22 36 18 18 18 19 20 22 36 36 18 18 18 19 20 20 22	29			16		17	17	19	
32 16 16 17 17 18 19 20 33 17 17 17 18 18 19 21 34 17 17 18 18 19 20 21 35 17 18 18 19 19 20 22 36 18 18 18 19 20 20 22	30	15			16	17	18	19	e.
32 16 16 17 17 18 19 20 33 17 17 17 18 18 19 21 34 17 17 18 18 19 20 21 35 17 18 18 19 19 20 22 36 18 18 18 19 20 20 22	31	16	16	16	17	18	18	20	
33 17 17 17 18 18 19 21 34 17 17 18 18 19 20 21 35 17 18 18 19 19 20 22 36 18 18 18 19 20 20 22	32	16	16	17	7.7	18	19		
34 17 17 18 18 19 20 21 35 17 18 18 19 19 20 22 36 18 18 18 19 20 20 22			17	17				21	
35 17 18 18 19 19 20 22 36 18 18 18 19 20 20 22		17							
36 18 18 18 19 20 20 22 37 18 18 19 19 20 21 22		17		18	19	19		22	
37 18 18 19 19 20 21 22	16	18	18	18	19	20	20	77	
27 10 10 17 17 17 18	37	18	18			20	21	77	
	21	10	1,19	17	1300	617	.41	44	

[•] Valures (s) que no aparezcan en esta tabla pueden calcularse de: $y = 0.4714 z \times n + f(2n + 3) / 6$.

APENDICE J DATOS DEL PROCESO TERMICO

	Hora diaria	θ Transcurrido	θ Acumulado	Δ Tiempo Acumulado (min)	Temperatura 20cm (oC)	Temperatura 20cm (oF)	Lectura Consistometro (cm/30seg)	Tiempo de Proceso/Etapa (min)
	12:24	0:00	0:00		50	122		
as	12:27	0:03	0:03		58	136,4		
arin	12:33	0:06	0:09		60	140		
Ξ̈́	12:39	0:06	0:15		65	149	10,4	
Si	12:47	0:08	0:23		64	147,2		
Coccion Harinas	12:53	0:06	0:29		68	154,4	10,8	
	13:02	0:09	0:38		73	163,4		
	13:07	0:05	0:43		75	167	16,5	0:43
	13:08	0:01	0:44					
sa os	13:12	0:04	0:48		63	145,4		
Mezcla Aditivos	13:27	0:15	1:03		67	152,6		
≥ b	13:42	0:15	1:18		69	156,2	15,0	0:34
	13:45	0:03	1:21					
	13:45	0:00	1:21	0:00	40	104		
ā	13:48	0:03	1:24	0:03	48	118,4		
nte	13:51	0:03	1:27	0:06	52	125,6		
e E	13:54	0:03	1:30	0:09	56	132,8		
ech	13:57	0:03	1:33	0:12	60	140		
ión (Le cruda)	14:00	0:03	1:36	0:15	64	147,2		
ión cru	14:03	0:03	1:39	0:18	72	161,6		
Pasteurización (Leche Entera cruda)	14:06	0:03	1:42	0:21	84	183,2		
uri	14:09	0:03	1:45	0:24	98	208,4		
ste	14:12	0:03	1:48	0:27	118	244,4		0:27
<u>~</u>								

APENDICE K GUIA PROCEDIMIENTO DE ANALISIS DETERMINACION DE POTENCIAL HIDROGENO (pH).

	GUIA PROCEDIMIENTOS		cópigo:	MC/GP-A/FQ- A02
			REVISION:	18-05-09
			FECHA:	18-05-09
			PAGINA:	1
ASEGURAMIENTO DE LA CALIDAD		DETERMINACION DE POTENC HIDROGENO (pH)		and the second second second

 Objetivo: Determinar el valor de potencial de Hidrógeno o concentración de hidrogeniones de una muestra para calificarla como ácida, básica o neutra al sumergir el electrodo de un pHmetro calibrado en dicha muestra y registrar el valor.

Fundamento: Este método se basa en que al introducir en una muestra, una celda electrolítica compuesta por 2 electrodos que desarrollan un voltaje que es proporcional a la concentración de iones hidrogeno presentes en la muestra, la cual es expresada en unidades de pH.

Valores de pH:

El valor 7 es un pH neutro.

Valores inferiores de 7 se catalogan como ácidos.

Valores superiores de 7 se catalogan como básicos.

2 Alcance

Aplica a la materia prima y producto terminado.

Materiales:

- pHmetro con soluciones buffer de pH 4 y 7
- Piceta de 100 ml
- Vaso de precipitación de 200 ml
- Balanza semianalitica de precisión de 0,1g.
- Papel filtro para filtración rápida.
- Pipeta volumetrica
- Agua destilada

3. Procedimiento:

a. Preparación de la muestra.

Alimentos líquidos: Se toman 50cm³ de muestra, se homogeniza y atempera 25°C.

Alimentos sólidos o semisólidos: Se pesan 10g. de muestra en un vaso de precipitación de 200ml., y se le agrega 90ml de agua destilada libre de CO₂, se homogeniza la suspensión hasta que quede libre de grumos. Se filtra la suspensión y se atempera a 25°C.

b. Determinación:

Calibrar el pHmetro con soluciones buffer pH 4 y pH 7 con agua destilada.

MANUALDE CALIDAD
GUIA PROCEDIMIENTOS
DE ANALISIS

	cópigo:	MCIGP-A/FQ- A02
١	REVISION:	18-05-09
	FECHA:	18-05-09
	PAGINA:	1

ASEGURAMIENTO DE LA CALIDAD

DETERMINACION DE POTENCIAL HIDROGENO (pH)

- Antes de pesar la muestra homogenizada bien. Si es una muestra sólida, triturada bien en un mortero.
- Tomar 50cm3 de muestra liquida, homogenizarla y atemperarla a 20oC±3oC
- Homogenizar bien la muestra.
- Introducir el electrodo en la muestra y registrar la lectura. Anotaría.
- Reportar este valor como pH de la muestra.

Calibración del pHmetro:

- Lavar el electrodo con agua destilada esparcida desde una piceta.
- Secar con papel toalla el electrodo.
- Introducir el electrodo en la solución buffer con pH 4.
- Tomar la lectura en el momento que el equipo marque "READY.
- Lavar con agua destilada el electrodo.
- Secar el electrodo.
- Introducir el electrodo a la solución buffer con pH 7.
- Tomar la lectura en el momento que el equipo marque "READY"
- Lavar el electrodo con agua destilada.
- Secar el electrodo.
- Proceder a la toma del pH de la muestra.

Referencias.

Norma COVENIN 1315-79 Determinación del pH (Acidez Iônica).

APENDICE L GUIA DE PROCEDIMIENTOS DE ANALISIS METODO RAPIDO PARA RECUENTO DE AEROBIOS TOTALES

	GUIA PROCEDIMIENTOS		CÓDIGO:	MC/GP-A/MB- B01
			REVISION:	18-05-09
			FECHA:	18-05-09
			PAGINA:	1
ASEGURAMIENTO DE LA CALIDAD		METODO RAPIDO AEROBI		CUENTO DE

1. Objetivo: Determinar el número de aerobios totales presentes en el producto terminado y medio ambiente a fin de mantener o disminuir la presencia de estos microorganismos a lo largo de toda la cadena de producción.

2. Alcance

Aplica a todas las áreas para monitoreo ambiental así como también al producto terminado.

3. Procedimiento

3.1 Muestreo Ambiental

- Limpiar y desinfectar la superficie de trabajo.
- Colocar sobre una superficie plana y lisa la Placa Petrifilm™ para Recuento de Aerobios Totales.
- Hidratación de placa
 - Adicionar 1ml de agua estéril o agua de peptona sobre la Placa Petrifilm™ para recuento de Aerobios Totales.

 Colocar el dispersor plástico sobre la placa.

 - Esperar que solidifique el gel (aprox. 15min).
 - Exponer la placa en el ambiente a monitorear durante 15-20 min.
- Incubacion
 - Incubar por 48h±2h a 35±1°C.
- Interpretación
 - Reportar y registrar resultados según los estándares establecidos para las respectivas acciones.

MANUALDE CALIDAD GUIA PROCEDIMIENTOS DE ANALISIS

CÓDIGO:	MC/GP-A/MB- B01
REVISION:	18-05-09
FECHA:	18-05-09
PAGINA:	1

ASEGURAMIENTO DE LA CALIDAD

"DETERMINACION DE AEROBIOS"
METODO RAPIDO PARA RECUENTO DE
AEROBIOS TOTALES

3.2 Producto Terminado

- Limpiar y desinfectar la superficie de trabajo.
- Colocar sobre una superficie plana y lisa la Placa Petrifilm™ para Recuento de Aerobios Totales.
- Preparación de la muestra
 - Pesar 10gr de muestra en 90ml de agua estéril o peptona (dilución 101).
 - Agitar vigorosamente por 1 min.
 - No usar tampones que contengan citrato de sodio o fiosulfato.
- Inoculación
 - Tomar 1ml de la dilución 10⁻¹ y dispensar sobre la Placa Petrifilm™ para Recuento de Aerobios Totales.
 - Colocar el dispersor plástico sobre la placa.
 - Esperar que solidifique el gel (aprox. 15min).
- Incubación
 - Incubar por 48h±3h a 32±1°C
- Interpretación
 - Reportar las colonias rojo-violetas como ufo/ml de aerobios totales.
 - Registrar y reportar los resultados según los estándares permitidos establecidos, para tomar las acciones respectivas.
 - Ejemplo: (# microorganismos x 10⁻¹) 1 * 10 = 10ufc/ml
 - En caso de tener lecturas por encima de 300ufc/placa, adicionar 1ml de la primera dilución 10º dentro de un tubo de ensayo con 90ml de agua de peptona o solución estéril dilución 10º y proceder con la inoculación.

	MANU	JALDE CALIDAD	CÓDIGO:	MC/GP-A/MB- B01
	GUIAP	ROCEDIMIENTOS	REVISION:	18-05-09
	П	E ANALISIS	FECHA:	18-05-09
	DE ANALISIS		PAGINA:	1
ASEGURAMIENTO DE LA		"DETERMINACION DE AEROBIOS"		
CALIDAD		METODO RAPIDO PARA RECUENTO DE		
		AEROBI	OS TOTALE	S

4. Referencias

- AOAC® Método Oficial 986.33 Incubar 48h ± 3h at 32°C ± 1°C
- AFNOR Metodo Validado. 3M 01/1-09/89 Incubado 72h ± 3h at 30°C ± 1°C
- · Referirse a los anexos y hojas técnicas

APENDICE M GUIA DE PROCEDIMIENTOS DE ANALISIS METODO PARA RECUENTO DE E.COLI/COLIFORMES

	MANUALDE CALIDAD GUIA PROCEDIMIENTOS		CÓDIGO:	MC/GP-A/MB- B02
			REVISION:	18-05-09
	DE ANALISIS	FECHA:	18-05-09	
	DE ANALISIS		PAGINA:	1
ASEGURAMIENTO DE LA CALIDAD		DETERMINACION DE E.COLI/COLIFORMES TOTALES"		
		METODO PAI E.COLI/COLI		Control of the Contro

 Objeto: Determinar el número de E.Coli/Coliformes Totales presentes en el producto terminado con el fin de liberar o rechazar un lote de produccion y ejecutar un control en la incidencia de estos microorganismos.

2. Alcance

Aplica al producto terminado y /o materias primas de relación directa con el mismo.

3. Procedimiento

3.1 Producto Terminado

- Limpiar y desinfectar la superficie de trabajo.
- Colocar sobre una superficie plana y lisa la Placa Petrifilm™ para Recuento de Coliformes (Placa Petrifilm EC).
- Preparación de la muestra
 - Pesar 10gr de muestra en 10ml de agua de peptona o solución estéril. (dilución 1:1).
 - Agitar vigorosamente por 1 min.
 - No usar tampones que contengan citrato bisulfito o tiosulfato de sodio.
- Inoculación
 - Tomar 1ml de la primera dilución 1:1 e inocular sobre la Placa Petrifilm™ para Recuento de Coliformes EC.
 - Colocar suavemente el dispersor plástico sobre la placa.
 - Esperar que solidifique el gel (aprox. 15min).
- Incubación
 - Incubar por 24h ± 2h a 35±1° C. (para la determinación de coliformes totales).
 - Incubar por 48h ± 2h a 35±1° C. (para la determinación de E. Coli).
- Interpretación
 - Reportar las colonias rojo-violetas con formación de gas como ufc/ml de coliformes.

	MANUALDE CALIDAD GUIA PROCEDIMIENTOS DE ANALISIS	CÓDIGO:	MC/GP-A/MB- B02	
		REVISION:	18-05-09	
		FECHA:	18-05-09	
	DE ANALISIS		PAGINA:	1
ASEGURAMIENTO DE LA CALIDAD		"DETERMINACION DE E.COLI/COLIFORMES TOTALES" METODO PARA RECUENTO DE		OTALES"

 Reportar las colonias azules, azules-rojizas con formación de gas como ufc/ml de E.Coli.

E.COLI/COLIFORMES TOTALES

- Registrar y reportar los resultados según los estándares permitidos establecidos, para tomar las acciones respectivas.
- En caso de tener lecturas por encima de 150ufc/placa, adicionar 1ml de la primera dilución 1:1 dentro de un tubo de ensayo con 90ml de agua de peptona o solución estéril dilución 10⁻¹ y proceder con la inoculación.
- Los resultados se registraran tomando en cuenta el factor de dilución aplicado.

3. Referencias

Los tiempos de incubación varían de acuerdo al método aprobado:

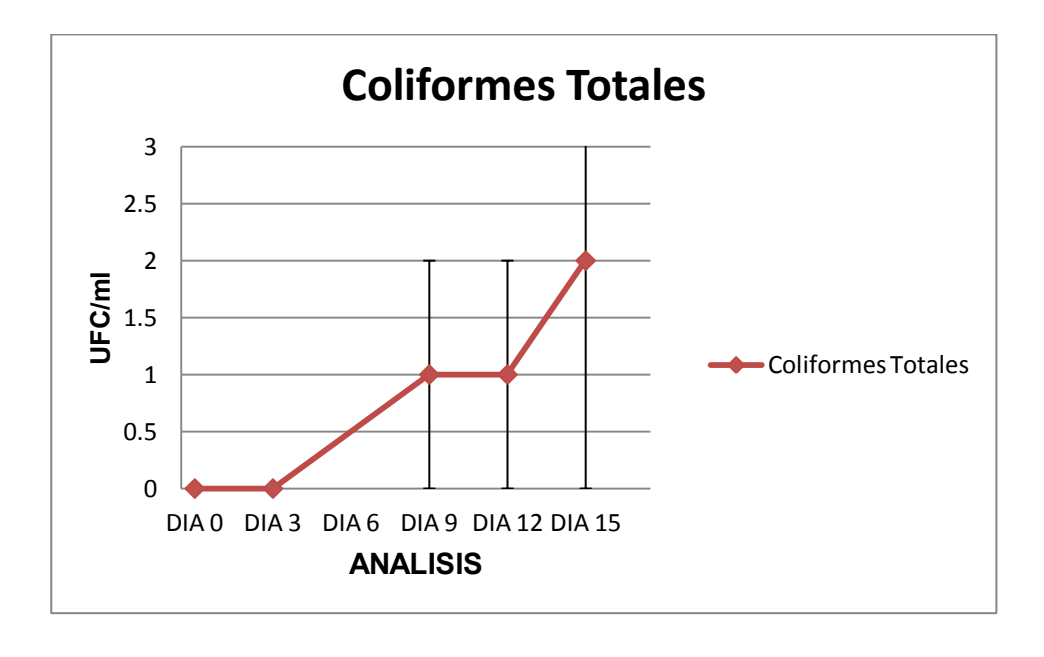
Coliformes Totales

- AOAC Official Method 991.14 (foods): Incubate 24h ± 2h at 35°C ± 1°C.
- AFNOR validated methods 3M 01/2 09/89A and B (all food types except shellfish): Incubate 24h ± 2h at 30°C ± 1°C.

E.Coli

- AOAC Official Method 991.14 (foods): Incubate 48h ± 2h at 35°C ± 1°C.
- NMKL Official Method 147.1993 Incubate 48h ± 2h at 37°C ± 1°C.
- Referirse a los anexos y hojas técnicas

ÁPENDICE N CURVA DE CRECIEMIENTO COLIFORMES TOTALES/E.COLI



ÁPENDICE O ESPECIFICACIONES TECNICAS EQUIPO INTERCAMBIADOR DE TUBO EN TUBO TIPO HORQUILLA (2 PASOS) A CONTRACORRIENTE.

	ESPECIFICACION	VALOR	UNIDAD
Ta	amaño Nominal de la Camisa	2 ½	Pulg.
	(tubo exterior)		
	Material	Acero Inox.	Estándar
	Construcción	AISI 304	
	Caudal Max.	70	Kg/min.
	Diámetro Externo	2,88	Pulg.
	Diámetro Interno	2,469	Pulg.
	Área de Flujo/Tubo	4,79	Pulg ² .
	Tamaño Nominal Tubo	1 1/4	Pulg.
	(Interior)		
	Material	Acero Inox.	Estándar
	Construcción	AISI 316L	
	Caudal Max.	25	Kg/min.
	Diámetro Externo	1,66	Pulg.
	Diámetro Interno	1,380	Pulg.
	Área de Flujo/Tubo	1,50	Pulg ² .
	Longitud Efectiva/Tubo	12	Pie.
	Superficie Total	144	Pie.
	Transferencia de Calor		



ÁPENDICE P TABLA DE PROPIEDADES TERMOFISICAS DE GASES Y LIQUIDOS.

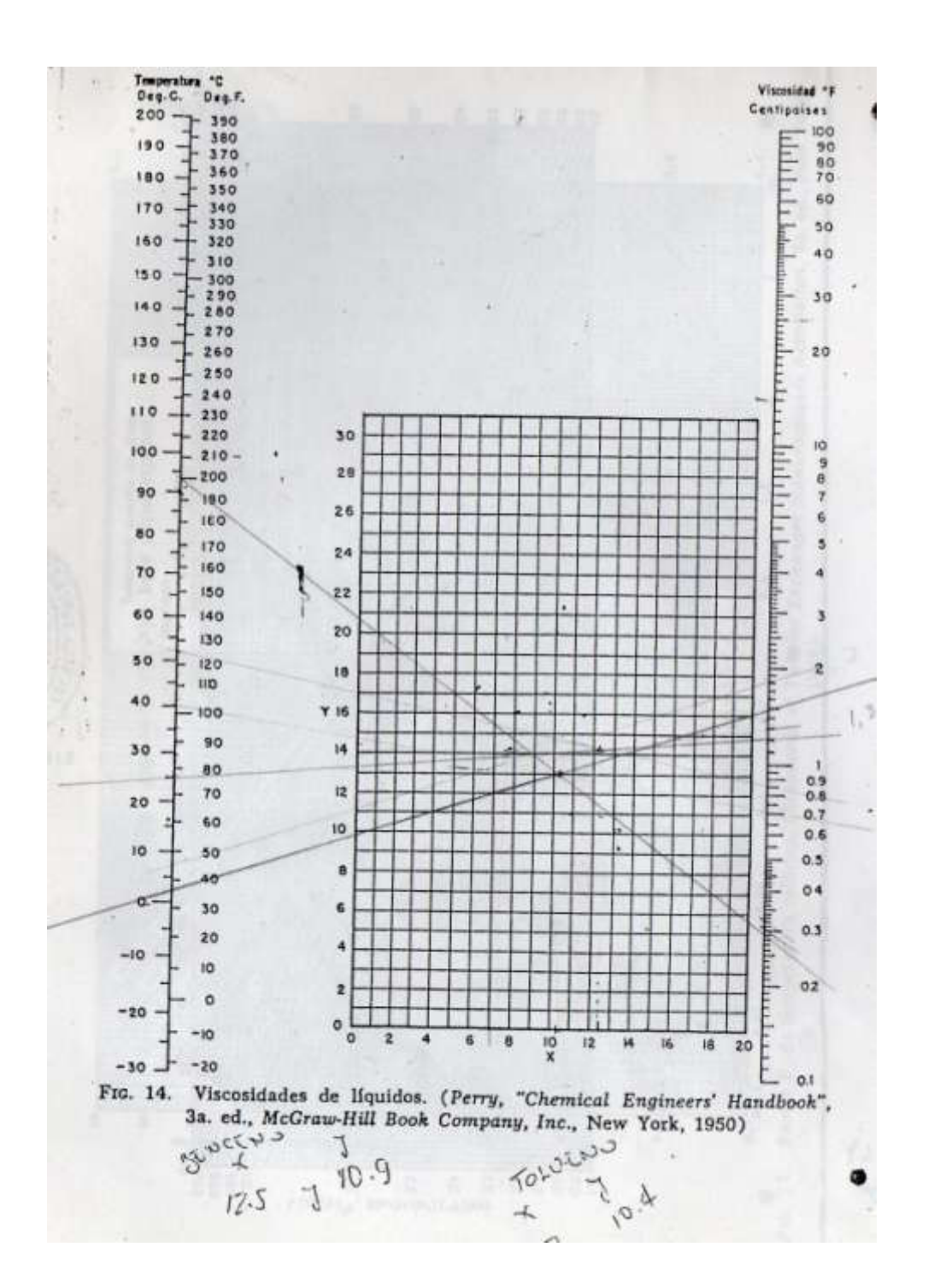
β x 10" gβρ²/μ²	(1/PF) (1/PF ft²)		1,49 0.873×10				1,04 0.148"	ω	1,794 37.8"	1,685 17.2	1,51 3,97 "		β×104 gβρ ² /μ ²			-0,35		1,3 48.3"		2,8		4,7	7.6 3.51		17,5 30.3"		b x 10 ggb /µ	(1/PF) (1/PF ft²)					0,45 17.7 x 10°			
	Pr	35.5	1,06	0,994	0,963	0,924	0,922	0.92	0,912	0,911	906'0		0 00	P.		13,7	8,07	5,89	4,51		-	1	Si d	0,85	1,07	2		Pr		52,3	41,8	31,8	18,4	12	8,44	R 28
Ö	(ff*/hr)		0,794	0,92	1,1	1,47	1,85	2,29	3,27	4,44	8,17		0x x 103	(ft ² /hr)		5,06	5,45	5,67	5,87	6,26	6,46	10 1	6,7	0,00	4.58	7	axio	(It/hr)		3,29	3,25	3,24	3,16	3,1	3,05	2 00
×	(Btu/hr ft °F)	(40po@1	0.0145	0,0155	0,171	0,02	0,0228	0,0258	0,0321	0,039	0,058		×	(Btu/hr ft °F)		0,319	0,34	0,353	0,364	0,389	0,392	0,395	0,395	0,362	0,293		×	(Btu/hr ft °F)		0,101	0,1	0,1	0,098	0,0962	0,0947	0.0021
0 x 10 3	(ft/sec)	STEAM	0,234	0,254	0,294	0,377	0,474	0,585	0,828	1,12	2,05	LIQUIDOS	0 x 10 5	(ff*/sec)	AGUA	1,93	1.22	0,929	0,736	0,474	0,342	0,272	0,227	0,164	0,137	100	0 x 10	(lf*/sec)	ANILINA	4,77	3,78	2,86	1,62	1,03	0,714	0.522
μ× 10°	(lb,/ft sec)	1	0.86	68'0	96'0	1.09	1,23	1,37	1,63	0.	1,57		µx 103	(lb,/ft sec)		1,2	0.76	0,578	0,458	0,29	0,206	0,16	0,13	200	0,0579	275	01 X 10	(lpm/ft sec)		305	240	180	100	62	42	30
eg.	(Bttu/lb _{es} °F)		0,493	0,483	0,478	0,472	0,477	0,483	0,498	0,517	0,564		C _D	(Btu/lb _m °F)		10,1	1	666'0	666'0	-	10.	1,02	8 8	9 0	1,51		o o	(Btu/lb,"F)		0,48	0,488	0,49	0,503	0,505	0,527	0.54
P	(lb,,/ft²)		0.0372	0,35	0,327	0,0289	0,0259	0,0234	7610,0	0,017	0,0126		0	(lb,,/ft²)		62,4	62.3	62,2	62,1	61,3	60,1	58.9	E'/S	40,00	42.4		٥	(lb _m /ft ²)		64	63,5	63	61,6	60,2	58,9	57 F
_	(*F)		212	250	300	400	200	900	800	1000	1500		_	(°F)		32	09	98	100	150	200	250	300	2009	900			(F)		80	80	90	150	200	250	300

ÁPENDICE Q VISCOSIDADES DE LIQUIDOS

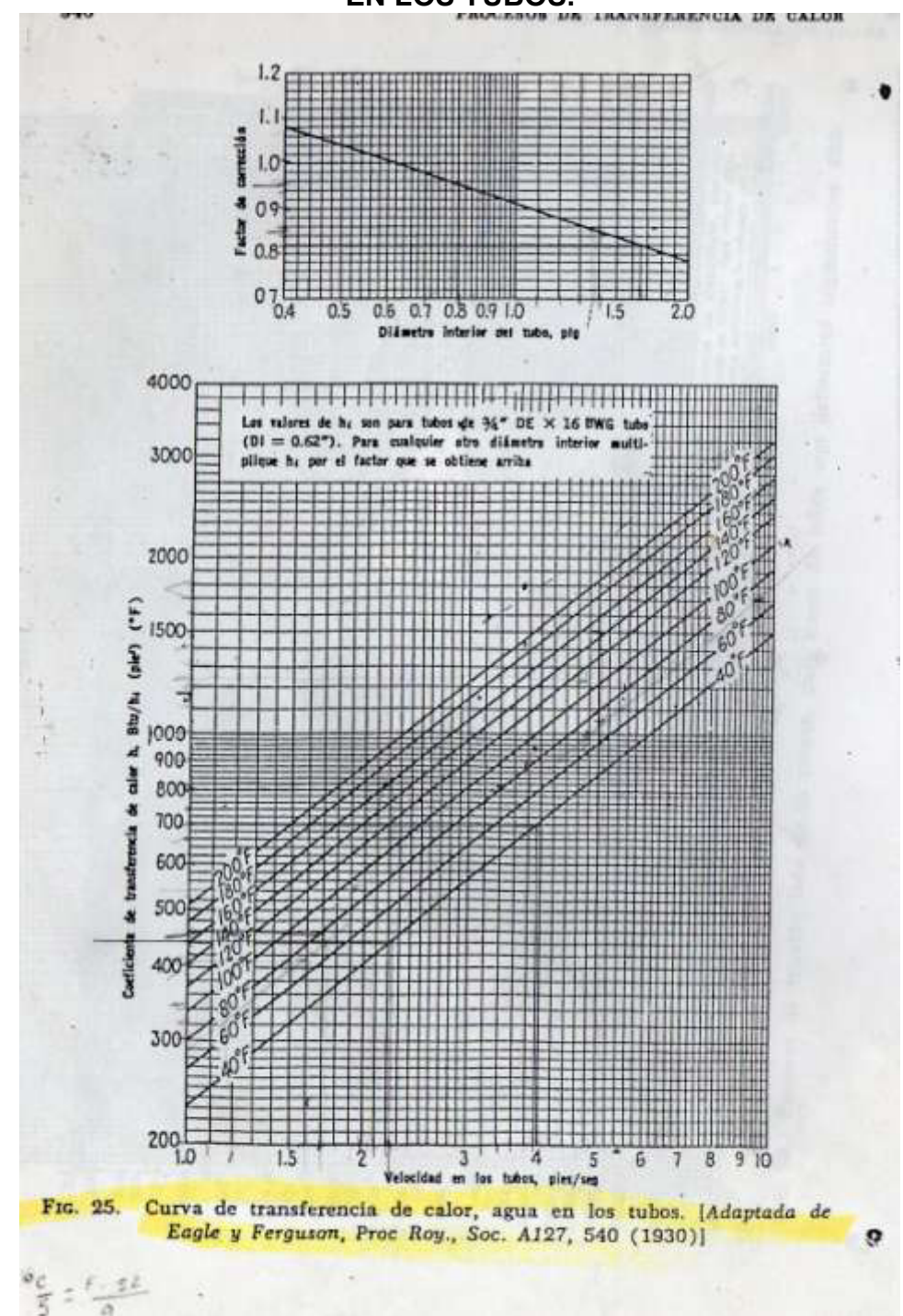
VISCOSIDADES DE LIQUIDOS*
Para usarse como Coordenadas con la Fig. 14

	Líquido	ĸ	Y	Líquido	x	Y	
Acetaldehido	15	5.2	4.8	Cloruro Estánico	13.5	12.8	
Acetato de Amilo	1	1.8	12.5	Cresol, meta	2.5	20.8	4
Acetato de Butilo	15	2.3	11.0	Dibromoetano	19.7	15.8	
Acetato de Etilo		3.7	9.1	Dicloroetano	13.2	12.2	
Acetato de Metilo	14	1.2	8.2	Diclorometano	14.6	8.9	
Acetato de Vinilo			8.8	Difenilo			
Acetona 100%		1.5	7.2	From Falling	12.0	18.3	
		1.9	15.0	Eter Etilico Etilbenceno Etilenglicol	14.5	5.3	
Amia		.0	5.575	Editericent	13.2	11.5	
Agua		1.2	13.0	Ethengucoi	6.0	23.6	
Acido Acético 100%	12	1	14.2	Fenol	6.9	20.8	
ACIGO ACELICO 70%		1.5	17.0	Formiato de Etilo		8.4	
Acido Butírico	12	.1	15.3	Freon 11	14.4	9.0	
Acido Clorosulfónico	11	.2	18.1	Freon 12	16.8	5.6	
Acido Fórmico	10	.7	15.8	Freon 21	15.7	7.5	
Acido Isobutírico	12	.2	14.4	Freon 22	17.2	4.7	
Acido Nímico 95%	12	.8	13.8	Freon 113	12.5	11.4	
Acido Isobutírico Acido Níastro 95% Acido Níastro 60% Acido Propiónico	10	8	17.0	Freon 114	14.6	8.3	
Acido Probiónico	119	8	138	Glicerina 100%	2.0		
Acido Sulfúrico 110%		0	27.4	Clicerina 50%	6.0	10.0	
Acido Sulfúrico 98%	7	0	24.8	Glicerina 50% Heptano	14.1	19.0	
Acido Sulturico 9076	****	.0	24.0	neptano	14.1	8.4	
Acido Sulfúrico 60%	10	.2		Hexano	14.7	7.0	
Alcohol Alílico	10	.2	14.3	Hidróxido de Sodio 50% Yoduro de Etilo	3.2	25.8	
Alcohol Amílico	7	.5	18.4	Yoduro de Etilo	14.7	10.3	
Alcohol Butilico	8	.6	17.2	Yoduro de Propilo	14.1	11.6	
Alcohol Etflico 100%	10	.5	13.8	Isobutano	14.5	3.7	
Alcohol Etilico 95%	9	.8	14.3	Mercurio	18.4	16.4	
Alcohol Etilico 40%	6	.5	16.6	Metanol 100%	12.4	10.5	
Alcohol Amflico Alcohol Butilico Alcohol Etilico 100% Alcohol Etilico 95% Alcohol Etilico 40% Acido Clorhidrico 31. Alcohol Isopropilico Alcohol Isopropilico Alcohol Octilico	5% . 13	.0	16.6	Yoduro de Etilo Yoduro de Propilo Isobutano Mercurio Metanol 100% Metanol 90% Metanol 40% Metiletilectona Nafialano	12.3	11.8	
Alcohol Isobutilico	7	1	18.0	Metanol 40%	7.8	15.5	
Alcohol Isopropilico .	8	2	16.0	Metiletilcetona	13.9	8.6	
			21.1	Naftaleno	7.9	18.1	
Alcohol Propilico Amoniaco 100% Amoniaco 26% Anhidrido Acético	9	1	16.5	Nitrobenceno	10.6	16.2	
Amontago 100%	19	â	2.0	Nitrotolueno	11.0	17.0	
Amoniaco 26%	10	1	13.9	Octano	13.7	10.0	
Aphidvide Acético	10	2	12.8	Ovalato de Dietilo	110	16.4	
Anillar Acetico		: 1	18.7	Octano	10.3	15.8	
Anilina Anisol		4	13.5	Ovalate de Dimento	10.3	17.7	
Anisot . XI	12.	3		Oxalato de Dipropilo	10.0	17.3	
Benceno	12.	0	10.9	Pentacloroetano			
Bióxido de Azufre	15.	2	7.1	Pentano		5.2	
Bióxido de Carbono .	11.	6	0.3		15.3	1.0	
Bisulfuro de Carbono			7.5	Salmuera CaCl, 25%		15.9	
Bromo						16.6	
Bromotolueno			15.9	Sodio	16.4	13.9	
Bromuro de Etilo	14.	5	8.1	Tetracloroetano	11.9	15.7	
Bromuro de Propilo	14.	5	9.6	Tetracloroetileno	14.2	12.7	
n-Butano	15	3	3.3	Tetraclonico de Carbono	27	3.1	
Ciclohexanol	2	9 9	4.3	Tetracloruro de Carbono	44	9.3	
Clorobenceno	10	3 1	9.4	Tribromuro de Fósforo	2 0 1	67	
Cloroformo	14	4 7	0.0	Tribromuro de Postoro	3.0	4.5	
Clorotolueno, orto	12	: 15	2.2	Tricloruro de Arsénico 1	0.0	4.0	
Clorotolueno, orto	10.	11	0.5	Tricloruro de Fósforo 1 Tricloroetileno	6.2	0.9	
Clorotolueno, meta	13.	3 1	2.5	Tricloroetileno	4.8	0.5	
Clorotolueno, para	13	3 1		Tolueno	3.7	0.4	
Cloruro de Etilo	14.	8	6.0	Tolueno	1.5 1	4.9	
Cloruro de Metilo	1.15 (1	3.8	Xileno orto	3.511	2.1	
Cloruro de Propilo	14.	1	7.5	Xileno, meta	3.9 1	2.1	
Cloruro de Sulfurilo						0.9	

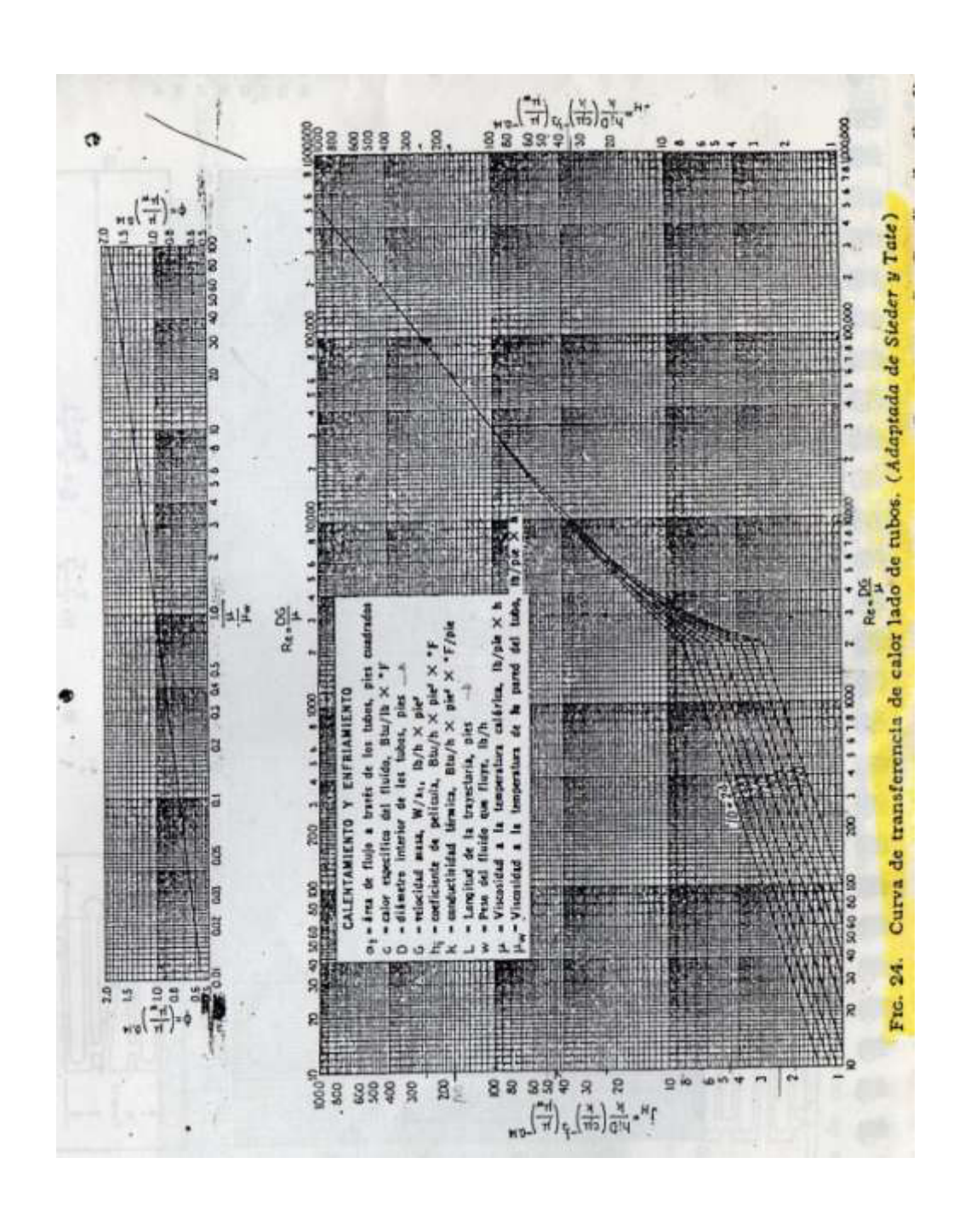
^{*} De Perry, J. H., "Chemical Engineers" Handbook 3d. ed., McGraw-Hill Book Company, Inc., New York, 1950.



APENDICE R CURVA DE TRANSFERENCIA DE CALOR-AGUA EN LOS TUBOS.



APENDICE S CURVA DE TRANSFERENCIA DE CALOR DE TUBOS.



APENDICE T FACTORES DE OBSTRUCCION EN LOS TUBOS.

300

TABLA 12. FACTORES DE OBSTRUCCION .

emperatura del medio calefactor	20000000	240°F o menos		00°F †		
Agua	Velocidad del agua, pps		Velocidad del Veloc			dad del a, pps
	3 pies o menos	Más de 3 pies	3 pies o menos	Más de 3 pies		
Agua de mar	0.0005	0.0005	0.001	0.001		
Salmuera natural	0.002	0.001	0.003	0.002		
Agua de compensación tratada	0.001	0.001	0.002	0.002		
Sin tratar	0.003	0.003	0.005	0.004		
Agua de la ciudad o de pozo (como Grandes			44			
Lagos)	0.001	0.001	0.002	0.002		
Grandes Lagos	0.001	0.001	0.002	0.002		
Agua de río:			0.000	0.000		
Mínimo	0.002	0.001	0.003	0.022		
Mississippi	0.003	0.002	0.004	0.003		
Delaware, Schylkill	0.003	0.002	0.004	0.003		
East River y New York Bay	0.003	0.002	0.004	0.003		
Canal sanitario de Chicago	0.008	0.006	0.010	0.008		
Lodosa o turbia		0.002	0.004	0.003		
Dura (más de 15 granos/gal)		0.003	0.005	0.005		
Enfriamiento de máquinas		0.001	0.001	0.001		
Destilada	0.0005	0.0005	0.0005	0.0005		
Alimentación tratada para calderas	0.001	0.0005	0.001	0.001		
Purga de calderas		0.002	0.002	0.002		

[†] Las cifras de las últimas dos columnas se basan en una temperatura del medio calefactor de 240 a 400°F. Si la temperatura de este medio es mayor de 400°F, y si se sabe que el medio enfriador forma depósitos, estas cifras deben modificarse convenientemente.

APENDICE U TABLAS DEMANDA PROYECTADAS CAPACIDAD INSTALADA ACTUAL Y AUMENTADA.

			DEMANDA PI	ROYECTADA BAJO C	APACIDAD INSTALAI	DA ACTUAL			
	Ver	ntas 2010		I	Demanda 2014		I	Demanda 2018	
Meses	PRODUCCION 2010	INDICES ESTACIONALES	Dias trabajados Promedios (2010)	PRODUCCION 2014 (Proyectada)	Volumen requerido diario Kg	Paradas (Dia)	PRODUCCION 2018 (Proyectada)	Volumen requerido diario (Kg)	Paradas (Dia)
Encro	5127,88	1,0104	20	7653	382,64	1,91	10246	512,32	2,56
Febrero	5916,40	1,1658	21	8830	420,46	2,10	11877	562,96	2,81
Marzo	7100,52	1,3991	23	10597	460,73	2,30	14188	616,88	3,08
Abril	4535,99	0,8938	21	6769	322,35	1,61	9064	431,61	2,16
Mayo	4535,99	0,8938	21	6769	322,35	1,61	9064	431,61	2,16
Junio	4535,99	0,8938	22	6769	307,70	1,54	9064	411,99	2,06
Julio	5056,05	0,9962	20	/546	3//,28	1,89	10103	505,15	2,53
Agosto	4535,99	0,8938	22	6769	307,70	1,54	9064	411,99	2,06
Septiembre	4535,99	0,8938	22	6769	307,70	1,54	9064	411,99	2,06
Octubre	1858,60	0,9573	21	7251	345,28	1,73	9708	462,30	2,31
Noviembre	4535,99	0,8938	20	6769	338,47	1,69	9064	453,19	2,27
Diclembre	5626,82	1,1087	22	8397	381,70	1,91	11243	511,07	2,56
	Promedio Dia	ns Trabajados:	21,25	Promedio Lotes	Requeridos/Dia:	1,78	Promedio Lotes	Requeridos/Dia:	2,38

I	Demanda 2014		[Demanda 2018		[emanda 2030	
PRODUCCION 2014 (Proyectada)	Volumen requerido diario Kg	Paradas (Dia)	PRODUCCION 2018 (Proyectada)	Volumen requerido diario (Kg)	Paradas (Dia)	PRODUCCION 2027 (Proyectada)	Volumen requerido diario (Kg)	Paradas (Dia)
7653	382,64	0,96	10246	512,32	1,28	18028	901,38	2,25
8830	420,46	1,05	11822	562,96	1,41	20800	990,46	2,48
10597	460,73	1,15	14188	616,88	1,54	24963	1085,33	2,71
6769	322,35	0,81	9064	431,51	1,08	15947	759,37	1,90
6769	322,35	0,81	9064	431,61	1,08	15947	759,37	1,90
6769	307,70	0,77	9064	411,99	1,03	15947	724,85	1,81
7546	377,28	0,94	10103	505,15	1,26	17775	888,75	2,22
6769	307,70	0,77	9064	411,99	1,03	15947	724,85	1,81
6769	307,70	0,77	9064	411,99	1,03	15947	724,85	1,81
7251	345,28	0,86	9708	462,30	1,16	17081	813,37	2,03
6769	338,47	0,85	9064	453,19	1,13	15947	797,33	1,99
8397	381,70	0,95	11243	511,07	1,28	19782	899,16	2,25

APENDICE V COTIZACIONES EQUIPOS PROPUESTOS.

PROFORMA No. 007

CODIMARKEN

Guayaquit, 12 de Julio del 2014

Señor (es): Atención: AGROANGE S.A Sr. Miguel Moreno P.

Me es grato cotizar lo siguiente:

DESCRIPCIÓN	CANTIDAD	V. UNITARIO	TOTAL
MARMITA DE DOBLE CAMISA EN ACERO	1	\$7,200.00	\$ 7,200.00
INOXIDABLE, CAPACIDAD: 400 LITROS			
PRESION MAXIMA: 40PSI	1		
AT: 300oF; BASES CON TUBERIA DE 2 ⁻⁷ DE			
ACERO REGULABLES, CAMISA CON TUBERIA	£ 5		- 1
DE 1" DE ENTRADA Y SALIDA, TAPA DESMONT			
Y AGITADOR DE SUPERFICIE RASPADA EN	100		1
ACERD INOXIDABLE, FABRICACION NACIONAL			
MOTOREDUCTOR TRIFASICO DE 0,25HP	1	\$ 600.00	\$ 600.00
RELACION 20:1			
1500/SORPM, ALTIUM	5 x1 0 x1	- 9	
	St 53	SUBTOTAL	\$ 7,800.00
		NA 12%:	\$ 936.00

NA 12%: \$ 936.00 TOTAL: \$ 8,736.00

NOTA;

llempo de Entrega:

2-3 dies, una vez recibida la O/C

(Fevor enviar orden de compre a nombre de CODIMARKEN por este medio)

Contraentrega

Son: OCHO MIL SETECIENTOS TREINTA Y SEIS con 00/100

Atentamente,

LIL. Andres Cabezas SERENTE GENERAL CODIMARKEN

Salah different

COLUPOS INDUSTRIALES, AUTOMATIZACION Y SERVICIO TECNICO

Drocción Genela Apartio 28 y Gallerno Devi History (583) 40 64838 / (583) 42 84883 e-mail: comercial collinarios Rymail com

PROFORMA No. 007



Guayaquil, 12 de Julio del 2014

Señor (es): Atendiòn:

AGROANGE S.A. Sr. Miguel Moreno P.

Guayaquil

Me es grato cotizar lo siguiente:

DESCRIPCIÓN	CANTIDAD	V. UNITARIO	TOTAL
TANQUE ENCHAQUETADO EN ACERO INOX.	-1	\$1,220.00	\$ 1,220.00
AISI 304. CAPACIDAD; 200 LITRIOS	9	- 3	
CON TUBERIA DE ENTRADA Y SALIDA DE 2		1	
PULGADAS Y LLAVE DE PASO DE BOLA DE .	8 9	(3)	
1,5 PULGADAS, FABRICACION NACIONAL			
		1	
		SUBTOTAL	\$ 1,220.00
	m	IVA 12%:	\$ 146.40
Son: UN MIL TRECIENTOS SESENTA Y SEIS CO	on 40/100	TOTAL	\$ 1,366.40

NOTA; Flempo de Entrega: forma de Pago:

2-3 dias, una vez recibida la O/C

(Favor enviar orden de compra a nombre de CODIMARKEN por este medio)

Contraentrega

4. Andrés Cabezas GERENTE GENERAL CODIMARKEN

EQUIPOS INDUSTRIALES, AUTOMATIZACION Y SERVICIO TECNICO

Inscale Secole Aparell 78 y Gallerino Savis alphane (SAS), 40 D 45 BS / (SAS) 42 BABES nuclear/freshankes/etrames: her

PROFORMA No. 009



Gueyaquil, 12 de Julio del 2014

eñor (es): Atención:

AGROANGE S.A. Sr. Miguel Moreno P.

Cluded:

Guayaquit

Me es grato cotizar lo siguiente:

DESCRIPCIÓN	CANTIDAD	V. UNITARIO	TOTAL
HOMOGENIZADOR-MEZCLADOR DE LIQUIDOS	1	\$1,371.42	\$ 1,371.42
DE ALTA CIZALLADURA EN LINEA			11 50 7 7 10 0
ACERO INOXIDABLE AISI 304	E 2		
MODELO BRU-60			
CAPACIDAD: 0-1,5m3/h	i i		
Velocidad: 2800 RPM			
MARCA: BLS (CHINA)	3	- 10	
2	3		
	2	- 4	
	5		
		1	
	19	SUBTOTAL:	\$ 1,371.42
		NA 12%:	\$ 164.57

TOTAL \$ 1,535.99

NOTA; Flempo de Entrega:

2-3 días, una vez recibida la O/C

(Fevor enviar orden de compre a nombre de CODIMARKEN por este medio)

orma de Pago:

Contraentrega

Son: UN MIL QUINIENTOS TREINTA Y CINCO con 99/100

ntamente:

4. Andrés Cabezas GERENTE GENERAL CODIMARKEN

CLUPOS INCUSTRIALES, AUTOMATIZACION Y SERVICIO TECNICIO

Processe Generale Apartole 28 y Gullarmo Savis Websec (500) 46 8 4780 / (580) 47 84880 mel:comercial codmerces@mel.com

PROFORMA No. 010



Gusyaquil, 12 de Julio del 2014

Atencion:

AGROANGE S.A.

Sr. Miguel Moreno P.

Guayaquil

de es grato cotizar lo siguiente:

DESCRIPCIÓN	CANTIDAD	V. UNITARIO	TOTAL
SISTEMA DE ENVASADO POR VALVULA	1	\$825.00	\$ 825.00
SELENDIDE Y CONTROL DE PESO POR VISOR		i ii	(5)
CHEQUEADOR DE PESO Y CELDAS DEL CARGA			
Induye:		į g	- 3
1 Valvula selenoide directa de 2 vias en	1		
en acero y bronce. NPT: 1 pulg. (Rosca)		8 8	- 39
1. Visor-Chequeador de peso de 4 digitos	1		
con funcion control de peso. A. Inox.		į (į	127
1 Plataforma de Acero Inox.	1		
Dimensiones (AxHXL): 50x2x60 cm		Į	00
4 celdas de carga, Cap: 50kg.	4		
Incluye installacion y primer mantenimient			
		etterrora (£ 035 00

\$ 825.00	SUBTOTAL:
\$ 99.00	NA12%:
\$ 924.00	TOTAL

Son: NOVECIENTOS VEINTICUATRO con 00/100

NOTA;

llempo de Entrega:

2-3 días, una vez recibida la O/C

(Fevor enviar orden de compra e nombre de CODIMAJIXEN por este medio)

orma de Pago:

Contraentrega

Jandres Caberes GERENTE GENERAL CODIMARKEN

EGLIPOS INDUSTRIALES, AUTOMATIZACION Y SERVICIO TECNICO

inacite Brook Aperes 28 y Balleme Berie Websen (580) 49 847801 / (580) 42 84880 mel comental colonidas Break con